

T.C.  
BALIKESİR ÜNİVERSİTESİ  
FEN BİLİMLERİ ENSTİTÜSÜ  
BİYOLOJİ ANABİLİM DALI

**YÜKSEK LİSANS TEZİ**

**KRABROLİNİN *P.PASTORIS*'TE ÜRETİMİ  
VE  
OPTİMİZASYONU**

**EVRİM ÇELEBİ**

**Balıkesir, Ağustos-2009**

T.C.  
BALIKESİR ÜNİVERSİTESİ  
FEN BİLİMLERİ ENSTİTÜSÜ  
BİYOLOJİ ANABİLİM DALI

KRABROLİNİN *P. PASTORIS*’TE ÜRETİMİ VE OPTİMİZASYONU

YÜKSEK LİSANS TEZİ

EVRİM ÇELEBİ

Tez Danışmanı: Yard. Doç. Dr. Ekrem DÜNDAR

Sınav Tarihi: 20.08.2009

Jüri Üyeleri: Prof. Dr. Oktay ARSLAN (BAÜ)

Doç. Dr. Feray KÖÇKAR (BAÜ)

Yard.Doç.Dr. Ekrem DÜNDAR (BAÜ-Danışman)

Balıkesir, Ağustos-2009

## Özet

### KRABROLİNİN *P. PASTORIS*'TE ÜRETİMİ VE OPTİMİZASYONU

Evrim ÇELEBİ

Bahçeşehir Üniversitesi, Fen Bilimleri Enstitüsü Biyoloji Anabilim Dalı

(Yüksek Lisans Tezi / Tez Danışmanı: Yard. Doç. Dr. Ekrem DÜNDAR)

Bahçeşehir, 2009

Bu çalışmada özellikle son yıllarda önem kazanan, hemen hemen tüm canlılarda bulunan, bağışıklık sistemi için son derece önemli rol oynayan ve AMP (antimikrobiyal peptit) olarak isimlendirilen bir gutup peptitten krabrolin üzerinde çalışılmış, bu peptidin çalkalamalı maya (*Pichia pastoris*) kültüründe üretiminin optimizasyonu hedeflenmiş ve aktivitenin en üst düzeye ulaşığı koşulların saptanması amaçlanmıştır. Bunun için öncelikle kültür çalışmalarında kritik öneme sahip parametreler saptanmış (sıcaklık, pH gibi) ve tasarlanan her bir deney serisinde teker teker uygulanmıştır.

Sonuç olarak, gerçekleştirilen 6 deney serisinde pH'nın tek başına gözle görülür bir aktivite artısına neden olmadığı, özellikle EDTA ve BSA ile birlikte, dikkate alındığında aktivitenin artısında etkili olduğu gözlemlenmiştir. Sonuçlar emin olunması için bazı deneylerin, bazı ek kontroller ile beraber tekrar edilmesine gerek vardır.

**ANAHTAR SÖZCÜKLER:** Antimikrobiyal peptitler, Krabrolin, *P. pastoris*

## **Abstract**

### **OPTIMIZATION OF CRABROLIN PRODUCTION IN *P. PASTORIS***

Evrin ÇELİK

Balıkesir University, Institute of Science, Department of Biology

(Master Thesis / Supervisor: Assistant Professor Ekrem DÜNDAR)

Balıkesir, Turkey, 2009

In this study, crabrolin, an anti-microbial peptide (AMP) that is found in all organisms, has crucial roles in immune system, and has gained importance recently, was studied with respect to yield optimisation in shake-cultures. For this purpose, crucial parameters of culture growth (such as pH and temperature) were first determined and then applied to all experiments designed.

Based on results of the six experiment series, it was concluded that pH alone was not important parameter for an increase of activity, but EDTA and BSA were particularly effective when arranged together with pH. To confirm these results, some experiments need to be repeated along with some additional controls.

**KEY WORDS:** Antimicrobial peptides, Crabrolin, *P. pastoris*

## İçindekiler

Özet .....	i
Abstract .....	iii
İçindekiler .....	iv
Şekiller Listesi .....	vi
Tablolar Listesi .....	viii
Önsöz .....	ix
1. GİRİŞ .....	1
1.1    Antimikroiyal Peptitler.....	3
1.1.1  Antimikroiyal Peptitlerin Tarihçesi .....	8
1.1.2  AMP'lerin yapıları .....	10
1.1.3  Mekanizma .....	11
1.1.3.1  Fıçı Tahtası Modeli .....	14
1.1.3.2  Kilim Modeli .....	16
1.1.4  Tedavi Potansiyeli .....	18
1.1.5  Seçicilik.....	19
1.1.6  Krabrolin .....	21
1.2 <i>Pichia pastoris</i> .....	22
1.2.1 <i>P. pastoris</i> metanol mekanizması .....	23
1.2.2  Alkol Oksidaz.....	24
1.2.3  Vektör .....	25
1.2.4  Heterolog Proteinlerin Sentezi.....	27
1.3  Çalışmanın Amacı .....	27
2. MATERİYAL VE METOT .....	28
2.1  Medya .....	28
2.2  Tampon ve Solüsyonlar .....	28
2.3  Petriler .....	30
2.4  Çalkalamalı kültürlerde protein ekspresyonu.....	30
2.5  Peptidin saflaştırılması.....	31
2.6  Krabrolinin aktivitesi ve tahlili .....	32
3. BULGULAR.....	33
3.1  Süreç dizaynı ve parametrelerin optimizasyonu.....	34

3.2 Krabrolinin Ekspresyonu ve saflaştırılması için optimum deneysel koşulların araştırılması .....	37
3.3 pH Optimizasyonu.....	41
3.4 Tampon Optimizasyonu.....	43
3.5 Proteazların İnhibe Edilmesi İçin Spesifik Olmayan İnhibitorlerin Kullanılması.....	46
3.6 Proteazların inibisyonu için BSA'nın Denenmesi.....	48
3.7 Havalandırmanın Arttırılması için Alüminyum Folyo Kullanılması.....	53
4. TARTIŞMA VE SONUÇ .....	62
5. KAYNAKLAR .....	67

## Şekiller Listesi

Şekil 1.1 Antimikrobiyal katyonik peptid .....	3
Şekil 1.2 AMP'lerin moleküler yapıları.....	10
Şekil 1.3 Antimikrobiyal peptidlerin membranla etkileşimi. ....	13
Şekil 1.4 Fıçı Tahtası Modeli. ....	15
Şekil 1.5 Kilim modeli.....	17
Şekil 1.6 <i>Vespa crabro</i> .....	21
Şekil 1.7 <i>P. Pastoris</i> 'de metanol mekanizması.....	23
Şekil 1.8 <i>P. pastoris</i> AOX lokusunun karşılaştırmalı restriksiyon haritası.....	24
Şekil 3.1 Krabrolinin ekspresyonunun ve saflaştırılmasının deneysel dizayını ve optimizasyon sürecinin saflarının genel açıklaması.....	35
Şekil 3.2 Rekombinant krabrolin ekspresyon kültüründe <i>P. pastoris</i> için büyümeye eğrisi....	38
Şekil 3.3 Deney 1' e ait bir örnek.....	39
Şekil 3.4 Deney 1 için krabrolin tayinini gösteren başka bir örnek. ....	40
Şekil 3.5 Farklı pH koşulları altında büyümeye kültüründeki <i>P. pastoris</i> 'in büyümeye grafiği. .	42
Şekil 3.6 Deney 2 için krabrolin aktivitesinin belirlenmesi. ....	43
Şekil 3.7 Farklı pH koşulları altındaki büyümeye kültüründeki <i>P. pastoris</i> için büyümeye eğrisi	45
Şekil 3.8 Deney 3 için krabrolin aktivitesinin belirlenmesi. ....	46
Şekil 3.9 Medya katkısı olarak EDTA'nın kullanıldığı farklı pH koşulları altında büyümeye kültüründeki <i>P. pastoris</i> için büyümeye grafiği. ....	47
Şekil 3.10 Medya katkısı olarak 10mM EDTA'nın kullanıldığı ve pH 4, 5 ve 6'da büyüyen <i>P. pastoris</i> kültürü için büyümeye grafiği.....	49
Şekil 3.11 Medya katkısı olarak %1 BSA katılmış ve pH 4 ve 5 de yetişirilen <i>P. Pastoris</i> kültürünün büyümeye grafiği. ....	50
Şekil 3.12 pH4 için Deney 5'e ait sonuçlardan bazıları. ....	50
Şekil 3.13 pH 5 için Deney 5'e ait sonuçlardan bazıları. ....	51
Şekil 3.14 pH 6 için Deney 5'e ait sonuçlardan bazıları. ....	51
Şekil 3.15 %1 BSA'lı kültürde büyütülmüş <i>P. pastoris</i> 'den elde edilen krabrolin aktivitesinin tayini ve deney 5'e ait bazı sonuçlar. ....	52
Şekil 3.16 10 mM EDTA'lı pH 4,5 ve 6 da büyütülen <i>P. pastoris</i> kültürleri için büyümeye eğrileri. ....	54
Şekil 3.17 Alüminyum folyo kullanılmış erlenlerde kültüre alınan <i>P. pastoris</i> 'in büyümeye eğrisi. ....	55
Şekil 3.18 Deney 6'dan pH 4 için seçilen bazı petrilerin krabrolin aktivite sonuçları. ....	56

Şekil 3.19 Deney 6'dan pH 5 için seçilen bazı petrilerin krabrolin aktivite sonuçları.	57
Şekil 3.20 Deney 6'dan pH6 için seçilen bazı petrilerin krabrolin aktivite sonuçları.....	58
Şekil 3.21 Deney 6'dan seçilen 2 petrinin krabrolin aktivitesi. ....	59
Şekil 3.22 Deney 6'dan seçilen bazı örneklerin krabrolin aktivitesi. ....	60
Şekil 4.1 <i>P. pastoris</i> ( x-33)'de rekombinant krabrolin expresyonunun optimizasyonu için deneysel dizaynın şematik sunumu.....	63
Şekil 4.2 Sürecin kısıtlamaları ve dizayn ile bağlantılı perspektifler ile genel laboratuár prosedürleri.....,	66

## Tablolar Listesi

Tablo 1.1 Yapılarına göre bazı antimikrobiyal peptitler .....	6
Tablo 1.2 Bazı antibakteriyel peptitler .....	7
Tablo 1.3 Bazı antifungal peptitleri ve işlevleri .....	8
Tablo 2.1 Kullanılan metanolün zaman aralıkları ve miktarı .....	31

## Önsöz

Bu çalışma öğrenci hareketliliği değişim programıyla Aalborg Üniversitesi (Danimarka) Biyoteknoloji Bölümünde yürütülmüş ve tamamlanmıştır. Bu çalışmanın yapılmasında emeği geçen başta sayın danışmanım Yrd. Doç. Dr. Ekrem DÜNDAR'a, yurt dışında ki çalışmam süresince beni çalışmaya kabul eden sayın Doç. Dr. Niels T. ERIKSEN ve Doç. Dr. EvaMaria PETTERSEN'e bu çalışma için yurtdışına gitmemeye vesile olan Balıkesir Üniversitesi Erasmus Koordinatörü sayın Yılmaz ARI ve birim çalışanlarına, gerek ders aşamasında gerekse tez aşamasında benden yardımlarını hiç esirgemeyen arkadaşlarım Murat SAYIN, Kemal TAŞTEMÜR, Sevilay BARAK, Cihan BARAK, Ahmet YILDIZ, Alp ALPER, Şakir AKGÜN, Öznur SUAKAR, Görkem DENİZ, Meltem AYDIN, Nurten ZAMUR, Ayşegül ŞAHİN, Nurcan DEDEOĞLU'na, bu tezin gerek yazımında gerekse tartışılmasında büyük gayret gösteren ve beni hep destekleyen sevgili arkadaşım Aennes ABBAS'a, ayrıca her türlü desteğini benden esirgemeyen sevgili abim Ferit KARANFİL'e ve tabii ki bu zamana kadar benden maddi ve manevi yardımlarını hiç esirgememiş ve hep arkamda olan aileme TEŞEKKÜR ederim.

Balıkesir, Ağustos 2009

Evrim ÇELEBİ

## 1. GİRİŞ

Yaklaşık çeyrek asır öncesine kadar bilim adamları bakterilerle olan savaşı kazanacaklarını iddia etmekteydi. Fakat şu anda elde edilen veriler antibiyotik öncesindeki duruma geri döndüğümüzü göstermektedir.

1940'lı yıllarda penisilin gibi ilk ticari antibiyotiklerin gelişmesiyle beraber değişik şekillerde direnç gösteren bakterilerin sayısında artış başlamıştır. Yapılan çalışmalar bu yeni mekanizma faaliyetlerinin neden olduğu problemi çözmede çok başarılı olamadı ve insanlardaki aşırı ve uygun olmayan kullanım çoklu direnç artılarına sebep oldu [1].

Dünya Sağlık Örgütü (WHO) verilerine göre *Staphylococcus aureus* ırklarının %95'inin penisiline direnç göstermeye olduğu ve *enterococci*, *pneumococci Pseudomonas, Serrati* [2]. ve *Mycobacterium tuberculosis*'ın (Beijing ırkı) dünyanın değişik bölgelerinde %90'lara varan oranlarda çoklu ilaç direnci gösterdiği bilinmektedir. Buna ek olarak bakteri direncinde, Amerika ve Japonya'da %70 oranında hastanede alınan yangınların sorumlu olduğu bilinmektedir [3].

Bilincsizce kullanılan antibiyotiklerin neden olduğu bakterilerdeki direnç artışı yüzünden, son yıllarda etkisini kaybeden antibiyotiklerin yerini, antimikrobiyal ilaçlara bırakmaya başlamıştır [1]. Antimikrobiyal peptitler (AMP) yeni ilaçların olası bileşikleridir. AMP'ler memelilerde, omurgalılarda, böceklerde ve bitkilerde bulunan ilk savunma hattının etkili ve de eski elemanlarıdır. Bu elemanlar yaklaşık bir milyon yıldır bulunmakta ve bakteriler, antibiyotikler gibi onlara karşı oldukça etkili bir mekanizma geliştirememektedir. AMP'ler sıra dışı aktivite ve seçicilik gösterdiği için bu durum onları yeni ilaçlar için bir umut kaynağı yapmaktadır [4].

AMP'ler ile geleneksel antibiyotiklerin arasındaki büyük fark, antibiyotiklerin, mikropların içindeki çok özel olan hedeflere göre davranışları ve bu yüzden bakterinin morfolojisinin korunup bu saldırısı esnasında direnç mekanizması gerçekleştirebilir olmasıdır. Oysa AMP'ler hedef hücrenin membranını bozar ya da parçalar ve içine sızar ve böylece hücre için aşılması zor olan bir hasara yol açar. Bu yüzden bakterilerin AMP'lere karşı direnç kazanmalarının antibiyotiklere göre daha zor olduğuna inanılmaktadır. AMP'lerin geleneksel antibiyotiklere karşı bir avantajı da gelecekte kokteyl olarak faydalansabilecek tedavi seçeneklerinin geliştirilebilme ihtimalidir [1, 3-8].

Çoğu AMP aynı zamanda gram-negatif ve gram-pozitif bakterilere, mantarlara, mayalara, hatta belli zarflı virus ve protozoalara karşı bile aktivite sergilemektedir. Diğer AMP'lerin daha sınırlı bir spektrumda da olsa antibiyotiklere göre daha hızlı şekilde bakterileri öldürdüğü gösterilmiştir. AMP'ler ayrıca yara iyileştirme gibi farklı özelliklere de sahiptir [1, 3, 4, 6, 7]. Gelecekte AMP'leri antibiyotik olarak kullanabilmemiz ve antimikrobiyal aktivitelerini optimize edebilmemiz için de membran geçirgenliğinin anlaşılmasına çok önemlidir [9, 10].

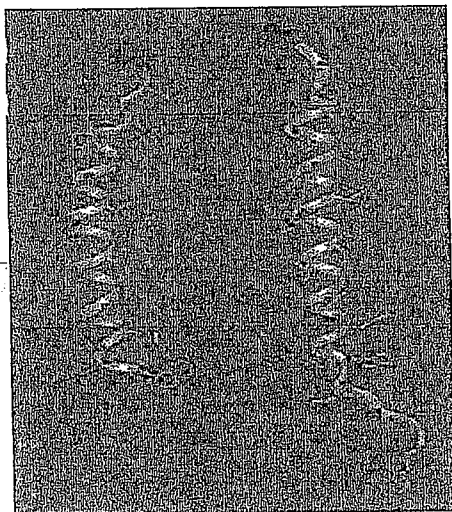
AMP'lerin antibiyotik aktivitelerinin araştırılması için rekombinant ekspresyonu da yapılmaktadır. Bununla beraber AMP'ler bakteri hücreleri için de toksiktir ve bu nedenle *E.coli*'de direkt olarak üretimi olmaz. İşte bu yüzden antimikrobiyal proteinlerin üretimi için bu çalışmada da kullanılmış olan *Pichia pastoris* gibi ökaryotik sistemlere ihtiyaç duyulmaktadır.

Ökaryotik sistemlerin çoğu bakteriyel ekspresyon sistemlerine nazaran çalışılması ve karakteristik özellikleri bakımından özellikle de kısa AMP'lerin sentezi çoğu proteinlerle kıyaslandığında daha karmaşıktır. Bununla beraber kimyasal sentez daha pahalıdır ve geniş üretimler için uygun değildir [11]. Bu çalışmanın yapılış sebebi, *P. pastoris* kullanılarak çalkalamalı kültürde uygun ekspresyon sisteminin optimizasyonunun başarılmasına katkıda bulunmaktadır. Bu

çalışmada daha önceki çalışmalarında krabrolin genine sahip pPICZ $\alpha$ -A ekspresyon vektörü ile transforme olmuş *Pichia pastoris* kullanılarak krabrolin üretilmiş ve bu üretimin optimizasyonu araştırılmıştır.

### 1.1 Antimikrobiyal Peptitler

Tüm mikroorganizmalar var oluşlarından beri diğer mikroorganizmalara karşı hassasiyet göstermektedirler. Bunu $\ddot{\text{u}}$ n nedeni mikroorganizmaların salgıladığı toksin maddelere ve bünyelerinde bulunan bazı bileşiklere konukçunun tepki vermesinden kaynaklanmaktadır. Bunun yanında konukçu vücudunda onlar için gerekli gıdaların ortamda hazır olarak bulunması, mikroorganizmaların yerleşip rahatlıkla çoğalmalarını mümkün kılmaktadır.



Şekil 1. 1 Antimikrobiyal katyonik peptid [12].

Ayrıca çok hücreli canlılar da istilacıları tanıyip onları engellemeye yönelik savunma sistemlerine sahiptirler. Bu savunma sistemleri, mikroorganizmaları tanıyip onları sistemden yok etme veya etkisiz hale getirme şeklinde işler [13].

Özellikle çok hücreli organizmaların savunma sistemlerinde etkili rol oynayan makrofaj, sitokinler, proteinler, kemokinler gibi bazı bileşenler vardır. Bunlardan antimikrobiyal peptitler olarak da isimlendirilen ve gram pozitif, gram-negatif bakterilerle mantar hatta bazı virüsleri de öldürme yeteneği bulunan bazı peptitlerin varlığı son yarım asır içerisinde keşfedilmiş ve bu peptitler ile ilgili sayısız çalışmalar yapılmıştır. Bugün bu peptitlerin bağışıklık sistemindeki rolleri ve etki mekanizmaları göz önüne serilmektedir. Bu peptitlerin savunma sisteminde rol alan ilk bağışıklık elemanları olmalarının yanında savunma direncine ve tepkisine göre kendilerini adapte edebilmeleri ve diğer savunma elemanlarıyla ve mikroorganizmalarla etkileşime girebilmeleri de diğer önemli özelliklerindendir [14].

Savunma peptitleri olarak da adlandırılan antimikrobiyal peptitler evrimsel olarak korunmuş immun sistemin vazgeçilmez elemanlarıdır ve hemen hemen tüm canlı sınıflarında keşfedilmiştir.

Bu peptitlerin potansiyel bir iyileştirici özelliği kanıtlanmış, geniş spektumlu bir antibiyotik gibi olan, Gram negatif ve Gram pozitif bakterilere, mycobacteria türlerine (*Mycobacterium tuberculosis*), bazı zarflı virüslere, mantarlara ve hatta bazı kanserli hücrelere de etki ettiği bilinmektedir [15].

Antimikrobiyal peptitler, gen olarak polipeptit şeklinde kodlanan antimikrobiyal maddeler olarak tanımlanmıştır. Genelde 100 bç'den daha azdır. Hastalığın erken dönemlerinde aktif olup yabancı organizmalara karşı savunmada yüksek yapılı organizmaların en büyük silahlarından biridirler.

AMP'lerin sekonder yapılarının birbirlerinden büyük farklılık gösterdigine inanılmaktadır. Birçok çalışmada AMP'lerin hücre membran lipitleri ve fonksiyonlarını bozarak bakteri hücrelerini öldürdükleri gözlenmiştir. Bu sayededir ki direnç mekanizmasının bu peptitlere karşı geliştirilmesi kolay olmamıştır.

Bu yapı farklılıklarına rağmen temel olarak yabancı mikroorganizmalara karşı gösterilen mekanizma benzerlik göstermektedir. Diğer bir ifadeyle mekanizmalar belirli olan yapıya bağlı olarak gelişmemektedir.

AMP'lerin yaygın yapısal özellikleri arasında suda çözünebilen moleküller olmaları, amfifilik özellikde olmaları ve deterjanlar gibi yağlara bağlanma affinitesi göstermeleri sayılabilir.

Antimikroiyal peptitler deri gibi nemli yüzeylerde (burun, soluk borusu, ağız vb) ve sindirim ile ilgili bölgelerde bulunmakta ve bu bölgelerde konağın yabancı istilalara karşı savunması görevini üstlenmektedirler [1, 6, 12].

Çeşitli organizmalarda 800'den fazla AMP tanımlanmıştır [4]. Bunlardan bazıları yapılarına göre Tablo 1.1'de, hedef hücre ve etki şekillerine göre de Tablo 1.2'de gösterilmiştir. Bunlar oldukça değişken yapı ve dizi bakımından da oldukça değişkenlik gösterirler ki çok yakın akraba türlerde bile nadiren benzerlik gösterirler [1, 6, 16].

**Tablo 1.1 Yapılarına göre bazı antimikrobiyal peptitler.**

Yapi	Kaynak	Bulunduğu bölge
<b>Asimetrik</b>		
sekrom A	Ipek böceği	E, BH, KS
Magainin 2	Kurbaga	E
Peksiganan	Sentezik	
Dermasepun I	Kurbaga	E
LL-37	İnsan	E, BH
Buform II	Omurgalı	E
<b>Tek disulfid bağ</b>		
Baktenezin I	İnek	BH
Thaumatin	Böcek	BH
Brevianin II	Rana kurbagalari	E
Ranaleksin	Rana kurbagalari	E
Ranateumin	Rana kurbagalari	E
Esculentin I	Rana kurbagalari	E
<b>İki disulfid bağ</b>		
Tachyplesin	At nali yengeci	BH
Androctonin	Acar sp	KS
Protegrin 1	Domuz	BH
<b>3 disulfid bağ</b>		
a-defensin (HNP3)	İnsan	BH, E
b-defensin (TAK)	İnek	E, BH
c-defensin	Maymun	BH
Defensin (sapecinA)	Böcek	E, BH, H
Thionin (crambin)	Bilki	E
<b>4 disulfid bağ</b>		
Defensin	Tırp thomurları	E
Drosomycin	Meyve sineği	KS
Hepcidin	İnsan	Liver
<b>Lineer</b>		
Bac 5	İnek	BH
FR-39	Domuz	BH
Indolisidin	İnek	BH
Apidacein	Balatısı	KS
Pyridococcin	Böcek	KS
Histatin 3	İnsan	Tukuruk

\* BS, Kan hücresi; KS, Kan sıvısı; E, Epitel dokuv[17].

Table 1. 2 Bazı antibakteriyel peptitler [18].

Peptit Maddesinin adı	Yapı A-heliks	Kaynak Kurbaga	Hedef	Referans
Sekropin	$\alpha$ -heliks	Böcek	Junin virus, HSV, HIV	Hücresel hedef Viral gen ekspresyonunun bastırılması, Hücresel hedef, Viral gen ekspresyonunu
Mellitin	$\alpha$ -heliks	Ari	HSV, Junin virus	Hücresel hedef, Hücresel hedef
LL-37	$\alpha$ -heliks	İnsan	HSV	Zayıf viral inaktivasyon
Brevinin-L	$\alpha$ -heliks	Kurbaga	HSV	Viral inaktivasyon
$\alpha$ -Defensin	Sıklık: $\beta$ - levhası	Primat, İnsan	HIV, HSV	gp 120nin glikosilasyonu, gB'ye bağlanma ve viral parçaların bloklaması
Defensin	$\beta$ -levhası	İnsan, Tavşan	HSV, IAV, HCMV, VSC, HIV, Adenovirus	HSV membran/glikoprotein ile etkileşim, Viral partiküllerin inaktivasyonu, Viral partiküllerin inaktivasyonu, Viral partiküllerin inaktivasyonu, Hücresel hedef, Bilinmiyor
Dermaseptin	$\beta$ -levhası	Kurbaga	HIV, HSV	Viral membranın bozulması, Virus-hücre arayüzeyinde aktivite
Tachyplesin	$\beta$ -levhası	At nali, yengeci	HIV, HSV, VSV, IAV	Virus-hücre kaynasması viral inaktivasyon, Viral kılıf, Viral kılıf
Protegrin	$\beta$ -levhası	Dominuz İnsan	HIV, HSV	Bilinmiyor, Viral inaktivasyon
poliphenolisin	$\beta$ -levhası	At nali yengeci	HIV	Gp 120 ve CD4'e bağlanma
Laldoferin	$\beta$ -kivrim	Sığır, İnsan	HCMV HIV, HSV Papillovirus	Virus-hücre arayüzeyinde aktivite, Bilinmiyor, Heparin sulfat engellemeşi, Virus-hücre arayüzeyinde aktivite
Indosilidin	Uzarmış	Sığır	HIV, HSV	Integraz enziminin inhibitörleri, Viral membran/glikoproteinlerin hedef alınması

Tablo 1. 3 Bazı antifungal peptitleri ve işlevleri.

Melittin	$\alpha$ -heliks	Arı	<i>C.albicans</i>	Geçirgenlik	[43]
Magainin	$\alpha$ -heliks	Kurbağa	<i>C.albicans</i>	Lizis	[44],[45]
Sekrópin	$\alpha$ -heliks	Böcek	<i>Aspergillus furnigatus</i>	Memranda kolesterol/ergeste rol bağları	[46],[47]
PMAP-23	$\alpha$ -heliks	Domuz	<i>C.albicans</i>	Geçirgenlik	[42],[48]
Brevinin-1	$\alpha$ -heliks	Kurbağa	<i>Batrachochytrium dendrobatidis</i>	Lizis	[49]
Defensin	$\beta$ -levhası	Memeli	<i>C.albicans</i>	Membran geçirgenliği ve/veya lizis	[50],[51]
Pn-AMP 1	$\beta$ -levhası	Bitki	<i>C.albicans, S.cerevisiae</i>	Aktin filamentlerin depolimerazasyonu	[52],[53]
Histadin	Histidin ce zengin	İnsan, primat	<i>C.albicans</i>	Mitokondrinin hasarı	[54],[55]
Tenesin3	Uzamış kıymış	böcek	<i>C.albicans, A.furnigatus</i>	Sitoplazmik bölgede bilinmeyen hedef	[56],[57]
İndolisidin	uzamış	sığır	<i>T.beigelii</i>	Hücre membranının bozulması	[58]

### 1.1.1 Antimikroiyal Peptitlerin Tarihçesi

Antimikroiyal peptitler birbirinden bağımsız iki çalışmaya keşfedilmiştir. Bunlardan ilki, bakterileri öldüren fagositik memeli hücrelerinin mekanizması üzerine ikincisi ise, hayatı kalmak için bakterileri öldüren organizmaların mekanizmaları üzerinedir. 1870'lerin sonlarında bilim adamları konakçıya hasar vermekzsiz mikropları öldürebilecek biyolojik bir ajan araştırdılar [59]. 1883'de

Metchnikov mikropların fagositozunda beyaz kan hücrelerinin ilgisinin olduğunu tanımladı ve bu hücrelerin farklılıklarını da belirtti [59, 60]. Takip eden yıllarda Pettersen antimikrobiyal aktiviteye sahip insan anfiyezidinden bir irinin sulu özünü buldu. Pettersen ve arkadaşları antimikrobiyal aktiviteden sorumlu bileşikleri tanımlamayı amaçlamaktaydılar. Bununla beraber zamanın teknik ve koşulları bu antibiyotik ajanların araştırılmasında etkili değildi. Yaklaşık 20 yıl sonra Fleming'in ilk lizozimi keşfi [59] ve ardından da penisilinin bulunması yeni bir çağın başlangıcını oluşturmaktaydı. Antimikrobiyal maddelerin araştırılması için penisilinin keşfinden 10 yıl sonra Hotchkiss ve Dubos [61] *Bacillus brevis*'den gramisidiñ ve tirosidini izole etmeyi başardılar fakat yalnızca gramisidin çok sınırlı şekilde kullanılabildi çünkü ökaryotik hücreler için toksik etkisi vardı. Bu gelişmelerin takibinde birçok canlıdan da antimikrobiyal aktiviteye sahip moleküller keşfedilmiştir. Mesela arının zehirinden mellitin izole edilmiş fakat bunun gibi sonradan keşfedilen birçok molekülün çok daha fazla toksik olduğu ve hemolitik etkisinin olduğu keşfedilmiştir [60]

1969'da Zeya ve Spitznagel tavşan çekirdek lökositlerinden pozitif yüklerinden dolayı bakteri membran geçirgenliğini bozan ve hemolitik olmayan 5 tane katyonik antimikrobiyal protein izole ettiler [62].

1970'li yıllarda bitkiiden elde edilmiş ilk antimikrobiyal peptit olan tiyonin izole edildi [63].

1978'de Weis ve Elsbach [64] kronik myeloid lösemi hastalarının beyaz kan hücrelerinin granul proteinlerinden 'bakteri geçirgenliğini indükleyen faktör' adı verilen bir proteini izole ettiler. Bu protein bakterilere karşı olan aktivitesinin yanı sıra endotoksinleri nötürleme gibi özelliklere de sahipti.

1980'lerin başlarında bir seri çalışmadan sonra güve pupasından elde edilen ve böceklerden izole edilmiş ilk antimikrobiyal peptid olan sekropin keşfedildi [65]. İlk zamanlarda bu peptitlerin sadece böceklerde bulunduğu düşünülmekteydi fakat daha sonra diğer hayvan sınıflarından da benzer özelliklere sahip peptitler keşfedildi [13].

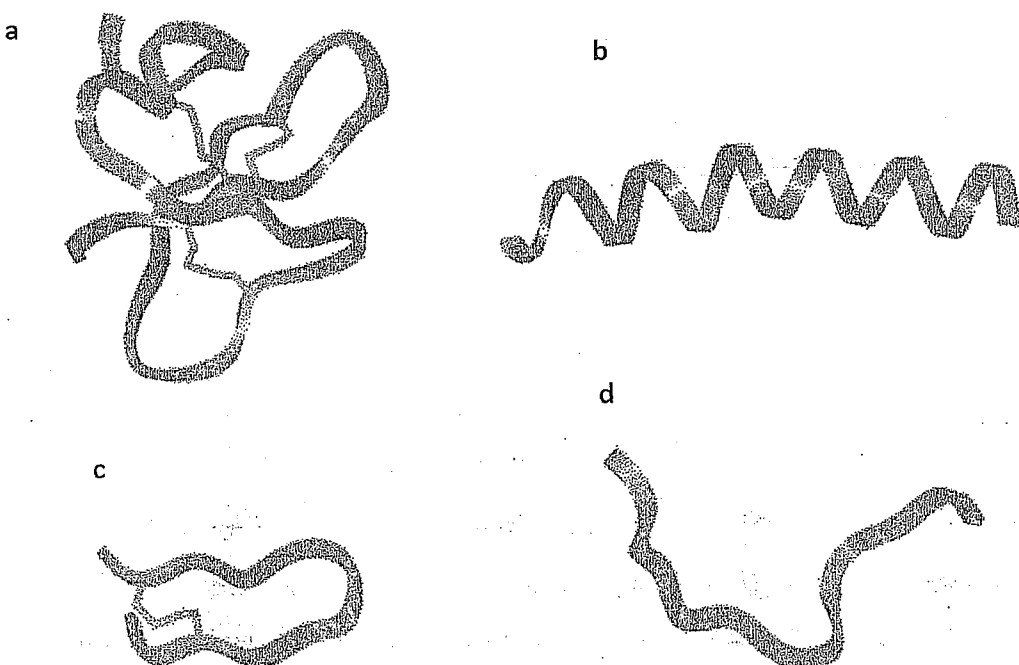
1995 yılında ilk defa AMP'lerin bağışıklık sistemindeki rolleri ve işlevleri hakkında geniş çaplı bir makale yayınlandı [66].

### 1.1.2 AMP'lerin yapıları

AMP'ler oldukça büyük çeşitlilik gösterdiklerinden mikroplara karşı göstermiş oldukları saldırısı yöntemlerine göre grupperlendirilirler. Bununla beraber bazı AMP'ler sekonder yapılarına göre de grupperlendirilebilirler. Genel olarak 4 grupta incelenirler. (Şekil 1.2):

2 yada 3 disülfid bağlarıyla stabile olmuş  $\beta$ -levha

- Amfipatik Alfa heliks
- Tekli disülfid bağıyla olan ilmek yapısı
- Uzamış molekül yapısı [1, 16, 67, 68].



Şekil 1. 2 AMP'lerin moleküler yapıları a) 2 ya da 3 disülfid bağlı ile bağlı olan  $\beta$  levhası, b)  $\alpha$  heliks  
c) tek disülfid bağıyla olan ilmek ve d) uzamış molekül yapısı [6].

Disülfid bağlarıyla dengede olan levha sınıfı paralel olmayan bir yapıyla karakterize edilir. Helikal peptitler helikal konformasyonlarıyla karakterize edilirler ki sıklıkla molekülün merkezinde ufak bir kıvrım ihtiva ederler. Amfipatikler; bu peptitlerin helikal konformasyonları mikrop membranları ile olan etkileşimiyle uyarılırlar. Uzamış olan peptit sınıfı helikal ve levha şekilde olanların aksine içerdikleri yüksek miktardaki prolin ve glisinden dolayı sekonder yapıdan yoksundurlar. Bu peptitler membran lipitleriyle olan Van der Waals ve hidrojen bağlarıyla son yapılarını kazanırlar. İlmek şeklinde olanlar ise düşülfid ve amid veya isopeptit bağıları ihtiva eden bağlarla ayırt edilirler.

AMP'ler farklı yapısal özellikleri ile sınıflandırılmalarının yanı sıra mikroplara karşı göstermiş oldukları mekanizmalar ile de kategorize edilmektedirler. AMP'lerin direkt olarak membranla etkileşen bir davranış mekanizması olduğu düşünülmektedir. Doğal L peptitlerinin yaptığı kadar AMP'lerin D enansiyomerlerinin de aynı biyolojik aktiviteleri ve membrandan geçebilme özelliği sergilediği bulunmuştur. Genelde AMP'lerin membranlarla etkileşimi membran geçirgenliğini arttırır. Bununla beraber sadece sınırlı sayıdaki mekanizmalar antimikrobiyal peptitlerin hareketlerinin mekanizması hakkında bilgi verir.[4]

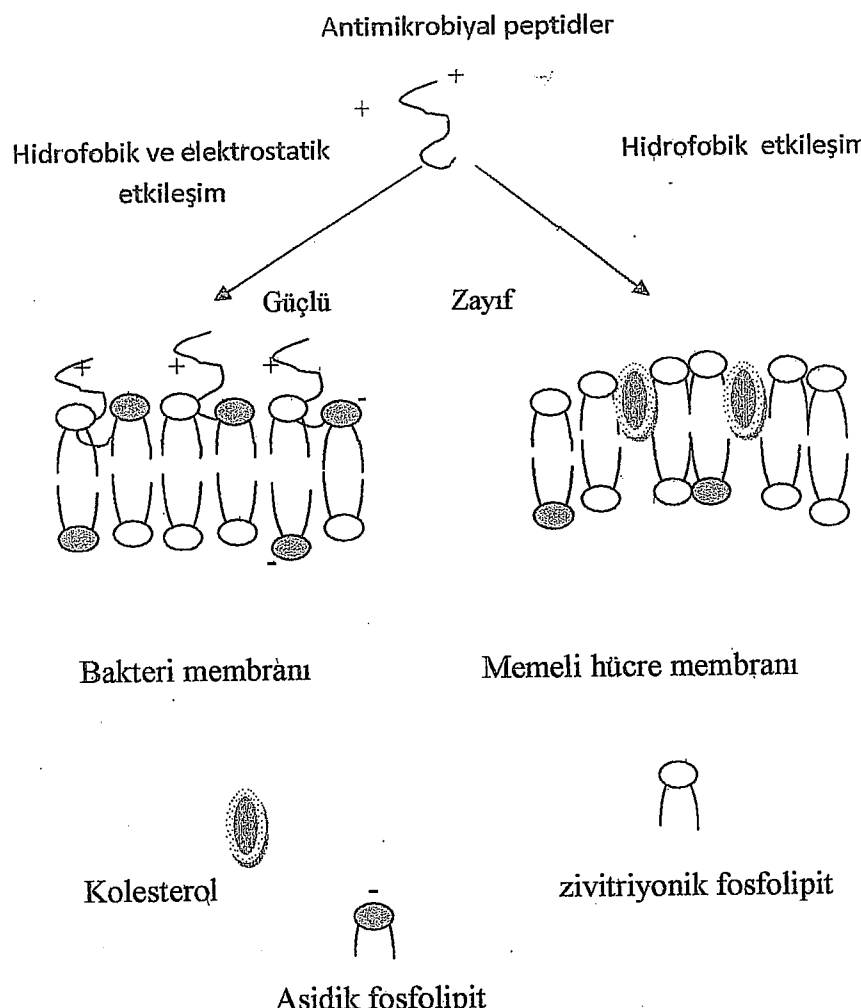
### 1.1.3 Mekanizma

Antimikrobiyal peptitler pozitif yükleri sayesinde herhangi bir aracıya ihtiyaç duymadan bakterilerin dış membran yüzeyiyle etkileşime girebilmektedirler. Bunun sebebi gram-negatif bakterilerin dış membranındaki lipopolisakkarit tabakasının, gram pozitif bakterilerde ise lipoteikoik asidin negatif yüklerinden dolayı pozitif yüklü olan katyonik peptitlerin kolayca bağlanabilmeleridir. Bu durum memeli hücreleri için bir avantaj da oluşturmaktadır zira memeli hücrelerinin membran yapısı ve muhtevası bakteri hücrelerinden farklılık göstermeyecektir. Bu yüzden antimikrobiyal peptitin bağlanabilmesi için gerekli negatif yük olmadıgından memeli

hücreleriyle antimikrobiyal (katyonik) peptitler arasında etkileşim gerçekleşmemektedir.

Memeli hücreleriyle bakteri hücresi arasındaki diğer bir önemli fark ise memeli hücrelerinde bulunan kolesterolin varlığıdır.

Tüm bu farklılıklar sayesinde memeli hücrelerine karşı herhangi bir yan etkisi bulunmaksızın seçici olarak bakterilerin konakçı içerisinde öldürülmesi sağlanabilmektedir (Şekil 1.3).



Şekil 1.3 Antimikrobiyal peptitlerin membranla etkileşimi. ( Bakteri membranları asidik fosfolipite sahip olduklarıdan pozitif yüklü peptitler bu membranlarla etkileşime girerler. Diğer taraftan asidik fosfolipit, memeli hücrelerinin iç kısmında bulunur. Dış kısmında ağırlıklı olarak zivitriyonik fosfolipitin bulunması ve antimikrobiyal peptitlerin affinitesinin düşük oluşu aynı zamanda kolesterol varlığında memeli hücrelerinin bu peptitler tarafından oluşturabilecek membran etkileşimlerini bir anlamda engellemiş yada azaltmış olması membran yapısının antimikrobiyal aktivite üzerine olan etkisini açıklamaktadır. Bu şekil referans [17, 69]den modifiye edilmiştir.)

Bunun yanında yapılan bazı çalışmalar antimikrobiyal peptitlerin aktivitelerinin, her zaman dış membran yapısına bağlı olmadığını göstermiştir [8].

AMP'lerin hemen hemen hepsi katyoniktir ki bunun anlamı lizin ve arjininin fazlalığından dolayı net bir pozitif yükle sahip olmalarıdır. Bu nedenle AMP'lerin büyük bir çoğunluğuna KAMP (katyonik antimikrobial peptitler) adı verilmiştir. KAMP'lar aynı zamanda amfipatik (yani suda çözünen hidrofilik ve çözünmeyen hidrofobik gurupların her ikisini de bir arada bulunduran) moleküllerdir. Bu

özellikleri sayesinde membranın hidrofobik bölgesiyle bütünlenebilir ve dış membran boyunca yer değiştirebilir. Bu sebeple arjinin ve lizinin KAMP'ın hedef membranıyla olan etkileşimine olumlu katkısı vardır. KAMP'ların LPS'lere (Lipopolisakkarit) bağlanması dış membrandaki Mg<sup>+2</sup> ve Ca<sup>+2</sup> gibi iki değerli (divalent) katyonların yer değiştirmesiyle olduğu düşünülmektedir. Bu divalent katyonların LPS'lerin negatif yüklerine bağlanmasıından dolayı dış hücre membranının stabilizesi için elzem önem taşımaktadır. Bu yüzden divalent katyonların yer değiştirmesinden dolayı KAMP'lar ile LPS etkileşimleri nedeniyle, LPS katmanları üzerinde bozulmalar meydana geldiğine inanılmaktadır. Bu bozulma KAMP'ların dış membran boyunca "kendiliğinden aktive olan madde alımı" (self-promoted uptake) adı verilen bir mekanizmayla hareket etmelerini sağlar [1, 4-7, 12, 70].

Bu mekanizmaya göre, aminoglikozidler ve polimiksin B gibi katyonik bileşiklerin membran stabilizetisini bozmaları ve bu nedenle membrana girebilmelerine olanak sağlamaktadır [71].

Sitoplazmik membran da dış hücre membranı gibi negatif yüklüdür. KAMP'ların membran üzerindeki etkisi de bu negatif yükden dolayıdır. KAMP'ların sitoplazmik membranla olan etkileşimleri 2 sınıfa ayrılır. Bunlar membranı bozarak etki eden ve membranı bozmadan etki eden mekanizmalardır. KAMP'ların membranı bozmaları ise sitoplazmik membranın şiddetli bir şekilde karıştırılmasıdır ki bu mekanizmayı açıklayan iki model geliştirilmiştir; fiçı tahtası modeli ve kilim modelidir [5, 12, 72, 73].

Aşağıda bu iki mekanizma açıklanmıştır.

#### 1.1.3.1 Fiçı Tahtası Modeli

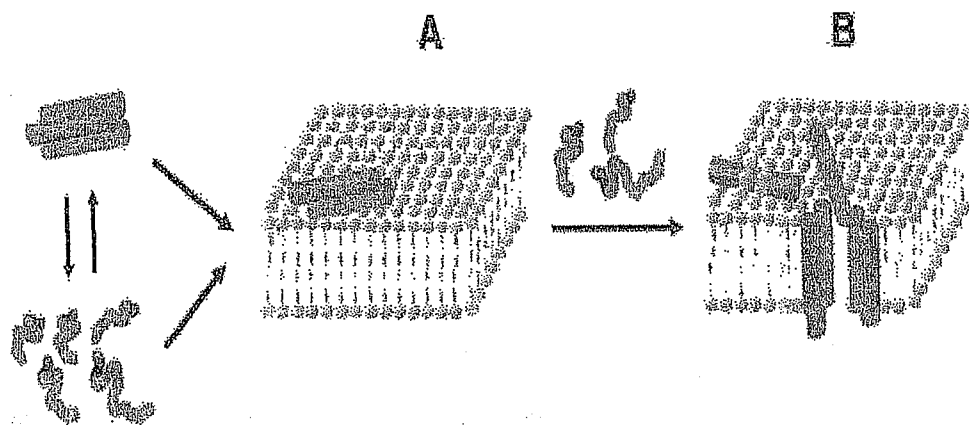
Bu model antimikrobiyal mekanizmayı açıklamak için öne sürülmüş olan ilk modeldir. Bu modele, peptitlerin membran içerisindeki görünümleri fiçıyı andirdiği için bu ad verilmiştir. Bu modelde peptitler membrana dikey şekilde konumlanırlar. Aşağıdaki şekilde görüldüğü gibi (Şekil 1.4) AMP'ler bu konumlamayla polar

kısımları transmembran por içine, hidrofobik kısımları da lipit membran yüzeyine dönük şekildedirler. Bu modelde peptitlerin hidrofilik yüzleri çözücü ile, hidrofobik yüzleri ise membranın lipit kısmı ile temas eder ve sonuçta membranda kanallar ya da porlar meydana gelir. Bu yolla mikrobiyal membran içerisinde kanal formunu kazanırlar. Oluşan bu porlar membran bileşenlerinin azalması ve membran potansiyelinin bozulmasına neden olur [10]. Peptitlerin membrana etki edebilmeleri için membranın negatif olarak yüklenmesi gerekmektedir.

Bu modele göre peptitlerin bazı özelliklerinin olması gerekmektedir bunlardan bazıları şunlardır;

- Hidrofobik yapıya sahip olmalı,
- $\alpha$  helikal bir peptid için minimum 22 aa.  $\beta$ -levha için 8 aa. uzunluğunda olmalı,
- membranın yapısını bozmak için en az 2-3 peptidin bir araya gelmesi yanı belirli bir konsantrasyonda olması gerekmektedir.

Tüm bu açıklamaların yanında konuya ilgili çalışmalar göstermektedir ki, bu model sadece selektif olmayan katyonik peptitlerin membranla olan etkileşimlerini açıklamaktadır. Bu yüzden selektif olan katyonik peptitlerin etkileşimlerini açıklamak için kılım modeli geliştirilmiştir [8, 10, 12, 73, 74].



**Şekil 1.4 Fırçı Tahtası Modeli.** Şekilde fırçı tahtası modeline göre membran geçirgenliğinin bozulması gösterilmiştir. Peptitler önce monomer ya da oligomorik olarak membran yüzeyine tutunurlar (A), daha sonra membranın lipit çekirdeğine girmesi ve ek olarak diğer monomerlerin bu bölgeye toplanması (B). Burada koyu renk hidrofobik yüzeyi; açık renk ise, hidrofilik yüzeyi temsil etmektedir. Not: Bu şekil yazarın izniyle konulmuştur [10]

### 1.1.3.2 Kilim Modeli

Kilim modelinde AMP'ler membran içeresine girmezler onun yerine sitoplazmik membrana paralel olarak dizilirler. Bundan dolayı membran üzerinde kilim gibi bir yapı kazanırlar. AMP'lerin bu uyumu membranın iki katmanlı yapısının dengesinde bölgesel bozulmalara ve membranda geniş çatlaklara neden olur. Şekil 1.5'de gösterildiği gibi bu çatlakların sitoplazmik bileşenlerin dışarıya akmasına neden olması, membran potansiyelinin çökmesine ve son olarak membran bütünlüğünün bozulmasına neden olur.

Kilim modelinde fiçı tahtası modelinin aksine pozitif yüklü peptitler membranın hidrofobik kısmının içine girmezler, onun yerine hidrofilik kısımları birbirine bakacak şekilde bir topluluk halinde bulunurlar. Bunun yanında kilim modelinde fiçı modelinin aksine membrana nüfuz eden peptitlerin belirli bir yapıda olması şart değildir, çeşitli yapı ve büyülükte olabilirler. Bu modelin geliştirilmesinin amacı ‘neden AMP'ler antimikrobiyaldır ve yapı, dizi ve uzunluklarıyla ilişkili olmadan aktivite gösterebilmektedirler?’ sorusunun cevabını vermektedir [8, 10, 12, 73-76].

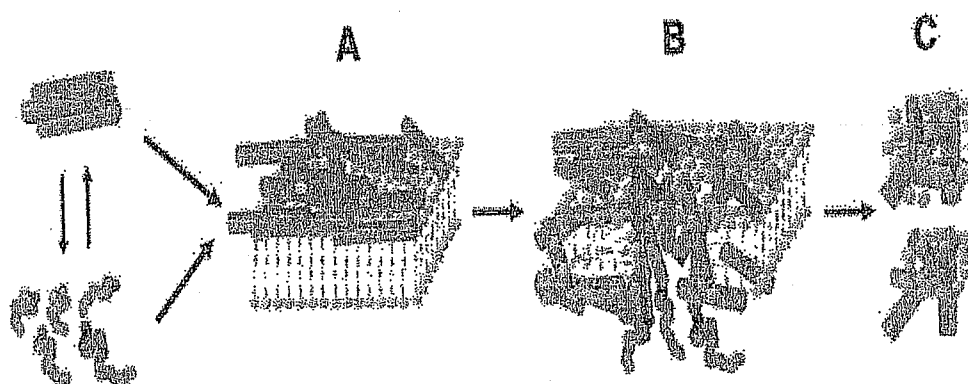
Bu modelde monomerik ya da oligomerik AMP'lerin negatif olan membran yüzeyine bağlanması için amfipatik yapıda olması gereklidir. Membran ile olan ilk etkileşim elektrostatik çekim kuvvetiyle gerçekleşir, fakat bu modelde aktif olan AMP'ler pozitif yüklü olmalıdır. Bundan sonraki adımda AMP'ler hidrofobik yüzeyleri membranın hidrofobik yüzeyine bakacak şekilde yeniden yön değiştiriler. AMP'ler belirli yoğunluğa ulaştıktan sonra membran yapısının bozulmasıyla membrana nüfuz ederler. Membranın çöküşünden önceki adımda bu modelde aktif olan AMP'lerin membranda geçici olmayan boşluk formunu oluşturmaları gereklidir. Bu boşluklarda, AMP'ler yalnızca fosfolipit guruplarıla temas ederler [8, 10, 12, 73-76].

Ortaya sürülen ve yukarıda bahsedilen bu iki antimikrobiyal aktivite mekanizmasının yanında çoğu peptidin daha geniş polipeptitlerle birlikte çalışıkları hatta bazlarının antibiyotiklerin etkisini artırdıklarına dair kanıtlar vardır [77].

Dış membranı parçalayabilen lizozim gibi bir polipeptit AMP'lerin membran içine girişi neden olabilmektedir. Bunun yanında son zamanlardaki çalışmalara göre AMP'ler (KAMP'lar) DNA, RNA, veya hücresel proteinler gibi iç kısımda bulunan hedeflerle etkileşmek için bakteriyel fosfolipitlerle çapraz bağlar yapabilirler [1, 5, 6, 12, 16].

Hareket mekanizmalarına rağmen AMP'lerin en ilginç özelliklerinden biri memeli hücreleri için toksik olmazlarken mikropları öldürmeleri ve hücre türlerini ayırt etme yetenekleridir. Tabi ki bu seçiciliğin temelindeki özellik membranların ayırt edilmesidir [73].

AMP'lerin mekanizmaları bulunmuş olsa da, farklı membran tiplerinden etkileniyor olabilirler. Bu yüzden AMP'ler farklı membranlar üzerinden farklı mekanizmala adapte olabilirler [4].



Şekil 1.5 Kılım modeli. Bu şekil membrana nüfus için önerilen kılım modelini göstermektedir. Peptitler membrana monomer veya oligomer olarak ulaştıktan sonra hidrofobik yüzeyleri membrana, ve hidrofilik yüzeyleri çözücüye bakacak şekilde membran yüzeyine bağlanırlar (A). Peptit monomerleri eşik yoğunluğa ulaştığı zaman membrana nüfuz ederler ve geçiş boşluğu (por) oluştururlar (B), bu aynı zamanda membran bütünlüğünü bozan bir süreçtir (C). Koyu renk, hidrofobik yüzey; açık renk, hidrofilik yüzeyi göstermektedir.

#### 1.1.4 Tedavi Potansiyeli

Doğal AMP'lerin birçoğu anti-enfeksiyon terapatipleri olarak geliştirilip analiz edilmiştir. Mukozal iltihabı, kistik fibrozis, akciğer iltihapları, tropikal deri enfeksiyonları ve ayak ülseri [18] gibi çok değişik hastalıkları içine alan kullanım alanları vardır [78].

AMP'lerin aktivite spektrumu, yalnızca bakterileri öldürme yeteneklerinin yanı sıra klasik antibiyotik direncinden etkilenmemeleri ve endotoksinleri etkisizleştirmeleri ile antibiyotiklerden ayrırlar. Burada bahsettiğimiz endotoksinlerden etkilenmemeleri ve bakteri direncini kırmaları ile beraber aktivite gösterdikleri canlıların sayısı ve kullanım alanlarının genişliği AMP'lerin keşfini ve geliştirilmesini önemli derecede arttırmıştır.

Bununla beraber araştırmalar farklı yaklaşımlarla tasarlanmış ve yürütülmüştür. AMP'ler antibiyotiklere kıyasla daha büyük moleküller ağırlığa sahiptirler. Bu yüzden dışında üretilme maliyetlerini azaltmak için rekombinant olarak üretilmişler ve bunun için değişik sistemler geliştirilmiştir. Şu ana kadar ufak ölçekli üretimleri gerçekleştirilmişse de geniş çaplı üretim endüstriyel olarak henüz başarılılamamıştır [79-81].

Yapılan araştırmalara ilaveten memeli hücrelerinde toksik etkisi olduğu belirlenmiş olan AMP'lerin de araştırılması gerekmektedir. Hâlbuki diğer AMP'lerin gösterdiği toksik etkileri çok azdır [77].

Buna ilaveten her ne kadar AMP'lere karşı mikropların genel olarak bir direnç göstermediği görülmüşse de bazı türlerin doğal olarak ya da sonradan kazandıkları direnç mekanizmaları da mevcuttur [82].

AMP'ler için yapılan araştırmalar ışığında söylenebilir ki, AMP'ler enfeksiyonlara karşı tüm hayvanlar için bir savunma mekanizması vazifesi görmekte ve çoğu organizmanın doğal bağışıklık sisteminin kritik elemanları olarak görev yapmaktadır.

### 1.1.5 Seçicilik

Bakteri hücrelerini ökaryotik hücrelere göre nispeten AMP'lere karşı daha hassas yapan üç neden vardır. Bunlardan en önemlisi ökaryotik ve bakteri hücre membranı arasındaki lipit komposisyon farkıdır. İlkinci faktör, KAMP'ların seçiciliğine izin veren bakterilerdeki kolesterolin varlığıdır. Üçüncü faktör ise AMP aktivitesine katkıda bulunan negatif transmembran potansiyelidir. AMP'lerin (Katyonik peptitlerin) aktivitelerini açıklayan uygun tanımın yapılabilmesi için ökaryot ve prokaryotlara ait farklı membranların tanımlanması ve açıklanması gerekmektedir [4].

Tüm biyomembranların temel bileşeni fosfolipit tabakasıdır. Bu tabakalar amfipatik bir yapıya sahiptirler yani diğer bir ifadeyle hem hidrofobik hem de hidrofillik bir yapıya sahiptir. Bununla beraber ökaryot ve prokaryot membranları da kendi aralarında farklılık göstermektedirler. Bakteri biyomembranları dominant olarak membranı negatif yapan fosfatidilgliserol (FG), kardiolipin (KL) ve fosfatidilserin(FS) dir. Bunun karşılığında ökaryotlar fosfatidiletanolamin (FE), fosfatidilkolin (PK) ve sfingomyelin gibi membranı nötr yapan zivitriyonik fosfolipitlerce zengindir [76].

KAMP'ların seçici olmalarındaki en önemli faktör lipit bileşimindeki farklılıklarlardır. Buna ek olarak gram negatiflerin dış membran yüzeylerinde LPS gram- pozitif bakterilerin dış yüzeyinde asidik polisakkaritler bulunmaktadır. Bu

yapılar bakteri membranını negatif yapar. Bakteri membranı negatif olarak yüklü olduğu için KAMP'lar tercihen bu membranlara bağlanırlar. Bununla beraber ökaryotik hücre membranlarının dış membran kısımları AMP ile membran birleşimini inhibe eder. İşte bu sebeplerden dolayı fosfolipitlerdeki farklılıklardan kaynaklanan farklı elektrostatik yükler, AMP'nin seçici olmasına izin verir. Membran yüklerinden dolayı AMP'lerin seçici olması bazı çalışmalarla teyit edilmiştir. Yaygın kanı, daha fazla pozitif yüke sahip olan katyonik peptitler seçiciyken net bir pozitif yüke sahip olmayan AMP'ler seçici degillerdir [1, 5, 8, 10, 74].

Nötür olmasının yanında ökaryotik hücre membranı kolesterol de ihtiva eder ve bu da prokaryotik hücrelere göre lipid membranının daha esnek olmasına neden olur. Gerçekte hücre membranın daha sert olması onu daha kararsız yapar. Bu yüzden kolesterolin varlığı KAMP'larda prokaryotlara doğru bir seçiciliğe neden olur [4].

Buna ek olarak kolesterolin varlığı AMP'ler için memeli ve fungal hücrelerde de bir ayırma sebep olur [76]. Prokaryotik hücreler ökaryotik hücrelerden hücre içi ve hücreler arası sitoplazmik membran yaprakçıkları arasındaki elektriksel ayırmalarla ayırt edilirler. Bu elektrokimyasal gradient, trans membran potansiyel ( $\Delta\psi$ ) olarak da isimlendirilir. Memelilerin membran potansiyeli  $\Delta\psi$  -90 dan -110 mV'a kadar değişirken, bakteri hücre membranında bu oran -130 mV ile -150 mV arasındadır. Böyle bir potansiyelin varlığı mikrop membran yüzeyinde KAMP'ların yoğunlaşmasına neden olan elektroforetik bir kemiosmotik potansiyel anlamına gelir.  $\Delta\psi$  daki bu farklılıklar AMP'lerin bakteri hücrelerine meyilli olmasındaki etkenlerden biridir [76]. Bu membran gradiyentindeki farklılıklardan doğan seçicilik, "Neden bazı KAMP'lar insan hücrelerine nazaran daha yüksek membran potansiyeline sahip kanser hücrelerini tercih ediyor?" sorusunu da açıklayabilmektedir. Bununla beraber kanser hücreleri normal insan hücreleri ile kıyaslandığında farklı membran bileşimine sahiptir. Hücrelerdeki bu varyasyonlar ve membran potansiyeli KAMP'ların kanser hücrelerine karşı olan seçiciliğinin bir nedeni olabilir [76, 83]. Fosfolipit katmanın düzenine bağlı seçiciliğe rağmen asimetrik yapıların da KAMP'ların seçiciliğinde önemli rolleri vardır [76].

### 1.1.6 Krabrolin

Krabrolin Avrupa eşek arısı *Vespa crabro*'nun (Şekil 1.6) zehrinden elde edilmiş 13 aa. uzunluğunda katyonik bir peptittir. Krabrolin antimikrobiyal aktivitesinin yanında yine aynı türden elde edilen Matroparan C den daha az bir hemolitik aktiviteye sahiptir. Hemolitik aktivitesinin daha düşük oluşu krabrolini dirençli bakterilere karşı enfeskisyon tedavileri için Mastroporan C'ye göre daha uygun bir aday yapmaktadır. Krabrolinin dizisi NH<sub>2</sub>-LATVIKRLILPLF şeklindedir ve krabrolının sahip olduğu 13 amino asidin 10'u hidrofobik olmasından dolayı hidrofobisitesi yüksektir. Krabrolin lizin ve arjinin fazlalığından dolayı katyonik ve net +2 yüke sahiptir [20]. Krabrolinin trifluroetanol içeren solüsyonlarda, belli bir sırası olmayan amfipatik  $\alpha$ - helikal konformasyonu kazandığı bilinmektedir [84].



Şekil 1.6 *Vespa crabro*. [85]. A) Önden ve B) lateralden görüntüüsü

Bununla beraber  $\alpha$ - helikal konformasyonun krabrolinin antimikrobiyal aktivitesi için bir ön koşul olmadığı düşünülmektedir. Fakat net yüke sahip olması ile hidrofobisitesinin varlığının önemli olduğu, lizin miktarındaki artışın MIK (minimal inhibisyon konsantrasyonu) değerini arttıırken hemolitik aktivitede bir değişiklikle neden olmadığı gözlemlenmiştir [22]. Buna rağmen henüz krabrolinin antimikrobiyal mekanizması tam olarak çözülememiştir [86].

Krabrolinin fosfolipaz A<sub>2</sub> aktivitesini hızlandırdığı gösterilmiştir. Fosfolipaz A<sub>2</sub>, Ca<sup>+2</sup> bağlı membranın yağ asitlerini hidrolizleyen bir enzimdir [84, 86].

Krishnakumari ve Nagaraj'ın çalışmalarında, 15 µg/ml ile gram negatif *E. coli* bakterilere karşı, sırasıyla 300 µg/ml ve 75 µg/ml ile Gram-pozitif *Staphylococcus aureus* and *Bacillus subtilis*'e karşı gösterdikleri minimal inhibisyon konsantrasyon (MIK) değerleriyle krabrolinin, gram pozitif bakterilere karşı gram negatif bakterilere göre daha aktif olduğunu belirlemiştir. Bununla beraber bu peptit gram-negatif olan *Pseudomonas putida* ya karşı inaktivite olmuş, *E.coli*'ye karşı MIK değerlerinde hemolitik aktivitesi çok düşük çıkmıştır. Gerçek de krabrolinin, *E. coli* ye karşı MIK değerlerinde az bir hemolitik aktivite göstermesi onun dirençli bakterilere yapılan enfeksiyon tedavilerine karşı uygun bir aday olmasını mümkün kılmaktadır [84, 86].

## 1.2 *Pichia pastoris*

Karbon kaynağı olarak metanolü kullanan belli türler yaklaşık yarımsaç önce Koichi Ogata (Clegg J., yayinlanmamış) tarafından keşfedilmiştir. 1970 lerde Philips Petroleum adlı bir şirket yüksek hücre yoğunluğunda devam kültürlerinde metanol ile *P. pastoris*'i büyütmek için kültür medyaları ve metodlar geliştirdiler. Bununla beraber bu zamanlarda hayvan besinlerinin büyük kaynağı olan soya fasulyelerinin fiyatları büyük bir artış göstermiş yağ krizi de patlak vermiş ve bu yüzden metanol fiyatları büyük bir artış göstermiştir.

1980'lerin başlarında *P. Pastoris* le rekombinant protein ekspresyon sistemi geliştirilmiştir. Bunu AOX promotörünün suşların ve vektörlerin geliştirilmesi takip etmiş ve sonrasında "Intvitrogen" ismiyle dünya çapında satışına başlanmıştır.

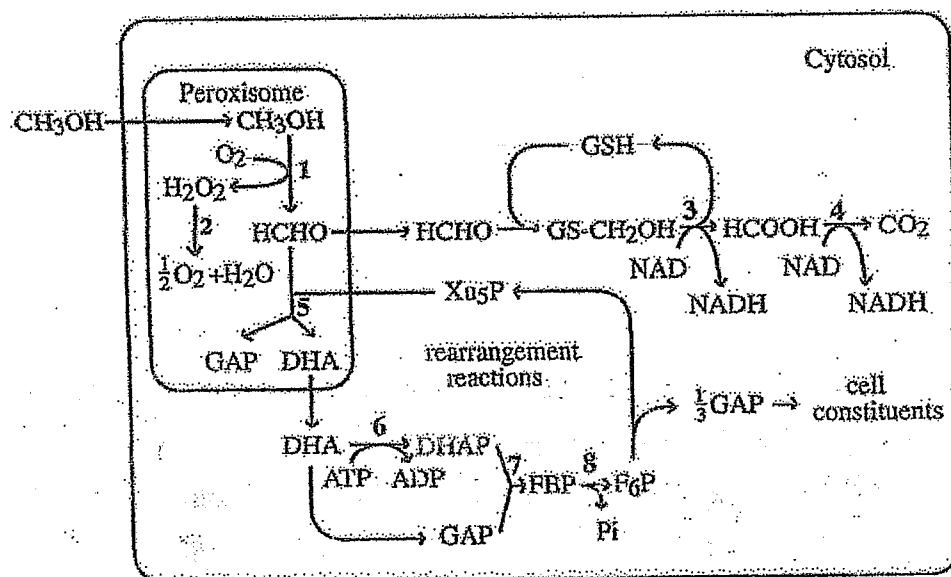
*Pichia pastoris* karbon kaynağı ve enerji kaynağı olarak metanolü kullanabileme kapasitesine sahip metilotrofik mayalardır. Bu zamana kadar *P. pastoris* birçok rekombinant ürünün sentezinde kullanılmış, mesela insan endostatin den örumceğin ağının ihtiva ettiği proteine kadar yüzlerce proteinin ekspresyonu yapılmıştır ve son zamanlarda çok başarı kazanılmış ve çok popüler olmuştur. *P. pastoris* 'in tercihinde bunların haricinde bazı faktörler de etkili olmuştur. Bunların neler olduğu aşağıda bahsedilmiştir.

*Pichia pastoris*'in rekombinant proteinlerin üretiminde seçilmesinde bazı avantajlar göz önüne alınmaktadır [87]. Bunlar arasında ;

- moleküler genetik seviyede kolayca işlenebilmeleri,
- hücreler arası veya hücre içinde büyük miktarlarda protein ekspresyonu,
- glikolizasyon, sülfidasyon gibi post translasyonal modifikasyonların gerçekleştirilebilmesi [88].
- güçlü bir promotörün varlığı,
- ucuz üretimin yapılabilmesi sayılabilir [11, 87, 89].

### 1.2.1 *P. pastoris* metanol mekanizması

*P. pastoris* metanolü kullanabilen 4 farklı cins ile temsil edilen mayalardan biridir. Diğer cinsler; *Candida*, *Hansenula* ve *Torulopsis*'dır [90]. Genel olarak bu cinslere ait türlerdeki metabolizma süreçleri benzerlik göstermektedir [91].

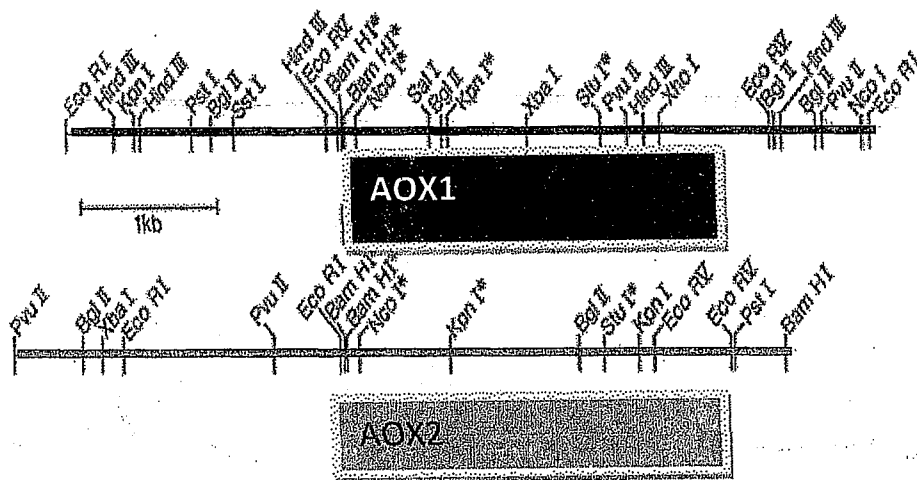


Şekil 1.7 *P. Pastoris*'de metanol mekanizması. 1) Alkol oksidaz, 2) katalaz, 3) formaldehit dehidrogenaz, 4) formate dehidrogenaz, 5) dihidroksiaseton sentez, 6) dihidroksikinaz, 7) fruktoz 1,6 bifosfat aklolaz 8) fruktoz 1,6 bifosfataz [92].

Metanol metabolizmasında ilk adım metanolün formaldehide oksidasyonudur. Bu süreçte üretilen hidrojen peroksit, alkol oksidaz enzimi (AOX) tarafından kullanılır. Hidrojen peroksit hücreler için toksik etkiye sahiptir ve bu metabolizmada hidrojen peroksitler peroksizomlar vasıtasiyla hücreden uzaklaştırılırlar. AOX her ünitesinde kofaktör flavin adenin dinükleotid (FAD) bulunan homo-oktomer yapıdadır. AOX'ın oksijene karşı affinitesi düşüktür fakat enzimin çok üretilmesiyle bu eksiklik giderilmektedir.

### 1.2.2 Alkol Oksidaz

*P. pastoris* 'de iki adet AOX kodlayan gen vardır. Bunlardan biri AOX1 diğeri AOX2'yi kodlar fakat AOX1'in alkolün oksidasyonundaki rolü AOX2'ye göre daha fazladır. AOX promotoru olukça güçlü bir promotördür. Öyleki çalkalamalı kültürlerde metanolle büyütüldüğünde üretilen toplam proteinin yaklaşık %5'i, fermenter kültürlerde ise %30'u rekombinant proteinlerden oluşabilir [93].



Şekil 1. 8 *P. pastoris* AOX lokusunun karşılaştırmalı restriksiyon haritası. İki gende de bulunan restriksiyon bölgeleri yıldızla işaretlenmiştir [94].

AOX1 geninin ekspresyonu transkripsiyon seviyesinde kontrol edilir. AOX1'in düzenlenmesinde iki mekanizma rol oynamaktadır. Bunlardan biri baskılama diğerini indükleme mekanizmasıdır. Glukoz varlığında bu gen güçlü bir şekilde baskılanır. Gliserol varlığında da baskı altıná alınır. Öte yandan metanol ise genin ekspresyonunu teşvik eder [95, 96]. *Pichia pastoris* sisteminde güçlü bir promotör olan AOX kullanıldığı için oluşan ürünler *S.cerevisiae*'ye göre 10 ila 100 kat daha fazla rekombinant protein üretilmiştir [97]. AOX1 promotörünün güçlü regülasyonunun diğer bir yararı ise karbon kayakları ile baskılanabilmesidir. Böylece karbon kaynaklarının eklenmesi ile durdurulabilir. Bu yöntem hücreler için toksik olabilecek proteinlerin üretimi için kullanılabilir [93].

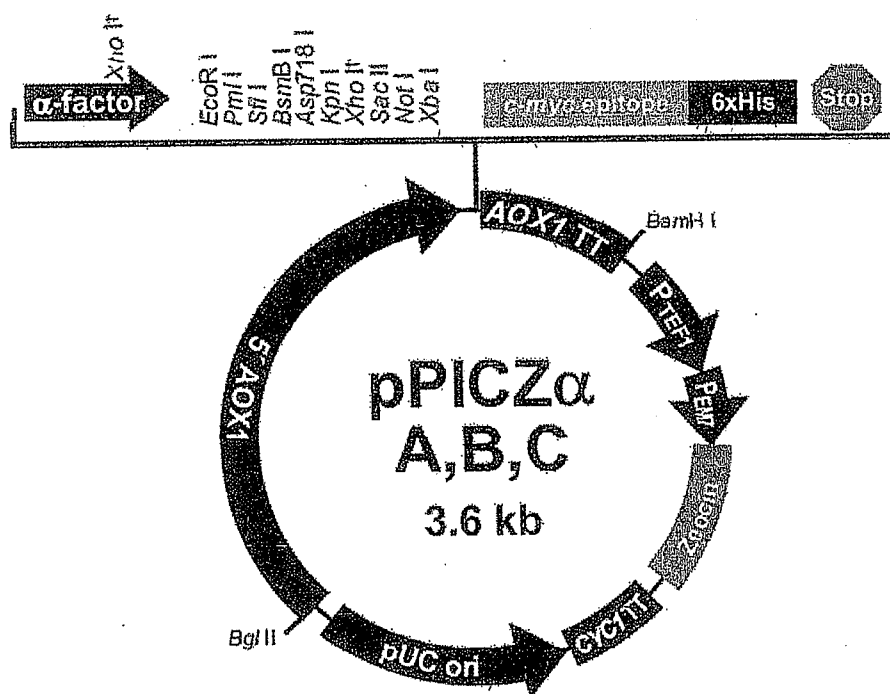
### 1.2.3 Vektör

*P. pastoris* için mevcut olan birkaç vektör bulunmaktadır. Bu vektörler, AOX1 promotörünün kullanılmasıyla rekombinant proteinlerin metanol ile yüksek seviyede ekspresyonunu mümkün kılar.

Bu vektörlerden biride bizimde çalışmalarımızda kullanılmış olan ve içerisinde *S.cerevisiae* salgılama sinyal dizisi kullanılarak rekombinant protein ekspresyonuna izin veren pPICZ $\alpha$ -A vektöründür. Bu vektörün çoklu klonlama bölgelerinde XhoI restriksiyon kısmının kullanılmasıyla Kex2 kesim bölgesinde bir genin klonlanması mümkün olur dahası rekombinant N-terminal uçlu bir rekombinant protein elde edilebilir.

*P. pastoris* ve *E.coli*'nin transforme olmuş hücrelerini kolayca ayırt etmek için bu vektör bir Zeozin<sup>TM</sup> direnç geni olan Sh ble genini içerir. Bu gen her iki mikroorganizma için bir promotöre sahiptir.

Her iki organizmanın seleksiyonu için Zeozin<sup>TM</sup> 'nin kullanımı vektörün boyutunu azaltmaktadır. Vektörün boyutu çok önemlidir çünkü daha ufak ve tümleşik vektörlerde transformatların daha düzenli olduğu bulunmuştur [88]. pPICZ $\alpha$ -A vektörü ayrıca, rekombinant proteinlerin kolay saflaştırılması ve tespiti için bir polihistidin etiketi ve C terminal gen (c-myc epitope) ile rekombinant gen kaynaştırılmasında izin verir. Bir stop kodonu eğer istenmiyorsa rekombinant protein dizisinin sonuna insert edilebilir [98].



Şekil 1.9 pPICZ $\alpha$ -A vektörü ve bölgeleri [87]

pPICZ $\alpha$ -A vektörü mayalar için replikasyon orjini içermez ve transformatlar, eğer *P. pastoris* genomu içerişine entegre edilirse elde edilebilir. pPICZ $\alpha$ -A vektörünün linearize edilebileceği restriksiyon kesim bölgeleri SacI, PmaI ve BstXI enzimlerinin kestiği yerlerdir. Bu enzimlerler linearize edilen vektörler konakçı *Pichia*'nın 5' AOX1 bölgесine entegre tek bir parça değişimi ile entegre olabilirler. pPICZ $\alpha$ -A vektörünün entegre olabilmesi, seçilme baskısının (selective pressure) olmadığı durumlardaki son derece verimliliğinden kaynaklandığı için zeozinin transforme olmuş *P. pastoris*'in ortamında bulunmasına gerek yoktur [93].

#### **1.2.4 Heterolog Proteinlerin Sentezi**

*P. pastoris* ile heterolog proteinler, hücreler arası ya da büyümeye ortamına ekspresyon edilebilir. Çünkü *P. pastoris* çok düşük seviyede hücre içine proteinin ekspresyonunu yapabilir, bu da proteinin hücreden saflaştırılması için kendiliğinden bir çözüm gibi görülmektedir. Buna rağmen genel olarak yabancı proteinler için seçenekler *Pichia sp.* için sınırlıdır. Proteinin salgı metabolizması için bazı sinyal dizileri gerekmektedir. Bu zamana kadar birkaç dizi başarıyla kullanılmıştır [11, 87, 93, 99].

### **1.3 Çalışmanın Amacı**

Bu çalışma antimikroiyal bir peptit olan krabrolinin *P. Pastoris* sistemi kullanılarak yüksek miktarda üretiminin sağlanması ve bunun için en uygun koşulların belirlenerek bu koşulların optimizasyonun yapılması ve bunun yanında daha geniş ölçekli üretimlerde kullanılması için bir referans olarak kullanılabilmesi amaçlanmıştır.

## **2. MATERİYAL VE METOT**

### **2.1 Medya**

**Maya Ekstrakt Pepton Dekstroz (MED) medya:** 10 g. Maya ekstraktı (Oxoid Ltd, England) ve 20 g. Pepton (Remel, USA) 900 mL saf ve otoklavlanmış suda çözüldükten sonra yaklaşık 60 °C'ye soğutuldu ve %20 dekstroz ilave edildi [98].

**10X Maya Nitrojen Base (MNB) medya:** 134 g. YNB (Invitrogen, California) 1000 mL saf suda çözüldükten sonra filtre edildi [98].

**Minimal Metanol (MM) medium:** 800 mL saf su otoklavlandıktan sonra 60°C'ye soğutuldu ve 100 mL fitre edilmiş MNB medya (Invitrogen, California), 2mL %0,02 Biotin ve 100 mL %5 metanol eklendi [98].

### **2.2 Tampon ve Solüsyonlar**

**0,1 M K fosfat tamponu (son hacim 200 mL):** Tampon için öncelikle 2 solüsyon hazırlanmıştır. Bunlar; 0,2 M mono-potasium ve di-potasium tuzlarıdır. 0,2M potasium fosfat, mono potasium tuzu için 27, 2 g.  $\text{KH}_2\text{PO}_4$  (MA = 136,09) 500mL dd  $\text{H}_2\text{O}$  ile çözülmüş ve daha sonar 1 lt'ye tamamlanmıştır. 0,2 M potasium fosfat, di-potasium tuzu içinse, 34,8 gr  $\text{K}_2\text{HPO}_4$  (MA = 174,18) 500mL dd  $\text{H}_2\text{O}$  ile çözülmüş ve daha sonar 1 litreye tamamlanmıştır. Daha sonra bu iki solüsyon istenilen pH'nın eldesi için belirli oranlarda karıştırılmıştır [100].

**0,1 M NaOAc (Son hacim 100 mL):** 0,1 M NaOAc eldesi için iki solüsyon gerekmektedir. Bunlardan ilki 0,2 M asetik asittir. Bu solüsyon için 11,55 mL. glasikal asetik asit ile 500 mL. ddH<sub>2</sub>O karıştırıldıktan sonra 1litreye tamamlanmıştır. İkinci solüsyon ise 0,2 M potasyum asetattır. Bu solüsyonun eldesi için 19,62 gr potasyum asetat (KOAc, Ma = 98,14) 800 mL. ddH<sub>2</sub>O suda çözülüp 1litreye tamamlanmıştır. Daha sonra bu iki solüyon istenilen pH'nin eldesi için belirli oranlarda karıştırılmıştır.

**500X B (0,02% Biyotin):** 20 mg. Biyotin 100 mL. Suda çözüldükten sonra filtre edilerek steril edildi ve +4°C'de saklandı [98].

**10X D (20% Dekstroz):** 200 gr. D-glikoz 1000 mL suda çözüldükden sonra otoklavlandı [98].

**10X M (5% Metanol):** 5 mL. metanol ile 95 mL. su karıştırıldı ve filtré edildilten sonra +4°C'de saklandı [98].

**%10 BSA Çözetisi:** 2,5 g bovin serum albumin tartılmış ve 25 mL saf ve otoklavlanmış su ile çözülmüştür. Daha sonra çalışmalarında % 1 oranında kullanılmak üzere MM (Minimal Metanol) medya üzerine 1:10 oranında katılmıştır.

**0,1 M EDTA:** 186,12 g disodyum etilendiamintetraasetat-2H<sub>2</sub>O (Na<sub>2</sub>EDTA-2H<sub>2</sub>O, Ma = 372,24) 800 mL ddH<sub>2</sub>O ile çözülmüş ve manyetik karıştırıcı ile iyice karıştırılıp pH 8,0'a ayarlanmıştır. Daha sonra hacim 1 litreye tamamlanmıştır (son konsantrasyon 0,5 M). Bu stok slüsyonu daha sonra su ile 0,1 M'a seyreltilmiş, sonrasında çalışmalarda kullanılırken son konsantrasyonun 10 mM olması için MM büyümeye medyası üzerine 1:10 oranında eklenmiştir.

### 2.3 Petriler

LB %1 agaroz petri: 2,5 g tripton, 1,25 g yeast ekstrakt (Oxoid Ltd, England), 2,5 g NaCl, 2,5 g agaroz 250 mL saf su ile karıştırıldıktan sonra 1 M NaOH ile pH ayarlanmış ve otoklavlanmıştır.

LB Agar petri: : 2,5 g tripton, 1,25 g maya ekstrakt (Oxoid Ltd, England), 2,5 g NaCl, 3,75 g agar (Bie & Berntsen, USA) 250 mL saf su ile karıştırıldıktan sonra 1 M NaOH ile pH ayarlanmış ve otoklavlanmıştır. Daha sonra petri kaplarına dökülmüştür.

### 2.4 Çalkalamalı kültürlerde protein ekspresyonu

Bu çalışmada daha önceki çalışmalarda pPICZ $\alpha$ -A vektörü ile transforme olmuş *P. pastoris* x-33 suşları kullanılmıştır. Ön kültür olarak 25 mL MED medya içinde 20 saat 30 °C'de büyümeye bırakılmışlardır. Daha sonra hücreler 3000 g'de 5 dk. santrifüj edilecek toplanmıştır. Hücre çökeltisi 100mL MM medya ile çözülmüş ve 20°C de 250 rpm'de 2 litrelilik set yüzeyli erlenlerde (buffled flask) inkübe edilmişlerdir (Ana kültür). Aşağıda belirtilmiş olan bazı deneylerde 100 mM fosfat tampon veya 100 mM asetat tamponu kullanılmıştır. Bu tamponlar farklı pH'lerde büyümeye kültürü elde etmek için kullanılmıştır. Bunun haricinde yine bu çalışmada belirtilmiş deneylerde EDTA (10mM son konsantrasyon) veya BSA % 1 son konsantrasyon) gibi katkılar büyümeye kültürüne eklenmiştir. Rekombinant krabrolinin ekspresyonu metanolün eklenmesi ile teşvik edilmiştir. Metanol eklenme zamanı ve miktarı aşağıdaki tabloda gösterilmiştir (Tablo 2.1). Buna haricinde 12 ve 24 saatte de bir metanol eklenmiştir. 99 saat sonra ekspresyon kültürü 5000 g'de 10 dk. 4°C'de santrifüj yapılarak hücreler çöktürülmüştür. Buna ek olarak ekspresyon seviyelerinin kontrolü için bazı deneylerde 72 saat sonra da örneklemeye yapılmıştır. Daha sonra süpernatant alınarak (100 mL) 50 mL'lik falkon tüplerine aktarılmış ve liyofilize edilmiştir.

## 2.5 Peptidin saflaştırılması

1.5 mL. ddH<sub>2</sub>O (4°C) daha öceden liyofilize yaptığımz ekspresyon kültürü (bu aşamada toz halinde bulunur) bulunan 50 mL'lik falkon tüplerine eklendi. Daha sonra bu protein tozu, eklenen su ile sert bir şekilde hemen karıştırılarak çözüldü. İkinci adımda organik çözgen olarak 5 mL. 20°C dietileter kullanılarak proteinin çökelmesi sağlandı. Çökelme işleminden sonra oluşan solüsyon döner buharlaştırıcıya (RV 10 digital V, IKA, Germany) kuruması için konuldu (30dk, 125 rpm). Daha sonra artık kristalize hale gelmiş ve kurumuş toz tekrar suda çözülerek 14 mL.'lik falkon tüpe aktarılarak liyofilitatöre konulmuştur. Daha sonra bu liyofilize edilmiş tozdan 0.05 g. ve 0.1 g. tartılarak 350 µL 0.01 TFA (Trifloroasidik Asid) içinde çözülmüştür.

**Tablo 2. 1** Kullanılan metanolün zaman aralıkları ve miktarı

Zaman aralıkları [h]	Metanol miktarı [mL]
0.5	350
1.0	350
1.5	350
2.0	350
2.5	350
3.0	350
3.5	350
4.0	350
4.5	350
5.0	350
5.5	350
6.0	350
6.5	350
7.0	350
7.5	350
8.0	350
8.5	350
9.0	350
9.5	350
10.0	350
10.5	350
11.0	350
11.5	350
12.0	350
12.5	350
13.0	350
13.5	350
14.0	350
14.5	350
15.0	350
15.5	350
16.0	350
16.5	350
17.0	350
17.5	350
18.0	350
18.5	350
19.0	350
19.5	350
20.0	350
20.5	350
21.0	350
21.5	350
22.0	350
22.5	350
23.0	350
23.5	350
24.0	350
24.5	350
25.0	350
25.5	350
26.0	350
26.5	350
27.0	350
27.5	350
28.0	350
28.5	350
29.0	350
29.5	350
30.0	350
30.5	350
31.0	350
31.5	350
32.0	350
32.5	350
33.0	350
33.5	350
34.0	350
34.5	350
35.0	350
35.5	350
36.0	350
36.5	350
37.0	350
37.5	350
38.0	350
38.5	350
39.0	350
39.5	350
40.0	350
40.5	350
41.0	350
41.5	350
42.0	350
42.5	350
43.0	350
43.5	350
44.0	350
44.5	350
45.0	350
45.5	350
46.0	350
46.5	350
47.0	350
47.5	350
48.0	350
48.5	350
49.0	350
49.5	350
50.0	350
50.5	350
51.0	350
51.5	350
52.0	350
52.5	350
53.0	350
53.5	350
54.0	350
54.5	350
55.0	350
55.5	350
56.0	350
56.5	350
57.0	350
57.5	350
58.0	350
58.5	350
59.0	350
59.5	350
60.0	350
60.5	350
61.0	350
61.5	350
62.0	350
62.5	350
63.0	350
63.5	350
64.0	350
64.5	350
65.0	350
65.5	350
66.0	350
66.5	350
67.0	350
67.5	350
68.0	350
68.5	350
69.0	350
69.5	350
70.0	350
70.5	350
71.0	350
71.5	350
72.0	350
72.5	350
73.0	350
73.5	350
74.0	350
74.5	350
75.0	350
75.5	350
76.0	350
76.5	350
77.0	350
77.5	350
78.0	350
78.5	350
79.0	350
79.5	350
80.0	350
80.5	350
81.0	350
81.5	350
82.0	350
82.5	350
83.0	350
83.5	350
84.0	350
84.5	350
85.0	350
85.5	350
86.0	350
86.5	350
87.0	350
87.5	350
88.0	350
88.5	350
89.0	350
89.5	350
90.0	350
90.5	350
91.0	350
91.5	350
92.0	350
92.5	350
93.0	350
93.5	350
94.0	350
94.5	350
95.0	350
95.5	350
96.0	350
96.5	350
97.0	350
97.5	350
98.0	350
98.5	350
99.0	350
99.5	350
100.0	350

## 2.6 Krabrolinin aktivitesi ve tahlili

Krabrolin aktivitesi *E.coli* DH5 $\alpha$  suşu kullanılarak test edilmiştir. Yukarıda bahsedildiği gibi TFA'da çözülderek hazırlanan ve içerisinde belirli miktarda liyofilize protein tozu içeren solusyonlar LB agar üzerinde bu suşun inhibisyonunu gözlemlemek için kullanılmıştır. *E coli* 300  $\mu$ L. saf su içerisinde dağıtıldıktan sonra bu bakteri solusyonuna daha sonra 12 mL. %1 agaroz LB medyum eklendi. Bu medyum, sonrasında ise 9 cm. çapındaki petri kaplarına dökülüp katılaşmaya bırakıldı ve sonrasında ise 10 - 100  $\mu$ L.'lik pipet ucu kullanılarak kuyucuklar açıldı. Farklı miktarlarda (5 - 55  $\mu$ L.) hazırllanmış protein solusyonları (% 0.01'lik TFA'de 350  $\mu$ L) sırasıyla bu kuyucuklara eklendi. Petriler daha sonra 18 saat 37 °C'de inkübasyona bırakıldı. Bu süre sonrasında inkübatörden çıkarılan petriler 24 saat bekletilerek inhibisyon zonlarındaki değişimler kontrol edildi.

### **3. BULGULAR**

Daha önceden bahsedildiği gibi *P. pastoris* 'in rekombinant sistemler için yüksek miktarlarda ve farklı skalalardaki üretimler için (basit laboratuar araştırmaları ve endüstriyel üretim) kullanışlı olduğu kanıtlanmıştır. Rekombinant protein ekspresyonunda, ilgilenilen proteinin üretimine bağlı ideal koşulların belirlenmesi için yapılan deneyler kadar yöntemin belirlenmesi de o kadar gereklidir. Sunulan bu çalışmada *P. pastoris* x-33 kullanılarak krabrolinin saflaştırılması ve rekombinant ekspresyon için bir seri optimizasyon çalışması uygulanmıştır. Bu optimizasyon çalışmasında, ileriye yönelik olarak, AMP için yüksek aktivite amaçlanmıştır.

Bundan dolayı *P. pastoris* kültürleri krabrolinin ekspresyonu ve aktivitesinin optimizasyonu için çalkalamalı kültür formatında ve farklı işlem parametreleri ile test edilerek (bu parametrelerin büyümeye ve aktivite üzerindeki etkilerinin anlaşılabilmesi için) büyütülmüşlerdir.

Yapılan bir seri deneyler boyunca krabrolin aktivitesinin eldesinden *P. pastoris* x-33 ile ekspresedilmiş bazı fonksiyonel proteinlerin sorumlu olduğu farz edilebilir. Deney 2 ve 3'de saflaştırılmış proteinden elde edilemeyen aktivitenin yanında çoğu deneylerde göreceli olarak ortadan yükseğe farklı seviyelerde protein aktivitesi elde edilmiştir (deney 4, 5 ve 6). Kullanılmasıyla yüksek aktivite seviyesi veya yüksek seviyede protein miktarının elde edilmesi ile sonuçlanan deney

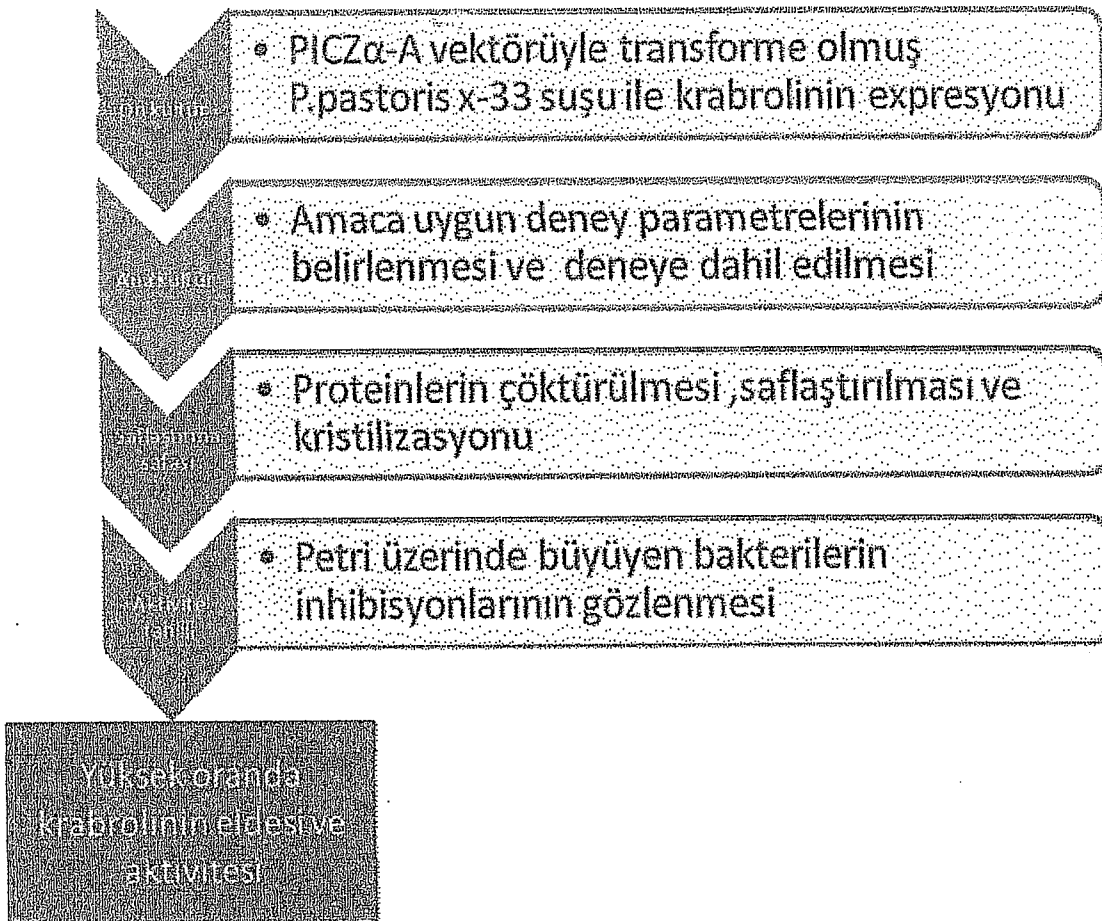
parametrelerinin varyasyonları, ileride daha yüksek miktarlardaki kültür çalışmalarının araştırılması için sınıflandırılmıştır.

Ekspresyon yöntemlerinin dizaynında seçilmiş parametreler kadar bütün deneylerin sonuçları da aşağıda ard arda gelen bölümlerde tartışılacaktır.

### 3.1 Süreç dizaynı ve parametrelerin optimizasyonu

Farklı deney parametreleri, literatürden araştırılmış ve bir ekspresyon sistemi olarak *P. pastoris* kullanılarak krabrolinin üretimi için dizayn edilmiştir. Daha önceden bahsedildiği gibi her işlem yeni bir rekombinant proteinin ekspresyonu için adapte edilmek zorundadır. Bu nedenden dolayı *P. pastoris*'de rekombinant krabrolinin ekspresyonunun optimizasyonu için her deneyde farklı bir işlem dizayn edilmiş, planlanmış ve yerine getirilmiştir.

Bu işlemlerin temel süreci aşağıdaki şekilde gösterilmiştir.



**Şekil 3. 1** Krabrolinin ekspresyonunun ve saflaştırılmasının deneysel dizaynı ve optimizasyon sürecinin safhalarının genel açıklaması. Rekombinant krabrolin ekspresyonunun *P. pastoris* x-33 suyu ile başlaması, ilgili süreç parametrelerinin ( daha önceden bahsedilmiştir) adaptasyonu ve seleksiyonu , büyümeye kültürüne salgılanmış olan proteinlerin kristalizasyonu ve son olarak antimikroiyal aktivitenin ölçülmesi.

*P. pastoris* kültürünün standart parametreleri bu çalışmada sunulan deneylerin bir bölümünde tanımlanacaktır. Rekombinant krabrolin ekspresyonunun optimizasyonu için seçilmiş parametreler, deneylerin detaylarında tartışılmadan önce bu parametreler için aşağıda kısa bir tanımlama yapılmıştır.

Bu çalışmanın amacı *P. pastoris* kültüründe rekombinant krabrolinin üretiminin en iyi şekilde elde edilebilmesi için pH, O<sub>2</sub>, karbon kaynağı (orani ve zamanı), farklı medya katıkları ve toplam bekletme zamanı gibi farklı parametrelerin optimizasyonunu yapmaktadır.

Bu parametrelerin varyasyonlarının potansiyel olarak protein üretimi ve aktivitesi üzerine etkili olduğu fark edilmiştir. Sıcaklık gibi belirli parametreler daha önceden ayarlanıp tüm deneyler süresince sabit olarak değişmeden kullanılmıştır. Diğer listelenmiş olan parametreler ise krabrolin aktivitesinin verimini ve *P. pastoris*'in kültürde büyümeye potansiyelini artırmak, potansiyellerini değerlendirmek ve kültürdeki değişimini kontrol etmek için değiştirilmiştir.

Kültür sıcaklığı tüm deneyler için 20 °C'ye düşürülmüştür. Bazı literatür çalışmalarında düşük sıcaklıkların protein ekspresyonunda daha olumlu sonuçlar verdiği kanıtlanmıştır [101]. Bunun nedeni düşük sıcaklığın yüksek sıcaklığa göre bazı avantajlarının olabileceğinin düşünülmesidir (düşük proteaz aktivitesi, hücre yaşama şansının artırılması yüksek sıcaklıklarda yanlış protein bağlanması olabilmesi ve daha yüksek sıcaklıklarda rekombinant proteinlerin stabilizesinin kaybolabilmesi gibi).

Metanol miktarı ve induksiyonu için farklı deney modellerine göre değişiklikler yapılmıştır (Tablo 2.1'e göre veya alternatif olarak her 12 ve 24 saat için). Metanol induksiyonu bir proteinin üretimindeki büyümeye oranları son derece önemlidir zira metanol yoğunluğu hem hücre yoğunluğunu hem de protein miktarını olumsuz yönde etkileyebilmektedir [87].

Burada not edilmelidir ki fermenter kültürler oksijen miktarının kontrolü (havalandırma), pH, sıcaklık gibi bundan farklı parametrelerin kontrolüne de izin verdiği için büyük avantajlar sağlamaktadır. Bizim de kullandığımız çalkalamalı kültürlerinde çoğunlukla elle kontrol yapılırken fermenter kültürler otomatik ve gerçek zamanlı olarak değişkenlerin izlenmesine ve kontrol edilmesine olanak sağlar. Bu özel durum ise deneylerdeki optimizasyon için çok önemlidir. Özellikle de benzer şekilde deneylerde sabit tutulması gereken parametreler için ayrı bir önem taşımaktadır.

Bahsettiğimiz bu nedenlerden dolayı söylenebilir ki aşağıda bahsedilen deneyler rekombinant krabrolin ekspresyonu için bir başvuru, bir giriş niteliği taşımakta ve daha geniş çapta üretimler için bir fikir vermesi amaçlanmaktadır.

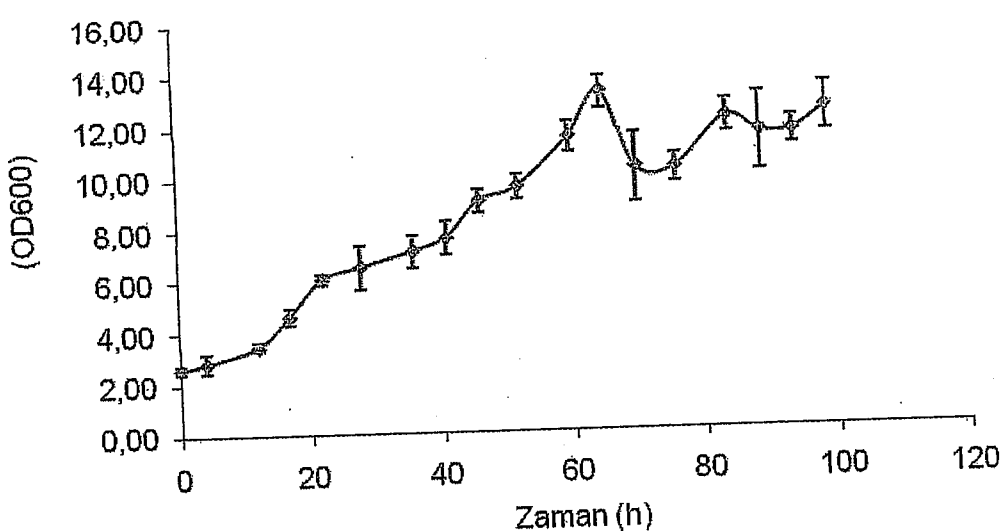
### 3.2 Krabrolinin Ekspresyonu ve saflaştırılması için optimum deneysel koşulların araştırılması

Bu deney, çalışmanın başlangıcında krabrolinin ekspresyonu ve saflaştırılması için optimum deneysel koşulların araştırılması için bir başlangıç noktası olarak işlev görmüştür. Bu deney tamamen deney sürecinde kullanılan parametrelerin varyasyonlarını içeren şekil 2.1'de tanımlanmış deney dizayının tüm adımlarına uygun olarak yapılmıştır. Bu parametrelerden bazıları sonraki deneylerde değiştirilmiştir (bölüm 3.2-3.7). Bu deneyler, parametreler değiştirildiği zaman oluşan değişikliklerin incelenmesi, gerekli ana koşulların oluşturulması ve saptanması için gerekli görülmüştür. Bu koşulların optimizasyonunun etkisi *P. pastoris*'in kültürdeki durumunun gözlenmesi ile anlaşılmıştır. Bu da OD<sub>600</sub>'de kültür örneklerinin belirli aralıklarla ölçülmesiyle mümkün olmuştur. Daha sonrasında yukarıda bahsedilen yöntemle (bkz.: 2.6) krabrolinin aktivitesi ve salgılanan protein miktarı belirlenmiştir.

Tüm deneylerde standart prosedürler takip edilmiştir. Bunları şu şekilde özetleyebiliriz; bu deneyde gliserol stoktan alınan örnekler petriye ekilmiş ve deneylerde bu örnekler kullanılmıştır. Daha sonrasında standart olarak ön kültür hazırlanmıştır (25mL MPD medya), büyümeye kültürü olarak MM medyum kullanılmış ve 20°C de standart olarak 250 rpm'de çalkalanmıştır. Ekspresyon, tablo 2.1'de listelenmiş aralıklarla kültüre metanol eklenmesiyle teşvik edilmiştir.

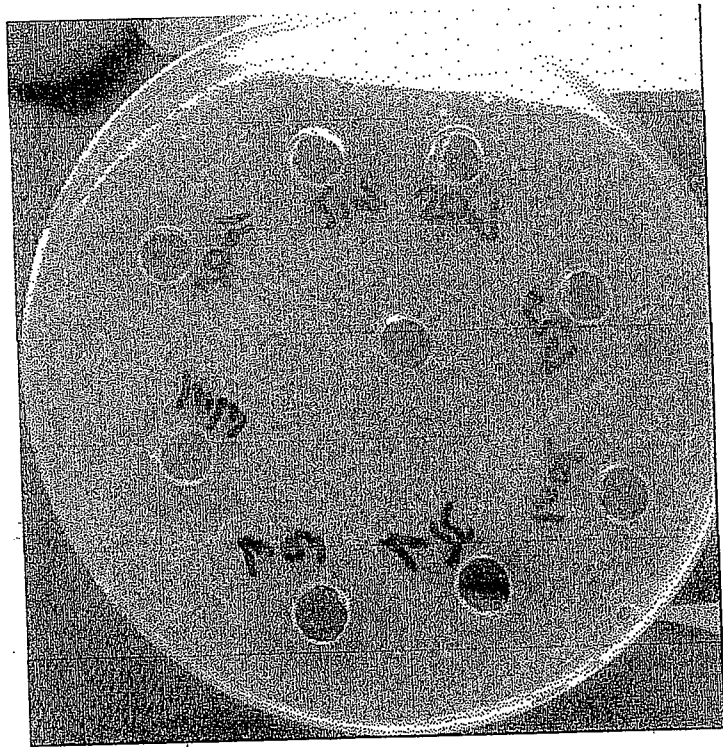
Bu deney için 4'lü paralel kültür kullanılmış ve aşağıdaki şekilde OD<sub>600</sub> ölçüm sonuçlarından oluşan grafikde *P. pastoris*'in büyümeye eğrisi gösterilmiştir. Tüm kültürler benzer büyümeye ve ufak standart sapmalar göstermiştir.

*P. pastoris* büyümeye grafiği

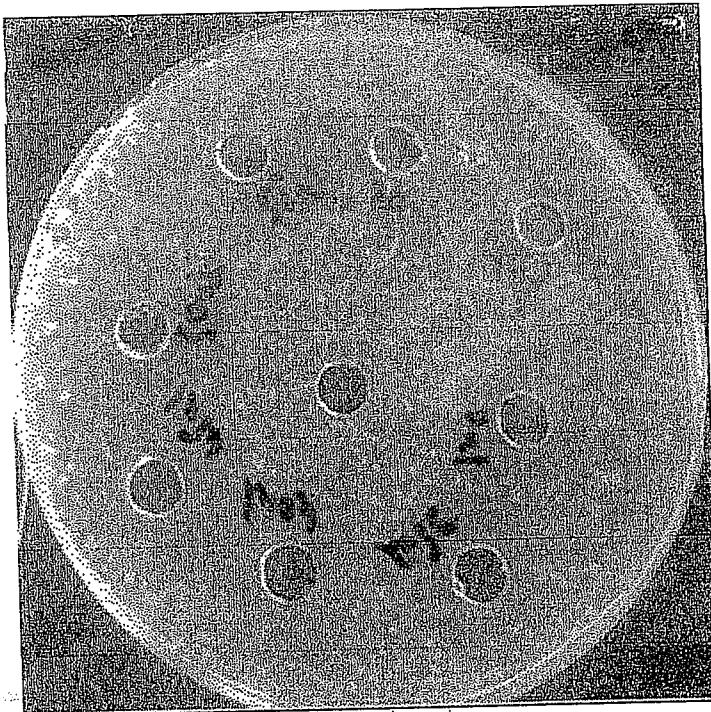


Şekil 3.2: Rekombinant krabrolin-ekspreşyon-kültüründe *P. pastoris* için büyümeye eğrisi. Süreç materyal metotta tanımlandığı gibi bu aşamada parametrelerin optimizasyonu için herhangi bir değişiklik henüz uygulanmamıştır. Metanol için zaman aralıkları tablo 2.1'e göre düzenlenmiş ve ayrıca hücre yoğunluğu OD<sub>600</sub> ölçümleri ile belirlenmiştir. Toplam kültivasyon zamanı 99 saatir.

99 saat sonra ekspresyon kültürü alınmış ve 50 mL'lik falkon tüplerine aktarılmıştır. Krabrolin ve belki de hücreler tarafından salgılanmış olan diğer proteinleri de içeren bu medya, daha sonra liyofilizatöre konulmuş ve kristalizasyonu yapılmıştır. Kristalleşen protein örneklerinden sırasıyla 0.05 ve 0.1 gr. tartılıp % 0.01 TFA ile çözülmüş daha sonra krabrolin aktivitesi gözlenmiştir. Bu süreç materyal metot kısmında ayrıntılı olarak anlatılmıştır.



Şekil 3, 3 Deney 1' e ait bir örnek. Salgılanan proteinler kristallendirildikten sonra bir protein çözeltisi son konsantrasyon  $0,143\text{mg}/\mu\text{L}$  olacak şekilde hazırlandı. Daha sonra bu çözeltiden farklı miktarlarda ( $20-55 \mu\text{L}$ ) daha önceden pipet ucu ile açılmış kuyulara aktarıldı. Deney 1'de kayda değer zon ( $20-55 \mu\text{L}$ ) daha önceden pipet ucu ile açılmış kuyulara aktarıldı. Deney 1'de kayda değer zon ( $20-55 \mu\text{L}$ ) daha önceden pipet ucu ile açılmış kuyulara aktarıldı. Deney 1'de kayda değer zon ( $20-55 \mu\text{L}$ ) daha önceden pipet ucu ile açılmış kuyulara aktarıldı. Deney 1'de kayda değer zon ( $20-55 \mu\text{L}$ ) daha önceden pipet ucu ile açılmış kuyulara aktarıldı. Deney 1'de kayda değer zon ( $20-55 \mu\text{L}$ ) daha önceden pipet ucu ile açılmış kuyulara aktarıldı. Deney 1'de kayda değer zon ( $20-55 \mu\text{L}$ ) daha önceden pipet ucu ile açılmış kuyulara aktarıldı. Resimde görülen fakat petrinin ortasında tanımlanmamış olan kuyucukda negatif kontrol olarak  $20 \mu\text{L}$   $\%0.01$  TFA kullanılmıştır.



Şekil 3.4 Deney 1 için krabrolin tayinini gösteren başka bir örnek. Bu sefer içerisinde salgılanmış proteinleri bulunduran protein çözeltisi  $0.286 \text{ mg}/\mu\text{L}$  (şekil 2.3'deki miktarın 2 katı) olacak şekilde zon hazırlanmış ve kuyulara belirli miktarlarda ( $20-55 \mu\text{L}$ ) konulmuştur. Gözlenebilir şekilde zon oluşumu  $20 \mu\text{L}$ 'den itibaren başlamıştır. Bu deneyde diğer tüm deneylerde olduğu gibi bu aşamada zon oluşumuna karşı *E. coli* DH<sub>5</sub> kullanılmıştır.

Elde edilen bu inhibisyon zonları 12-48 saat arası kontrol edilmiş ve sonunda gözle görülür bir değişim gözlenmemiştir. Kayda değer inhibisyon zonu  $0.143 \text{ mg} / \text{mL}$ . (şekil 3.3) için  $35 \mu\text{L}$ 'de 6mm. olarak tespit edilmiş ve bu zon çapı  $55 \mu\text{L}$ .ye kadar artmıştır. Öte yandan iki kat konsantrasyonda  $0.286\text{mg}/\mu\text{L}$ 'de (şekil 3.4) ise bu zon çapı  $20 \mu\text{L}$ .de başlamıştır.

İdeal olarak aynı miktarlarda krabrolin pozitif kontrol olarak eklenebilirdi fakat elde edilen protein örneklerindeki krabrolin miktarı henüz tespit edilemediğinden bunu gerçekleştirmek mümkün olmamıştır. Fakat takip eden deneylerde salgılanan protein miktarları ve krabrolin aktivitesi, optimizasyon için bir referans noktası olarak kullanılabilir. Deney 1'deki koşullar sürecin başlangıcının

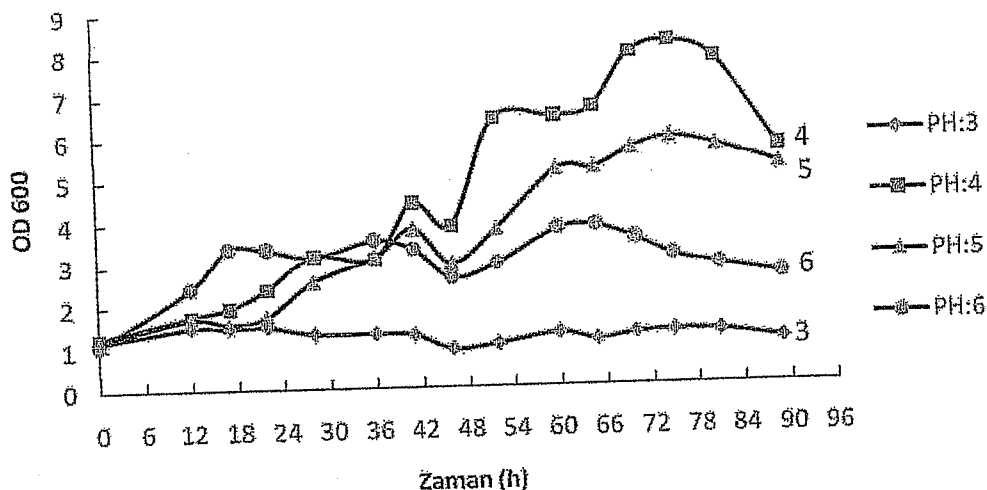
belirlenmesi ve oluşturulması, modifiye edilmemiş koşullar altında krabrolin ekspresyonunun seviyesinin ve bu sürecin stabilizesinin araştırılması için gerekliydi.

### 3.3 pH Optimizasyonu

İkinci deney optimizasyon için belirlenmiş parametrelerden pH'nın etkisini gözlelemek için yapılmıştır. 1. Deneyde pH dengede tutulmamış ve herhangi bir tampon bunun için var olan medyaya eklenmemiştir. Bu deneyde geri kalan bütün parametreler 1.deney'deki gibi düzenlenmiş sadece pH değiştirilmiştir. pH rekombinant protein üretiminde önemli olan bir parametre olarak görülmekte ve bazı literatür kaynaklarında pH'nın büyümeye ve proteoliz aktivite üzerindeki etkileri araştırılmıştır [101].

*P. pastoris* geniş pH aralığında (3-7) büyümeye yeteneğine sahiptir ve bu pH seviyelerinin hepsinde can alıcı bir fark var gibi görünmemektedir. Rekombinant protein ekspresyonu ve stabilizesi bilinen proteazların aktivitesi ile alakalıdır. Bununla beraber çeşitli pH değişikliklerinin etkisi bazı çalışmalarada gösterilmiştir [101]. Bu nedenle bu deneyde bu etkinin krabrolin ekspresyonu ve aktivitesi üzerindeki sonuçlarını belirleyebilmek için ekspresyon kültürü pH 3, 4, 5 ve 6'da test edildi. pH spesifik tamponlar (asetat tampon ve fosfat tampon bkz. Materyal metot) kullanımı ile korundu ve sabitlendi.

*P. pastoris*'in pH 3,4,5 ve 6'daki büyümeye eğrileri

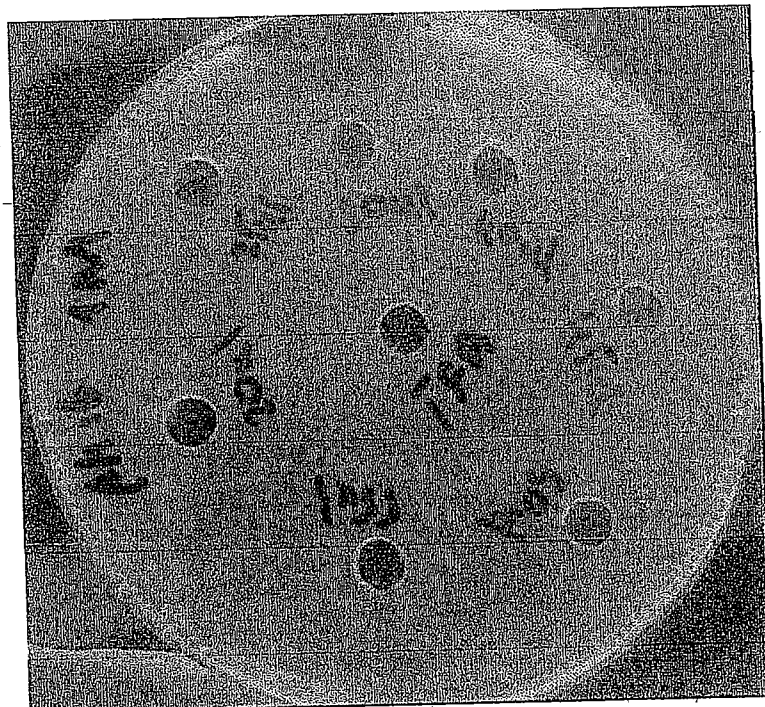


Şekil 3. 5 Farklı pH koşulları altında büyümeye kültüründeki *P. pastoris*'in büyümeye grafiği. Zaman aralıkları tablo 2.1'e göre ayarlanmıştır. Hücre yoğunluğu OD<sub>600</sub>'deki ölçümle belirlenmiş toplam deney süresi 99 saat tutulmuştur fakat grafikte ilk 90 saatin eğrisi verilmiştir. Şaşırıcı bir şekilde farklı pH'lerdeki farklı kültürler arasında büyümeye davranışları gözlemlenmiştir. Hücre yoğunlukları deney 1'de ulaşılanın ortalaması olarak yarısına ulaşabilmiştir. Bu düşük hücre yoğunluğu muhtemelen yüksek konsantrasyonda (1M) kullanılan tamponlardan doğmaktadır.

Kültürler deney 1'le benzeşik olarak hazırlanmıştır. Büyük farklılık büyümeye medyasının pH'nın stabilizasyonu için tampon içeriklerine başvurulmuş olmasıdır. Farklı pH değerleri (3, 4, 5 ve 6), krabrolin içeren protein salgılarını ve aktivitelerinin seviyesi, *P. pastoris* x-33 suşunun büyümeye davranışları üzerindeki etkilerini araştırmak için seçilmiştir. Bu deneyde her bir pH denemesi için bir erlen kullanılmıştır (toplamda 4 erlen). pH'yı ayarlamak için 1M asetat tampon türevleri kullanılmıştır. Genel olarak deneylerde pH 5 ve 6'yi elde etmek için fosfat tamponu kullanılmıştır (deney 4-6).

Bununla beraber 1M'lık bir tampon molaritesinin, büyümeye eğrisi üzerine bakıldığından, büyümeye davranışları üzerinde engelleyici bir etkisi olduğu sonucuna varılabilir fakat bu deneyde büyümeye grafiği incelendiğinde pH 3'de büyütülen

kültürdeki hücre yoğunluğunun diğer pH değerlerinde yetiştirilenlere göre gözle görülür bir farklılık olduğunu söyleyebiliriz. Tabii ki bu etki, yüksek konsantrasyondan ya da pH 3'ün rekombinant protein üretimi ve hücrenin büyümesi için uygun olmadığından olabilir. Fakat bunun doğru olup olmadığını söyleyebilmek için daha fazla deneme yapılması gerekmektedir. Sonuç olarak bu deneyde herhangi bir inhibisyon zonu gözlenmemiştir. Olası nedenler yukarıda açıklanmıştır.



**Şekil 3.6** Deney 2 için krabrolin aktivitesinin belirlenmesi. Bu şekil deney 1'de olduğu gibi hazırlanan protein solüsyonunun belirli oranlarda ( $20-55\mu\text{L}$ ) petri üzerinde açılan kuyucuklara aktarılması ile oluşan sonuçları göstermektedir. Burada kullanılan çözeltinin yoğunluğu  $0.286 \text{ mg}/\mu\text{L}$  dir orta kısımda negatif kontrol için deney 1'de olduğu gibi  $\%0.01$  TFA kullanılmıştır. Burada örnek olarak pH 6'da büyütülmüş hücre örneklerinden elde edilen proteinden elde edilen sonuçlar gösterilmişse de pH 3, 4 ve 5 için de sonuçlar aynıdır yani herhangi bir inhibisyon zonu gözlenmemiştir.

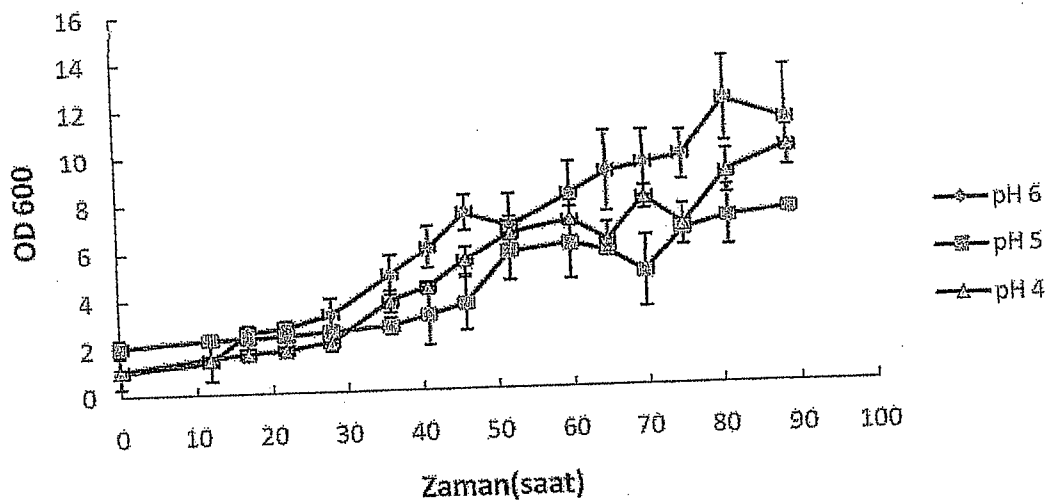
#### 3.4 Tampon Optimizasyonu

Üçüncü deney serisi bir önceki deneyde yüksek konsantrasyonda tampon kullanılması ve bunun sonucunda da muhtemelen protein aktivitesinin ve hücre

büyümesinin inhibisyonuna neden olduğu için bir nevi tekrar niteliği taşımaktadır. Bu deneyde tampon konsantrasyonu 100mM'a düşürülmüştür. Buradaki amaç konsantrasyonun inhibisyonaya neden olup olmadığını teyit etmek ve sadece pH'nın rekombinant krabrolin proteini üzerindeki etkisini gözleyebilmektir. Bu deneyde her bir pH için 4 erlenle çalışılmıştır. Diğer deneyden farklı olarak pH 3'ün başarı olasılığı düşük olduğu için bu deneyden çıkarılmıştır.

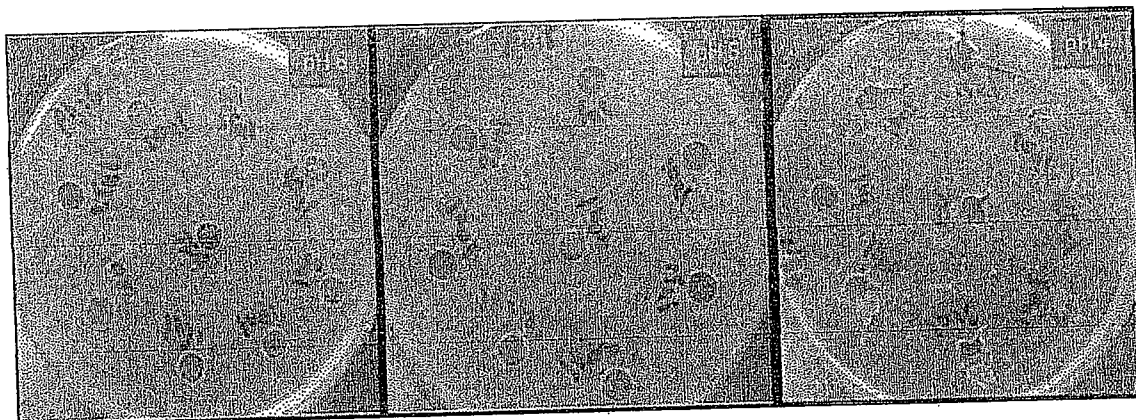
Ayrıca diğer bir kritik faktör olarak protein ekspresyonunu artırmak için gaz değişikliğini ve havalandırmayı artırmak bu deneyden itibaren düşünülmüştür. Bunun için diğer 2 deneyde kullanılan normal erlen yerine literatür kaynaklarında da havalandırmayı %20 oranında artırdığı düşünülen özel set yüzeyli erlen (bubble flask) erlenler kullanılmıştır [102]. Respirasyonel büyümeye ve metabolizma için oksijenin genel önemi yanında çalkalamalı erlen kültürleri oksijen-limitli koşulların oluşmasına neden olur ki geniş çaplı üretimlerin yapılabildiği fermenter kültürlerde daha fazla miktarda üretimin olmasının nedenlerinden biri de oksijen gibi önemli değişkenlerin devamlı olarak ortama girebilmesi ya da kontrolüdür.

*P. pastoris*'in farklı pH'lardaki büyümeye grafiği



Şekil 3. 7 Farklı pH koşulları altındaki büyümeye kültüründeki *P. pastoris* için büyümeye eğrisi. Zaman aralıkları tablo 2.1'e göre düzenlenmiştir. Toplam süre 99 saat olup her bir pH değeri için 4 erlenle çalışılmış ve test edilmiş ve standart sapma eğrileri oluşturulmuştur. Deney 2'ye kiyasla farklı pH'lerdeki büyümeyede bir artış meydana gelmiş fakat deney 1'le kıyaslandığında büyümeyenin doğal bir seyir izlediği görülmektedir.

Her üç pH değeri için büyümeye davranışları 1. deneye benzerlik göstermiştir. pH 5 için hücre yoğunluğu diğer iki pH değerine göre nispeten düşük olmuştur. Diğer yandan yapılan 2. deneydeki gibi büyük farklılıklar oluşmamıştır. Hücre yoğunluğunun artmasına rağmen (2. deneye göre) kristallendirme basamağından sonra krabrolin aktivitesi net olarak gözlenmemiştir. Net olarak dememizin sebebi inkübasyondan sonra incelenen petrilerin bazlarında zon izleri gözlenmiş fakat standart inkübasyon süresi içerisinde bu zonlar kaybolmuştur.



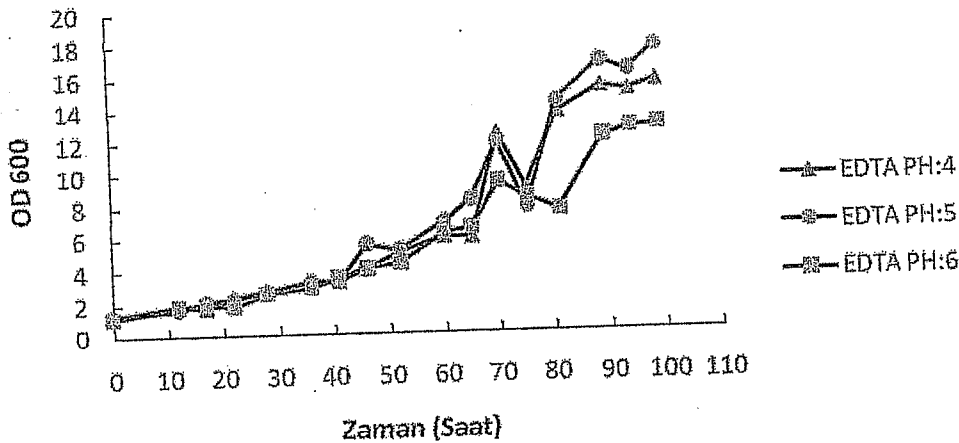
**Şekil 3. 8** Deney 3 için krabrolin aktivitesinin belirlenmesi. Bu şkller deşik pH'ler için 0.286 mg/µL yoğunluğa sahip protein solüsyonlarından elde edilen sonuçları göstermektedir. Hiçbir örnekte inhibisyon zonu gözlenmemiştir. Buda krabrolin aktivitesini inhibe eden başka bir faktörün halen sonuçları etkilediğini göstermektedir.

Bu sonuçlar, krabrolin ekspresyonunu ve aktivitesini etkiliyor olan diğer faktörlerin varlığına işaret etmektedir. Bu faktörlerden biri de sıkılıkla literatürde tartışılan proteazların varlığıdır [98]. Bir sonraki deney serisinde de bu sorunun üstesinden gelmek için nasıl bir yaklaşım getirilebileceği üzerinde durulmuştur.

### **3.5 Proteazların İnhibe Edilmesi İçin Spesifik Olmayan İnhibitörlerin Kullanılması**

3.Deney'de yapılan pH değişikliğine rağmen krabrolin aktivitesinde önemli bir değişiklik görülememesi üzerine 4. Deneyin yapılmasına karar verilmiştir. Bu deney boyunca düşük krabrolin aktivitesinden dolayı sınırlayıcı faktörler belirlenmeye ve açıklanmaya çalışılmıştır. Bu faktörler ekspresyon veya aktivite üzerindeki negatif ya da pozitif etkilerine göre elenebilirler ya da artırılabilirler. Bu faktörlerden biri de literatürde sıkılıkla üzerinde söz edilen proteazlardır [87, 98]. Proteolizisi kontrol etmek için zaten standart olarak düşük sıcaklık (20°C) ta inkubasyon yapılmaktaydı fakat bu deneyde bunun yanında farklı olarak protein stabilitesini artırmak ve proteazları inhibe eden içeriklerde proteazları kontrol etmek için EDTA kullanılmıştır.

EDTA'lı kültürde farklı pH'lardaki  
büyüme eğrileri



Şekil 3. 9 Medya katkısı olarak EDTA'nın kullanıldığı farklı pH koşulları altında büyümeye kültüründeki *P. pastoris* için büyümeye grafiği. Metanol induksiyonu için zaman aralıkları ve ölçümüleri tablo 2.1'e göre yapılmıştır. Toplam zaman 99 saatdir. EDTA'nın eklenmesi son hücre yoğunluğu ve yüksek büyümeye oranının yakalanmasında etkileyici bir faktör olarak görülmektedir. pH 6 için  $OD_{600}$  = 13 degeriyle deney 1'le benzerlik göstermektedir. pH 4 ve 5 için, hücre yoğunluğu biraz daha yüksek ölçülmüştür ( $OD_{600}$  = 15 ve 18). Bu deneydeki her bir pH deneyi bir örnek ile temsil edilmektedir. Böylece deney 5 (şekil 2.10 ve 2.11) bu deney için bir pozitif kontrol niteliği taşımaktadır.

İlaveler (EDTA, BSA ve kazamino asit gibi), kültür deneyleri için önemli rol oynamaktadırlar. Dördüncü deney serisinde EDTA bir katkı olarak seçilmiştir. EDTA'nın belli enzimler için ve proteazlar için inhibisyon gösterebildiği bilinmektedir [103]. pH değişiklikleri henüz proteaz aktivitelerinden dolayı etkileri net olarak gözlenememiştir.

EDTA'nın kullanımı (son konsantrasyon 10mM) krabrolin aktivitesi ve yüksek hücre yoğunluğu açısından düşünüldüğünde bu deneyde önemli bir gelişme göstermiştir. Hücre yoğunluğu pH 6 için  $OD_{600}$ 'de 13'e, pH 4 ve 5 için  $OD_{600}$  değerleri 15 ve 18'lere kadar yükselmiştir. Bu değerler genel olarak EDTA'nın kullanılmadığı deney 1,2 ve 3'e göre daha yüksektir. Bununla beraber ekspre olmuş protein dengesi ile karşılaştırıldığında önemli derecede hücre büyümesi üzerinde bir etki meydana çıkarmamıştır. Kayda değer krabrolin aktivitesi kültür için EDTA'nın kullanımı ile elde edilmiştir.

Minimal inhibisyon zonu sağlanmış proteinleri içeren solüsyonların en düşük hacmi için buraya kadar bir gelişme kaydedilememiştir. 0,143 mg/ $\mu$ L. için pH 6'da minimal zon 25  $\mu$ L.'de başlamış ve çap ise 10 mm. olarak kaydedilmiş, 0,286 mg/ $\mu$ L. için ise minimal zon 15  $\mu$ L.'de başlamış ve 11 mm. olarak ölçülmüştür. pH 5 için 0,143mg/ $\mu$ L. ve 0,286 mg/ $\mu$ L. konsantrasyonlarında sırasıyla minimal zon 20  $\mu$ L.'de 5 mm, 30  $\mu$ L.'de 8mm ve 15  $\mu$ L. minimal zon 4 mm. olarak ölçülmüştür.

pH 4 için örnek ölçümü yapılamamıştır. Hücre yoğunluğu ufak farklılıklar gösterirken (OD<sub>600</sub> 15 ve 18) pH 5 ve 6 için büyük bir değişiklik minimal zon açısından bulunamamıştır.

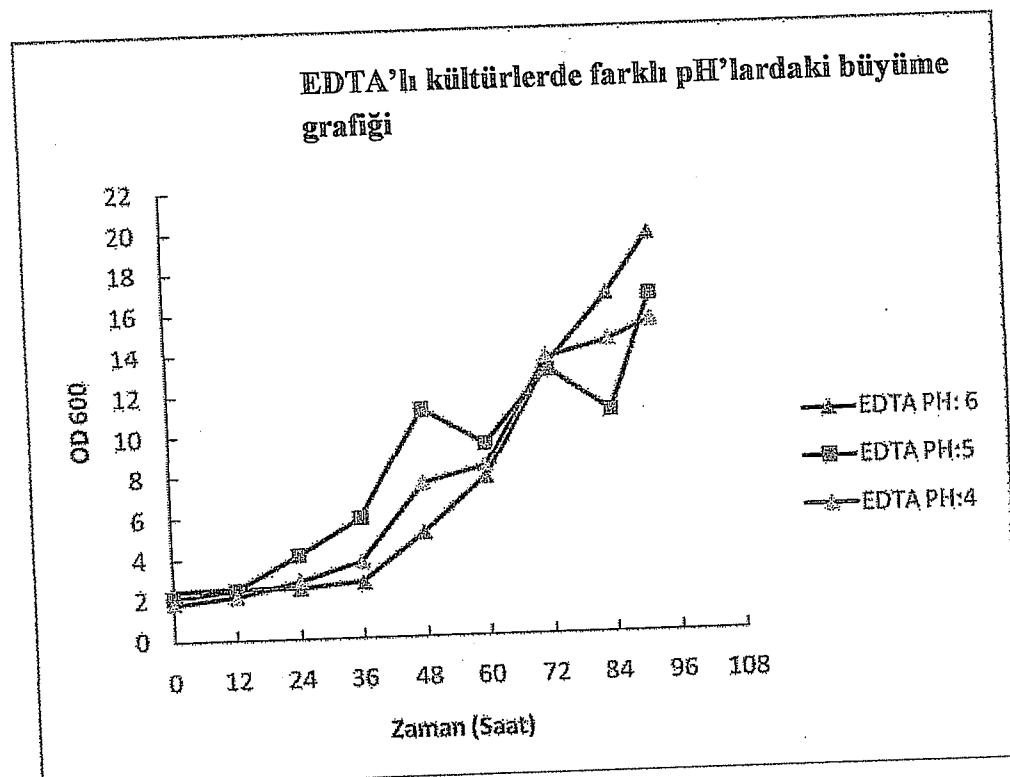
pH'nin hücre büyümesi üzerinde muhtemel bir etkisi olabilir fakat en öncelikle EDTA'nın kullanılmasıyla engelleyici aktivite elde edilmiştir. Set yüzeyli erlen kültürlerde deney 5'de araştırılmıştır.

### **3.6 Proteazların inhibisyonu için BSA'nın Denenmesi**

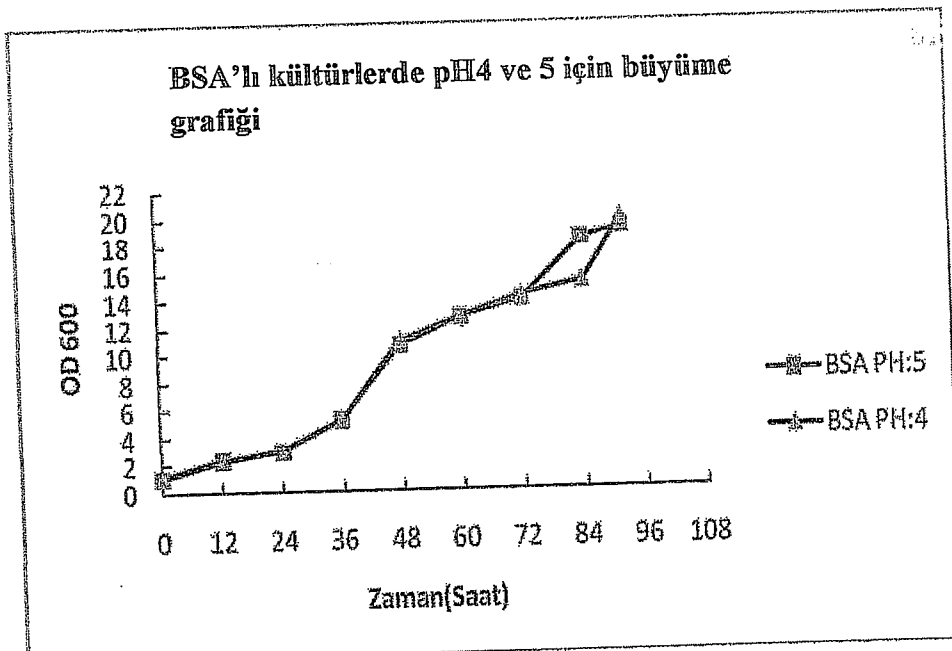
Deney 5'in amacı deney 4'de elde edilmiş sonuçların yeniden elde edilmesi ve optimizasyonudur. Bu deneyde pozitif sonuçların alınabilmesi için EDTA'dan farklı olarak BSA (sığır serum albümü) de kullanılmıştır. BSA'nın burada kullanılış amacı EDTA ile aynı olup proteazların aktivitesini inhibe etmektir. Bu deneyde 3 erlen EDTA için ve 2 erlen BSA için kullanılmış ve kültüre sokulmuştur.

Ek olarak zaman aralıkları ve metanol miktarı değiştirilmiş metanol indüklemeye zamanı 12 saatte bir olarak sabitlenmiş ve her 12 saatte bir 1 mL. metanol kullanılmıştır. Dahası toplam zaman olan 99 saatte ek olarak 72. saatte kültürlerden örnek alınmış ve bu iki zaman aralığında aktivite farkının olup olmadığı gözlelmeye çalışılmış, böylece ideal aktivite zamanının belirlenmesi amaçlanmıştır.

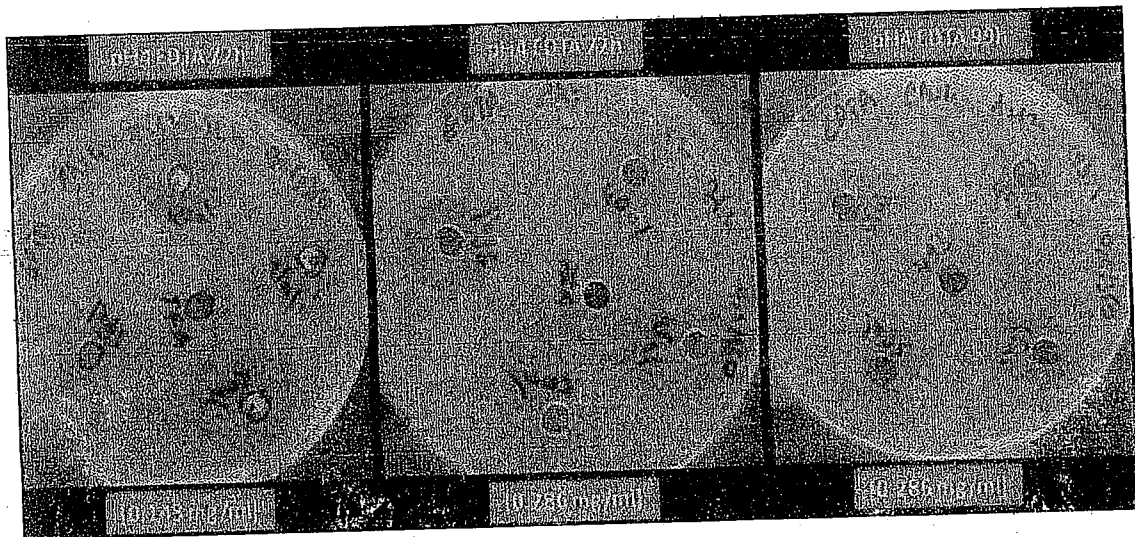
Aşağıdaki şekillerde EDTA ile pH 4, 5 ve 6 ile büyütülen kültürlerin ve BSA ile pH 4 ve 5'de büyütülen kültürlerin büyümeye grafikleri verilmiştir.



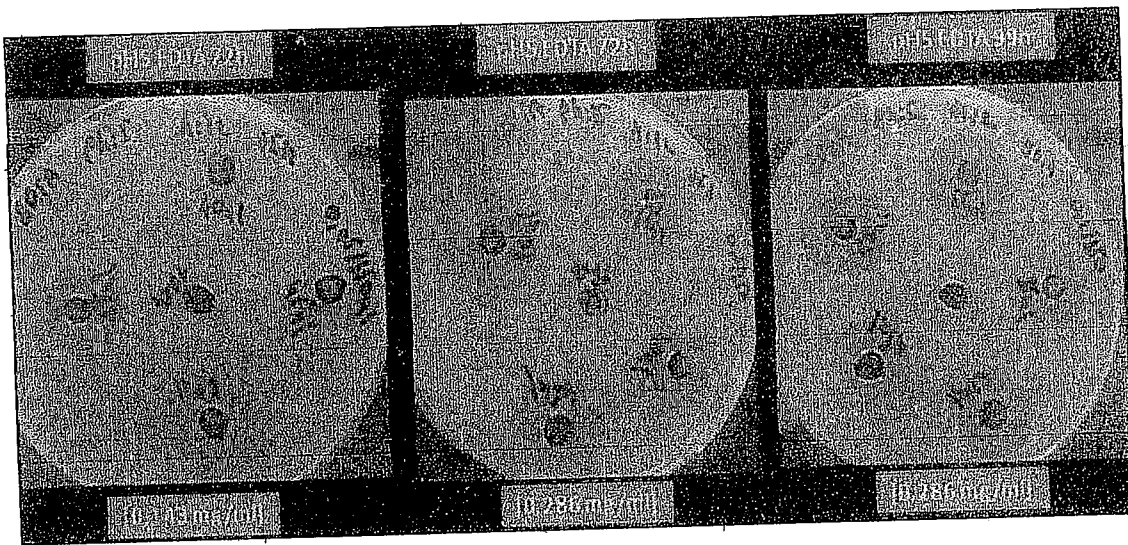
Şekil 3. 10 Medya katkısı olarak 10mM EDTA'nın kullanıldığı ve pH 4, 5 ve 6'da büyütülen *P. pastoris* kültürü için büyümeye grafiği. Metanol induksiyon zamanı ve metanol miktarı tablo2.1'den farklı olarak, her 12 saatte bir 1 mL metanol kültüre eklenmiştir. Kültür toplam 99 saat sonra toplanmış fakat 72. saatte kontrol için örnek alınmıştır. Deney 5'deki büyümeye gidişatı deney 4'le yüksek derecede benzerlik göstermektedir. Farklı-pH-koşulları altındaki kültürlerde yine önemli bir farklılık gözlenmemiştir.



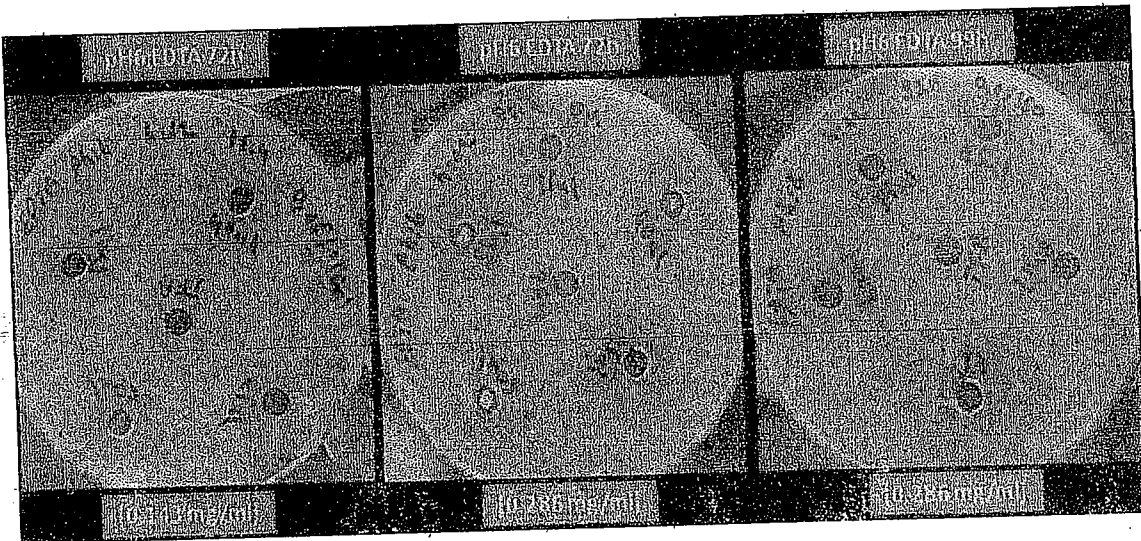
Şekil 3. 11 Medya katkısı olarak %1 BSA katılmış ve pH 4 ve 5 de yetiştirilen *P. Pastoris* kültürünün büyütme grafiği. Metanol induksiyon zamanı ve toplama zamanı EDTA ile yapılan deney ile aynıdır (şekil 3.10). Burada hücre yoğunluğu BSA kullanılmayan çalışmalara göre biraz daha yüksek bulunmuştur fakat buna rağmen pH 4 ve 5 arasında kayda değer bir farklılık gözlenmemiştir.



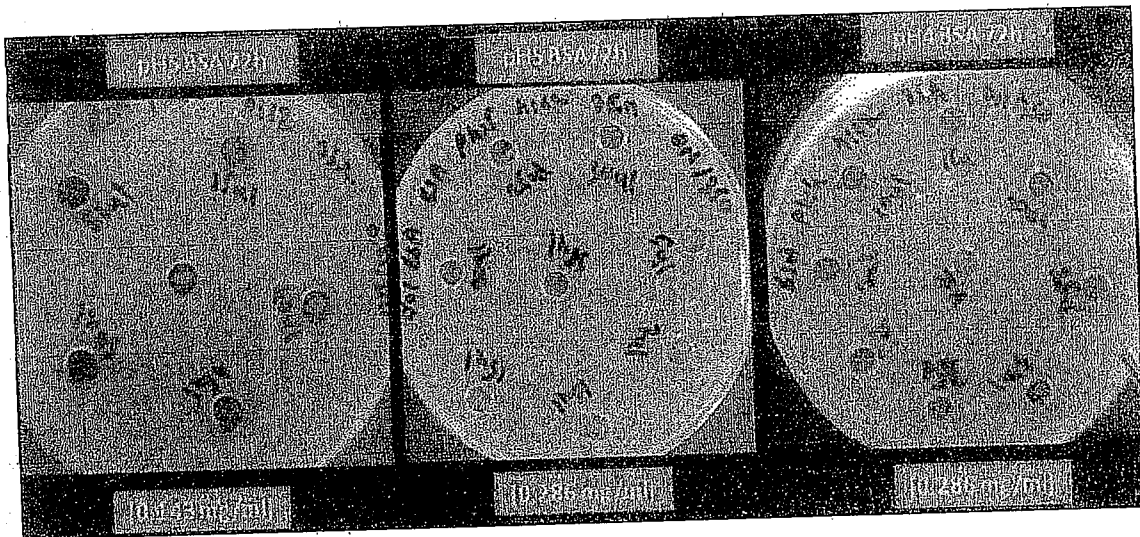
Şekil 3.12 pH4 için Deney 5'e ait sonuçlardan bazıları. Yukarıdaki şekilde EDTA'lı kültürden pH 4 de büyütülmüş kültürden oluşan örneklerin gösterdikleri aktiviteler görülmektedir. Krabrolin içeren salgılanmış protein ile hazırlanan protein çözeltisi 2 farklı konsantrasyonlarda ve farklı hacimlerde (20-55) petrilerdeki kuyucuklara aktarılmıştır. Bunlar sırasıyla 0.143 (sol) ve 0.286 (orta) mg/ $\mu$ L ve aynı konsantrasyondaki 99 saat sonrasında alınan örnekten çıkan sonuc (sağ) büyük inhibisyon zonları 72 saat sonrasında elde edilmiş (1. ve 2. petri) ve bu sonuç 99 saat sonrasında alınan örneklerdede (petri 3) devam etmiştir. Minimal zon 6 mm çap ile 20  $\mu$ L 0.143 mg / $\mu$ L'de başlarken 0.286 mg / $\mu$ L'de ise 5 mm çap ile 10  $\mu$ L'de başlamıştır. (burada resimler gösterilmemiştir)



**Şekil 3.13** pH 5 için Deney 5'e ait sonuçlardan bazıları. İki farklı konsantrasyonda protein çözümleri petrilere aktarılmıştır;  $0.143 \text{ mg } / \mu\text{L}$  (sol) ve  $0.286 \text{ mg } / \mu\text{L}$  (orta ve sağ). Farklı hacimlerde ( $20-55 \mu\text{L}$ ) denenmiş ve petrilerin ortalarına negatif kontrol olarak  $20 \mu\text{L} \%0,01$  TFA çözümleri kullanılmıştır. Büyük inhibisyon zonları, 72. saat sonra alınan örneklerde başlamış (petri çözümleri korunmuş ve minimal zon çapları sırasıyla  $25 \mu\text{L}$  için  $10 \text{ mm}$ ,  $0.143 \text{ mg } / \mu\text{L}$ 'de,  $5 \mu\text{L}$  için  $5 \text{ mm}$ ,  $0.286 \text{ mg } / \mu\text{L}$ 'de ölçülmüştür (resimler gösterilmemiştir).



**Şekil 3.14** pH 6 için Deney 5'e ait sonuçlardan bazıları. Buradaki örneklerde 2 farklı konsantrasyonla  $0.143 \text{ mg } / \mu\text{L}$  (sol),  $0.286 \text{ mg } / \mu\text{L}$  (orta ve sağ) ve farklı hacimlerle ( $20-55 \mu\text{L}$ ) temsil edilmektedir. Negatif kontrol olarak standart olarak kullanılan  $20 \mu\text{L} \%0,01$  TFA petrilerin merkezindeki kuyucuklara konulmuştur. Diğer pH'larda olduğu gibi bu pH değeri içinde büyük inhibisyon zonları elde edilmiştir. Bu zonlar 99. saat için 50 (sol) de başlamış ve zon çapı  $10 \text{ mm}$  olarak  $0.143 \text{ mg } / \mu\text{L}$  de,  $0.286 \text{ mg } / \mu\text{L}$  konsantrasyonda ise  $30 \mu\text{L}$ 'de  $10 \text{ mm}$  zon çapı ölçülmüştür (petri resimleri gösterilmemiştir).



**Şekil 3.15** %1 BSA'lı kültürde büyütülmüş *P. pastoris*'den elde edilen krabrolin aktivitesinin tayini ve deney 5'e ait bazı sonuçlar. Bu resimler BSA'lı kültür ortamında farklı pH (pH4 ve pH 5) koşulları altında büyütülmüş kültürlerden elde edilen protein aktivitelerini göstermektedir. Bu deneyde de 2 farklı konsantrasyonda (0.143 ve 0.286 mg / $\mu$ L) ve farklı hacimlerle (20-55  $\mu$ L) çalışılmıştır. Negatif kontrol olarak petrilerin merkez kuyucuklarına standart olarak kullanılan 20  $\mu$ L %0.01TFA solusyonu aktarılmıştır. Büyük inhibisyon zonları bu deneyde de 72 saatte elde edilmiştir (99. saatte elde edilen örnekler laboratuar çalışmaları sırasında kaybolmuştur). Minimal inhibisyon zonları 72 saat için pH 5'de 35  $\mu$ L için 6 mm 0.143 mg / $\mu$ L de (petri 1) ve 20  $\mu$ L 12 mm zon çapı 0.286 mg / $\mu$ L de (petri 2) ölçülmüştür. pH 4 için ise 0.143 mg / $\mu$ L de 30  $\mu$ L de 7 mm ve 0.286 mg / $\mu$ L için 20  $\mu$ L de 10 mm (petri 3) zon çapı ölçülmüştür.

Bu deney serisinde zaman aralıklarının 12 saatte ayarlanması deney sürecinin kontrolünü kolaylaştırmış ve hata payını asgari düzeye indirmiştir. Yeni metanol induksiyon zamanından kaynaklanan herhangi bir dengesizlik gözlenmemiştir. Öte yandan deney 5 serisinde yüksek seviyede krabrolin aktivitesi elde edilmiştir. Buna ek olarak 72. saat noktası önceki değişmeyen ve standart olarak sürdürülken 99 saatlik deney süresine alternatif olması ve böylece deney süresinin azaltılması yönünde bir adım olarak düşünülmüş ve bu iki süre arasındaki değişimler izlenmeye ve yorumlanmaya çalışılmıştır. Bu deney için verilen özette olduğu gibi henüz metanol zamanının ve miktarının değişiminden kaynaklanan etkiler teyit edilmemiştir.

72. saatler için BSA ve EDTA kullanımından kaynaklanabilecek herhangi bir önemli farklılık gözlenmemiştir. Diğer yandan BSA'lı kültürde pH 5'de 0.143 mg / $\mu$ L.'de maksimum inhibisyon zonu 55  $\mu$ L.'de 8 mm olarak ölçülmüş,

EDTA'lı kültürde 40  $\mu\text{L}$ 'deki inhibisyon zonu BSA'nın 55  $\mu\text{L}$ 'de vermiş olduğu zon çapına eşitken 55  $\mu\text{L}$ 'de 15 mm. olarak ölçülmüştür.

Minimal inhibisyon zonlarıyla alakalı olarak; 0.286 mg / $\mu\text{L}$ . için 10mM EDTA'lı kültürden elde edilen protein solüsyonunun 40  $\mu\text{L}$ .si 13 mm inhibisyon zonu gösterirken BSA'lı kültürden elde edilen protein solüsyonundan alınan 20  $\mu\text{L}$ . ise hemen hemen benzer ebatta 12mm inhibisyon zonu göstermiştir. 0.143 mg/ $\mu\text{L}$ .de hemen hemen benzer çapta minimal inhibisyon zonları elde edilmiştir. Bu benzerlik 99 saatlik zaman noktasındaki örnekler içinde söylenebilir.

Farklı pH'ler ile ilgili olarak da söylenebilcekler ise; farklı pH koşulları altında bırakılan kültürlerde kayda değer bir farklılık gidişatı deney 4'de olduğu gibi gözlenmemiştir. Krabrolin aktivitesi açısından en iyi sonuçlar pH 4'de EDTA'lı kültürden elde edilmiştir. Bu sebepten dolayı deney 6'da EDTA'nın kullanılması uygun görülmüştür.

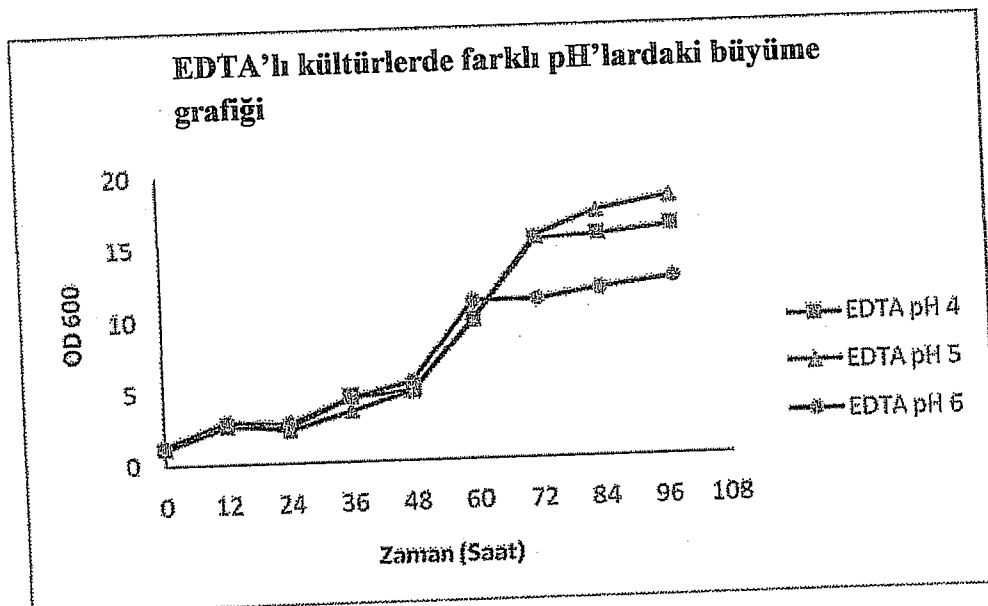
### **3.7 Havalandırmanın Arttırılması İçin Alüminyum Folyo Kullanılması**

Deney 6 serisi, deney 5'deki pozitif sonuçlar için teyit edici ve genişletici olarak geliştirilmiştir.

10 mM EDTA ile kültürasyon ilk koşul olarak yeniden üretim için seçilmiş ve bir sonraki adım olarak %1 BSA'nın kullanımı planlanmıştır fakat deneyler için verilen sürenin yeterli olmayacağından dolayı planlanan 7. deney yapılamamıştır.

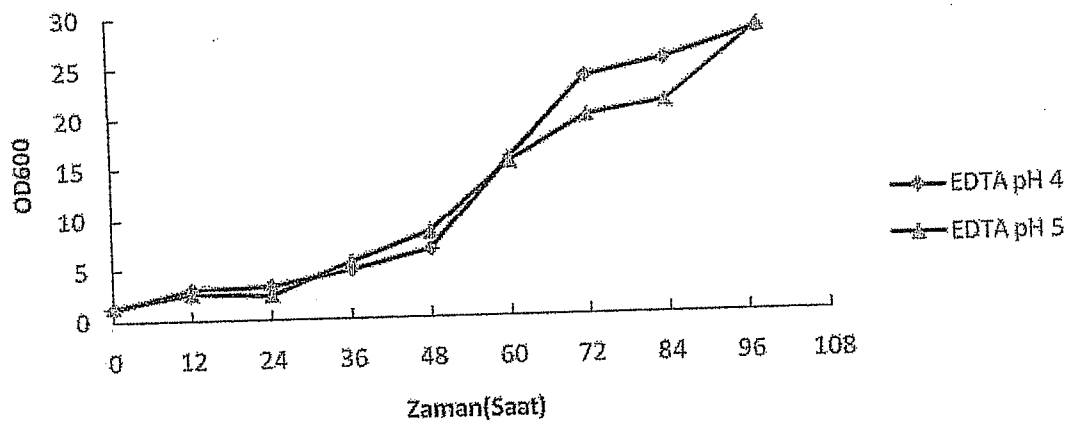
Bir önceki deneylerde kontrol edilen ve ayarlanan 10 mM EDTA'lı 5 adet çalkalamalı erlen kültür hazırlanmıştır. Bu deneyde, gaz alışverişinin arttırılarak incelenmesi amaçlanmıştır. Bunun için deneylerde kullanılan su geçirmez tipa

yerine alüminyum folyo ile erlenlerin üzeri kapatılmıştır. Hazırlanan 5 erlenin 3 tanesi bu etkinin görülebilmesi için alüminyum folyo ile diğer 2'si ise normal olarak kullanılan tipalarla kapatılmıştır.

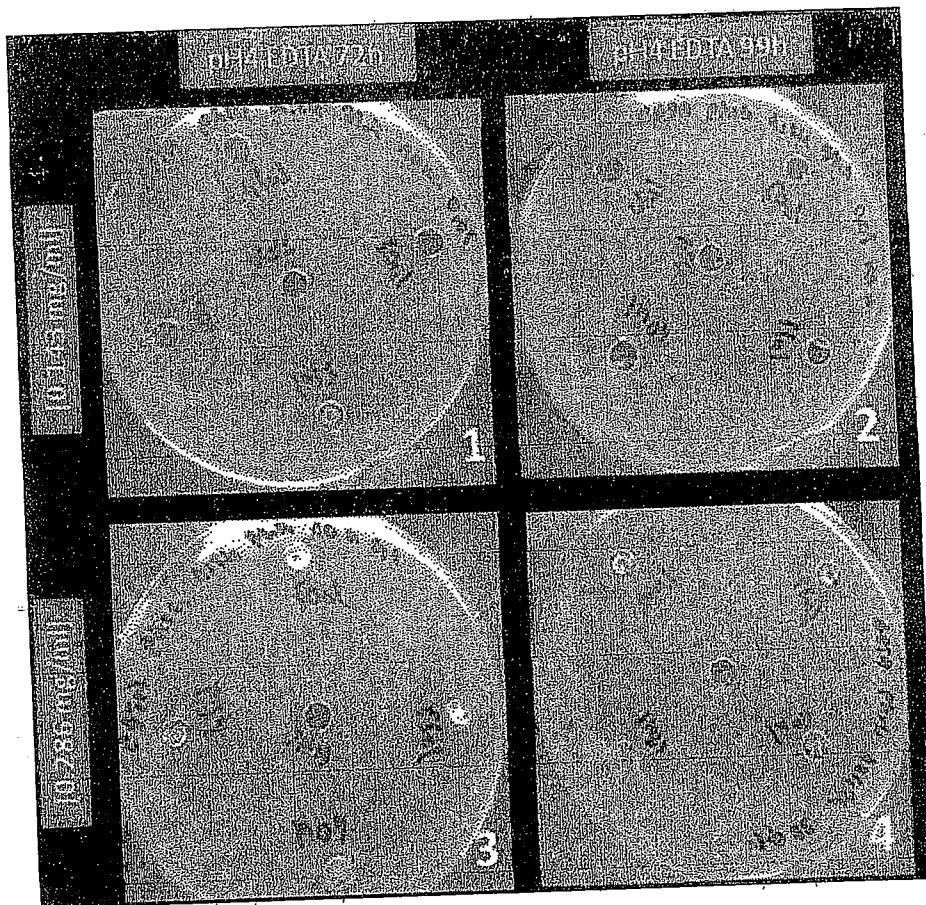


Şekil 3.16 10 mM EDTA'lı pH 4,5 ve 6 da büyütülmüş *P. pastoris* kültürleri için büyümeye eğrileri. Metanol induksiyonu her 12 saat için 1 mL olarak yapılmıştır. Büyüme gidişatı benzer koşulların olduğu noktalarda deney 5 ile uygunluk göstermiştir. Bütün pH koşulları altında yüksek hücre yoğunluğuna ulaşılmıştır (pH 4 için  $OD_{600} = 16$ , pH 5 için  $OD_{600} = 18$  ve pH 6 için az bir düşüş ile  $OD_{600} = 12$ ).

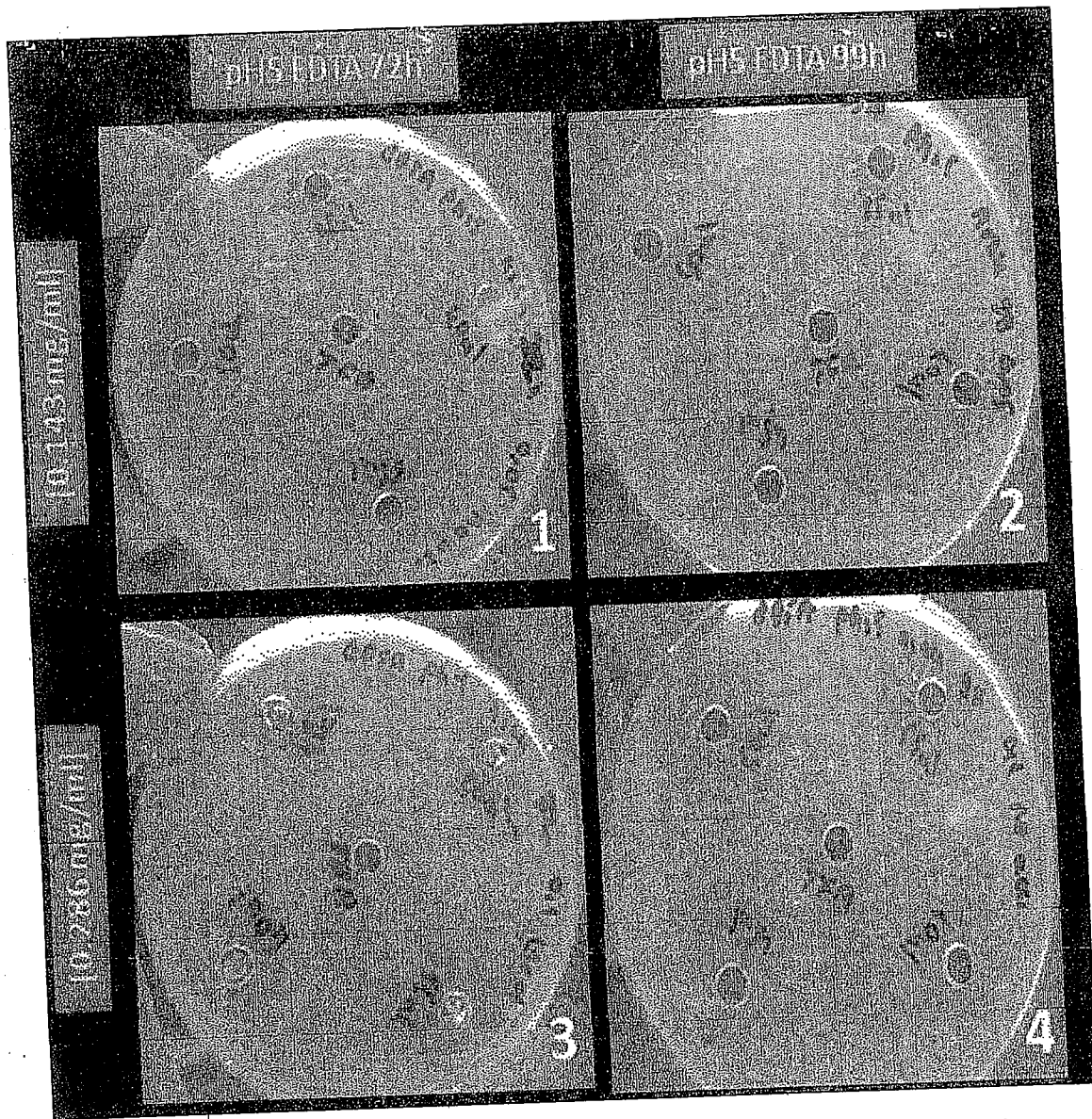
### EDTA'lı kültürlerde farklı pH'lardaki büyümeye grafiği



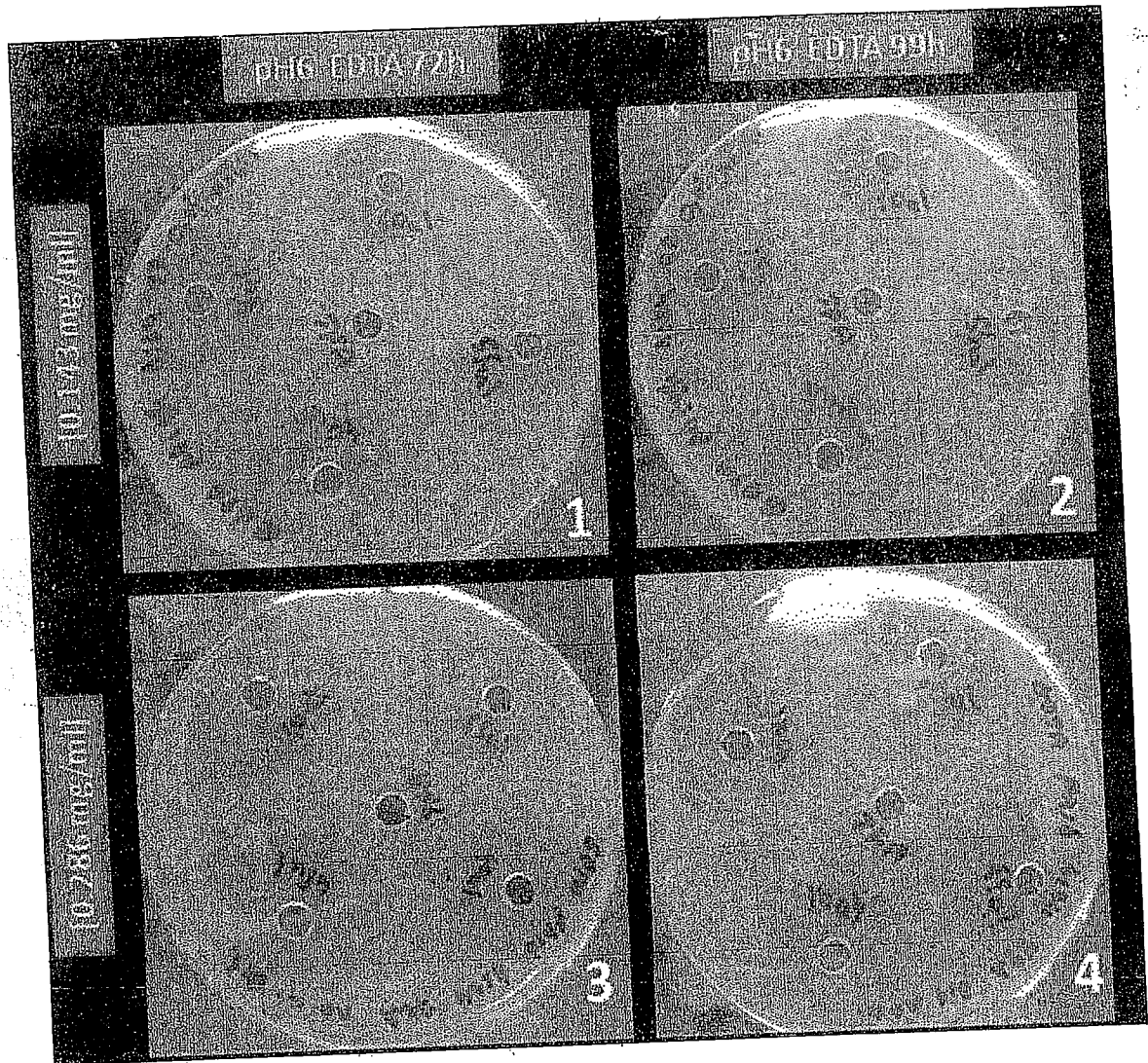
Şekil 3.17 Alüminyum folyo kullanılmış erlenlerde kültüre alınan *P. pastoris*'in büyümeye eğrisi. Büyüme davranışları her iki kültür için önemli derecede farklı göstermiş ve OD<sub>600</sub> değerleri 30'lara ulaşmıştır.



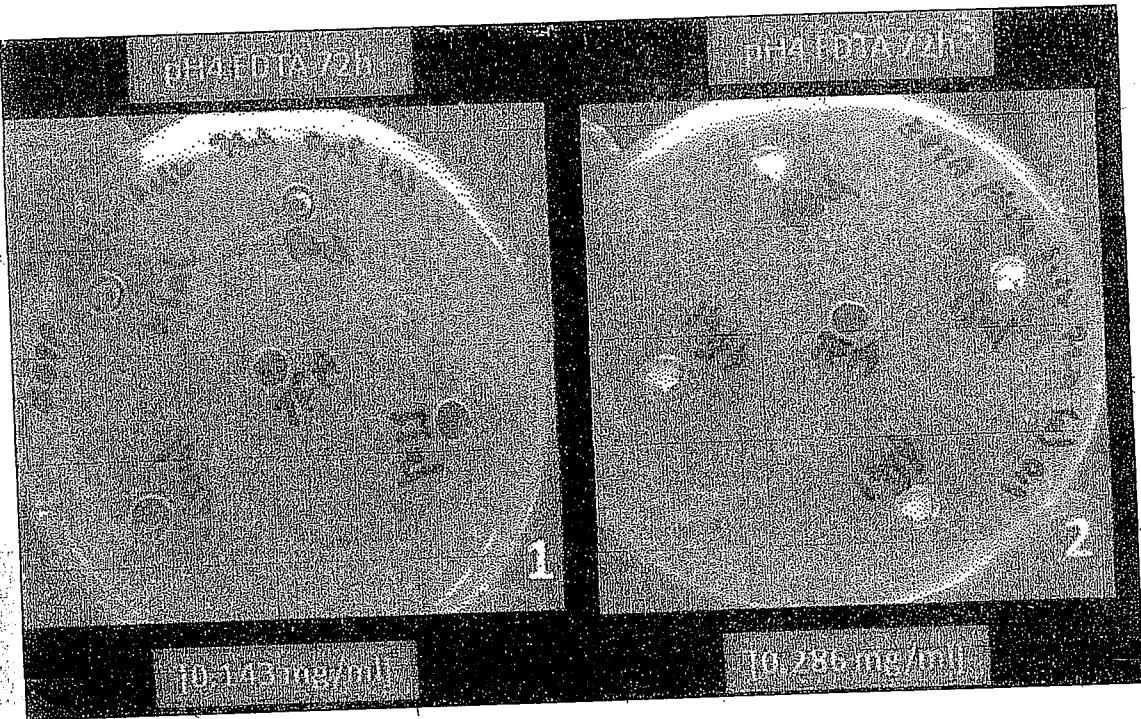
**Şekil 3.18** Deney 6'dan pH 4 için seçilen bazı petrilerin krabrolin aktivite sonuçları. İki farklı konsantrasyonda bu deney gerçekleştirilmiş ve yine farklı hacimlerle ( $5-55 \mu\text{L}$ ) aktivite gözlemlenmiştir. Yukarıda bu deneyden elde edilen sonuçların bazıları gösterilmiştir.  $0.143 \text{ mg} / \mu\text{L}$  (1 ve 2) ve  $0.286 \text{ mg} / \mu\text{L}$  (3 ve 4) şekilde gösterilen petrilerdeki kuyulara  $30-55 \mu\text{L}$  arasında hacim de protein solüsyonu uygulanmıştır. Petri merkezlerine  $\%0,01\text{TFA}$  uygulanmıştır. Minimal inhibisyon zonları tablo 3.1'de gösterilmiştir. Burada 72. ve 99. saatlerdeki maximum inhibisyon zonları gösterilmiştir.



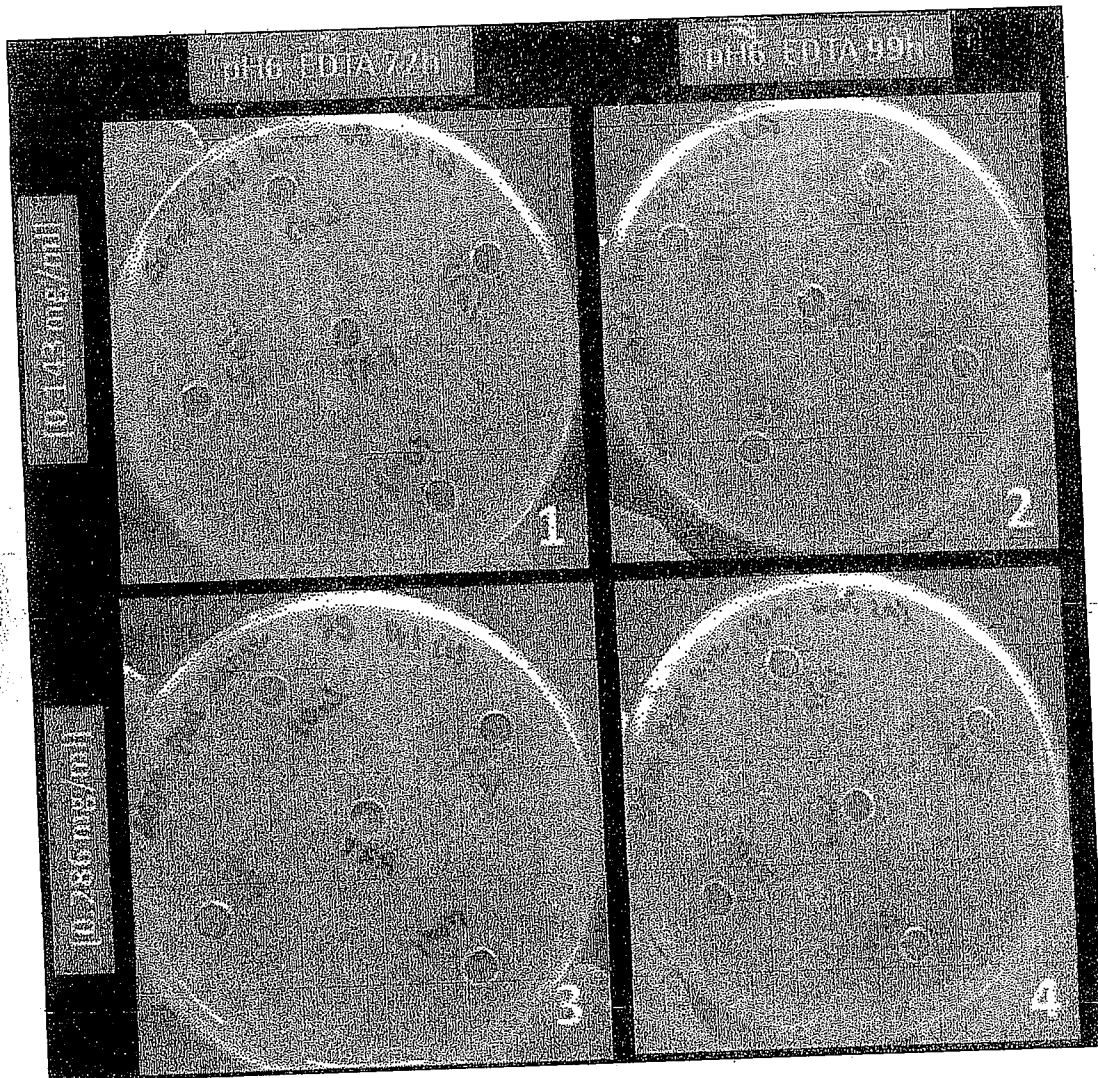
**Şekil 3. 19** Deney 6'dan pH 5 için seçilen bazı petrilerin krabrolin aktivite sonuçları. İki farklı konsantrasyonda bu deney gerçekleştirilmiş ve yine farklı hacimlerle (5–55  $\mu\text{L}$ ) aktivite gözlemlenmiştir. Yukarıda bu deneyden elde edilen sonuçların bazıları gösterilmiştir. 0.143 mg / $\mu\text{L}$  (1 ve 2) ve 0.286 mg / $\mu\text{L}$  (3 ve 4) şekilde gösterilen petrilerdeki kuyulara 30–55  $\mu\text{L}$  arasında hacim de protein solüsyonu uygulanmıştır. Petri merkezlerine %0.01TFA uygulanmıştır. Minimal inhibisyon zonları tablo 3.1'de gösterilmiştir. Burada 72. ve 99. saatlerdeki maximum inhibisyon zonları gösterilmiştir.



Şekil 3. 20 Deney 6'dan pH6 için seçilen bazı petrilerin krabrolin aktivite sonuçları. İki farklı konsantrasyonda... bu deney gerçekleştirilmiş ve yine farklı hacimlerle (5-55  $\mu$ L) aktivite gözlemlenmiştir. Yukarıda bu deneyden elde edilen sonuçların bazıları gösterilmiştir. 0.143 mg / $\mu$ L, (1 ve 2) ve 0286 mg / $\mu$ L (3 ve 4) şekilde gösterilen petrilerdeki kuyulara 30-55  $\mu$ L arasında hacim de protein solüsyonu uygulanmıştır. Petri merkezlerine %0.01TFA uygulanmıştır. Minimal inhibisyon zonları tablo 3.1'de gösterilmiştir. Burada 72. ve 99. saatlerdeki maximum inhibisyon zonları gösterilmiştir. pH 6 için EDTA'lı kültürde elde edilen sonuçlar incelenen koşullar ve parametreler ile ulaşılmış en büyük aktivitelerdir.



Şekil 3. 21 Deney 6'dan seçilen 2 petrinin krabrolin aktivitesi. Kültürler, 10 mM EDTA kullanılarak pH 4 de büyütülmüştür. Protein çözümleri 2 farklı konsantrasyonda hazırlanmış ve değişik hacimlerde petrilere uygulanmıştır. Negatif kontrol olarak petrilerin merkez kuyucuklarına 20  $\mu$ L %0.01 TFA kullanılmıştır. Minimal inhibisyon zonları tablo 3.1 de gösterilmiştir. Yukarıdaki resimlerde ise 72. saat için maximum inhibisyon zonları görülmektedir.



Şekil 3.22 Deney 6'dan seçilen bazı örneklerin krabrolin aktivitesi. Kültürler, 10 mM EDTA kullanılarak pH 6'da büyütülmüştür. Ayrıca havalandırmayı artırmak düşüncesiyle tipa yerine aliminyum folyo kullanılmıştır. Protein çözümleri 2 farklı konsantrasyonda hazırlanmış ve değişik hacimlerde petrilere uygulanmıştır. Negatif kontrol olarak petrilerin merkez kuyucuklarına 20  $\mu$ L %0.01 TFA kullanılmıştır. Minimal inhibisyon zonları tablo 3.1'de gösterilmiştir. Yukarıdaki resimlerde ise 72 ve 99. saatler için maximum inhibisyon zonları görülmektedir.

**Tablo 3.1** Deney sonuçlarının genel bir görünümü. Bu tablo deney 1-6'ya ait parametreleri ve uygulanmasına başvurulan koşulları (ilk sıra) göstermektedir. Krabrolin aktivitesi (son kolon) minimal ve maximum inhibisyon zonu esas alınarak tahmin edilmiştir (maximum inhibisyon zonları tablo içinde gösterilmemiş ve her bir deney için tanımlanmamıştır. En yüksek krabrolin aktivitesi 6.1, 6.2, 6.4 ve 6.5 numaralı deneylerde gözlemlenmiştir ve bu deneylerde 10 mM EDTA ve 100 mM tampon kullanılmıştır.

Dene y No	Metanol indiksiyon zamanı	pH [Tampon]	Katkılar	Havadan dönme zamanı [h]	Toplama zamanı [h]	Hücre Yögünüğu [OD600]	Minimal Inhibisyon Zon Çapı (0,143 mg/ml.)	Minimal Inhibisyon Zon Çapı (0,286 mg/ml.)	Activite
1.1	Tablo 1.1	pH 6 [1M asetat tamponu]		99	1	20110K	zon yok	zon yok	
1.2	Tablo 1.2	pH 5 [1M asetat tamponu]		99	1	20110K	zon yok	zon yok	
1.3	Tablo 1.3	pH 4 [1M asetat tamponu]		99	1	20110K	zon yok	zon yok	
2.1	Tablo 2.1	pH 6 [1M asetat tamponu]		99	1	20110K	zon yok	zon yok	
2.2	Tablo 2.2	pH 5 [1M asetat tamponu]		99	1	20110K	zon yok	zon yok	
2.3	Tablo 2.3	pH 4 [1M asetat tamponu]		99	1	20110K	zon yok	zon yok	
2.4	Tablo 2.4	pH 6 [1M fosfat tamponu]		99	1	20110K	zon yok	zon yok	
2.5	Tablo 2.5	pH 5 [1M fosfat tamponu]		99	1	20110K	zon yok	zon yok	
2.6	Tablo 2.6	pH 4 [1M fosfat tamponu]		99	1	20110K	zon yok	zon yok	
3.1	Tablo 3.1	pH 6 [100 mM fosfat tamponu]		99 h	11	20110K	zon yok	zon yok	
3.2	Tablo 3.2	pH 5 [100 mM fosfat tamponu]		99 h	11	20110K	zon yok	zon yok	
3.3	Tablo 3.3	pH 4 [100 mM asetat tamponu]		99 h	11	20110K	zon yok	zon yok	
4.1	Tablo 4.1	pH 6 [100 mM fosfat tamponu]	EDTA	99	18	200-5mm 100-8mm	150-1mm 150-0.5mm	150-2mm	
4.2	Tablo 4.2	pH 5 [100 mM fosfat tamponu]	EDTA	99	18	200-5mm 100-10mm	100-4mm 100-5mm	100-6mm	
4.3	Tablo 4.3	pH 4 [100 mM fosfat tamponu]	EDTA	99	18	200-5mm 100-10mm	100-4mm 100-5mm	100-6mm	
5.1	12.1	pH 6 [100 mM fosfat tamponu]	EDTA	99	19	200-5mm (72) 500-10mm (99)	100-4mm (72) 100-10mm (99)	100-6mm (72)	
5.2	12.1	pH 5 [100 mM fosfat tamponu]	EDTA	99	19	200-5mm (72) 500-10mm (99)	100-4mm (72) 100-5mm (99)	100-6mm (72)	
5.3	12.1	pH 4 [100 mM fosfat tamponu]	EDTA	99	19	200-5mm (72) 500-10mm (99)	100-4mm (72) 100-5mm (99)	100-6mm (72)	
5.4	12.1	pH 6 [100 mM asetat tamponu]	BSA	72 h	11	200-7mm (72) 500-6mm (72)	200-10mm (72) 500-12mm (72)	200-10mm (72)	
5.5	12.1	pH 5 [100 mM asetat tamponu]	BSA	99	11	500-5mm (72) 500-4mm (99)	500-10mm (72) 500-12mm (99)	500-14mm (72)	
5.6	12.1	pH 4 [100 mM asetat tamponu]	BSA	99	11	500-5mm (72) 500-4mm (99)	500-10mm (72) 500-12mm (99)	500-14mm (72)	
6.1	12.1	pH 6 [100 mM fosfat tamponu]	EDTA	72 h	15	400-10mm (72) 100-10mm (99)	350-20mm (72) 100-10mm (99)	350-40mm (72)	
6.2	12.1	pH 5 [100 mM fosfat tamponu]	EDTA	99	15	400-10mm (72) 100-10mm (99)	350-4mm (72) 100-10mm (99)	350-14mm (72)	
6.3	12.1	pH 4 [100 mM fosfat tamponu]	EDTA	99	15	400-10mm (72) 100-10mm (99)	350-4mm (99) 100-10mm (99)	350-14mm (99)	
6.4	12.1	pH 6 [100 mM acetate pi tamponu]	EDTA	72 h	20	150-20mm (72) 500-4mm (99)	150-7mm (72) 500-4mm (99)	150-11mm (72)	
6.5	12.1	pH 5 [100 mM acetate pi tamponu]	EDTA	99	20	150-20mm (72) 500-4mm (99)	150-7mm (72) 500-4mm (99)	150-11mm (72)	

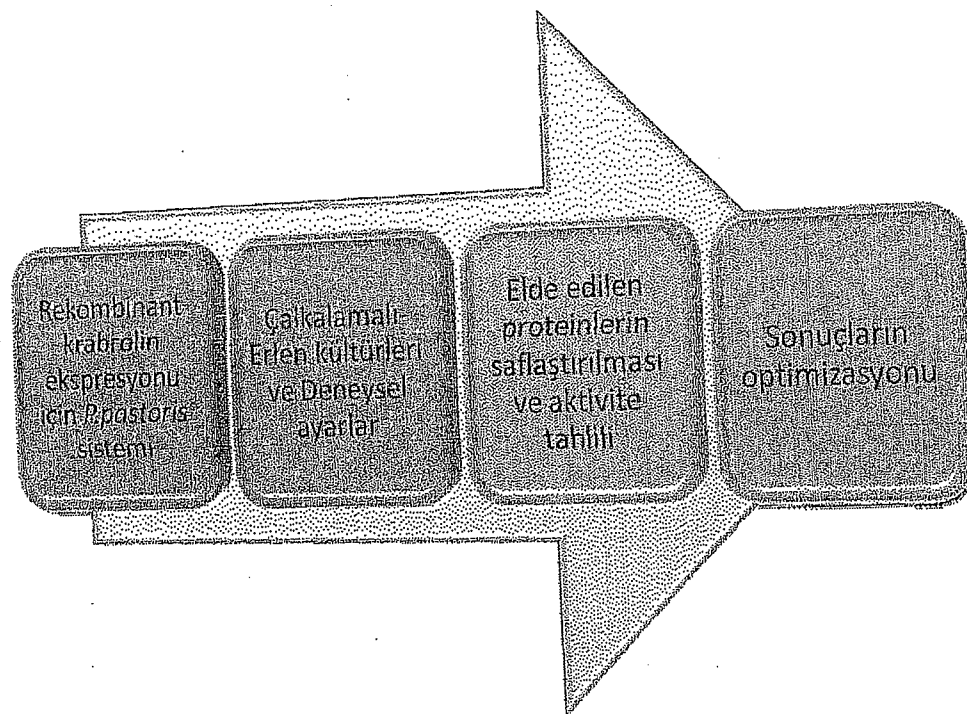
#### 4. TARTIŞMA VE SONUÇ

Sunulan bu çalışma çalkalamalı kültür sisteminde *P. pastoris* kullanarak rekombinant krabrolin ekspresyonunun optimizasyonunun araştırılması üzerindedir. Krabrolin, son yıllarda keşfedilen ve büyük bir tedavi potansiyeline sahip molekül gurubu olan AMP'lerin bir üyesidir. AMP'ler konukçu bağışıklık savunmasında önemli rol oynayan ve çoğu organizmanın savunma sisteminin bir parçasıdır. Geleneksel antibiyotiklere rağmen AMP'lere karşı direnç, birkaç mikroorganizma türünde bulunan doğal direnci saymazsa şimdije kadar gözlenmemiştir.

AMP'lerin kimyasal sentezi mümkünür bu yüzden geniş ölçekteki üretimler için faydasız ve nispeten pahalı olmaktadır. Bu nedenden ötürü ökaryotik sistemler, rekombinant AMP'lerin üretimi için uygun alternatif bir sistem olarak düşünülmektedir. Ökaryotik sistemler, AMP'lerin sitotoksik etkilerinden etkilenen ve post transkripsiyonel gerekleri yeterince karşılayamayan *E.coli* gibi bakteriyel sistemlere göre de çok avantajlıdır. Birçok uygulamada kullanılmış ve rekombinant protein üretiminin başarılı olduğu ökaryotik sistemlerden biri de *P. pastoris*'dir. Bu yüzden bu çalışmada, rekombinant krabrolin ekspresyonunun optimizasyonu için umut verici bir aday olan pPICZα-A krabrolin ekspresyon vektörü ile transforme edilmiş *P. pastoris* x-33 suyu kullanılmıştır.

İlaç gelişimi üzerine devam eden çalışmaların veya AMP'lerin hareket mekanizması yanında bu projede onların üretim süreçleri üzerine yoğunlaşmıştır.

Bunun için en uygun krabrolin ekspresyonu, yüksek oranda krabrolin miktarı ve aktivitesinin eldesi için uygun koşullar ve ilgili süreç parametreleri üzerinde araştırma yapmak için bir seri kontrol deneyleri tasarlanmıştır ve analiz edilmiştir. Sonuçlar bir üst üretim sistemleri için işe yarar olabilir.



**Şekil 4.1** *P. pastoris* (x-33)'de rekombinant krabrolin expresyonunun optimizasyonu için deneysel dizaynun şematik sunumu

Önceden tanımlanmış gibi her bir ekspresyon sistemi için ve yeni rekombinant proteinlerin fermantasyon ve ekspresyonu için süreç ile ilgili parametreler ve koşullar ayrı ayrı ayarlanmış ve araştırılmış olmalıdır. Krabrolinin ekspresyonu için parametreler önceki çalışmalar ve literatürden türetilmiş ve daha önceden sunulmuş işlemlerin (Şekil 1-22) optimize edilmesi ve geliştirilmesi için onların potansiyelleri deneysel çalışmalarla ortaya çıkarılmıştır. Optimizasyon için seçilen parametreler, sıcaklık, pH, havalandırma, erlen türü, metanol miktarı ve zamanı, farklı deney zamanı (72 ve 99 saat gibi) ve ayrıca EDTA, BSA gibi kültür için katkı maddeleridir.

Medya türü, sıcaklık, kültür hacmi, *P. pastoris* suusu ve deneysel süreç tüm deneyler boyunca baştan sona kadar değişmeden kullanılmıştır. Bunun yanında pH, havalandırma, metanol miktarı ve zamanı, medya katkısı ve toplama zamanı gibi parametreler, *P. pastoris*'in miktarını ve büyümeye hızının ve krabrolin aktivite ve miktarının artırılması için, bu parametrelerin potansiyelleri değerlendirilmiş ve bazı değişimlerle deneyin gidişatı kontrol edilmeye çalışılmıştır. Deneyler süresince elde edilen krabrolin aktivitelerinden farz edilebilir ki fonksiyonel protein ekspresyonu artırılmıştır.

1.Deney belirli parametreler yer değiştirildiği zaman oluşacak etkinin araştırılması ve değerlendirilmesinde temel koşullar için bir dayanak noktası olması, ve optimum deneysel koşulların araştırılması için bir başlangıç noktası olarak tasarlanmıştır ve iş görmüştür. Bu etkiler, *P. pastoris*'in kültür davranışının değerlendirilmesi ve krabrolin aktivite miktarı ile tanımlanmıştır. 1. Deney'deki temel koşullarda *P. pastoris* yoğunluğu normal fakat krabrolin aktivitesi deney 5 ve 6'ya nispeten düşük çıkmıştır. Bu sonuçlar rekombinant krabrolin aktivitesini artırmak için bir potansiyel olarak düşünülmüştür. Bunun yanında takip eden deneylerde krabrolin aktivitesi elde edilen proteinlerin içindeki krabrolin miktarı için bir referans noktası olabilir.

İkinci deney serisi daha önceden bahsedildiği gibi ilkin pH'nın değiştirilmesi ile bu deneydeki tüm kültürlerde çok düşük hücre yoğunluğu ve krabrolin aktivitesinin olmayı ile özetlenmiştir. Daha sonradan bu durumun kullanılan yüksek konsantrasyondaki (1M) tampondan dolayı medyada yüksek oranda tuzluluğa neden olduğu bunun da büyümeyi inhibe ettiği düşünülmüştür. Bu varsayımda elde edilen ve tuz benzeri kristallerin olduğu protein tozunun, diğer deney 1'de elde edilen toza göre farklı olan görünüşünden kaynaklanmaktadır. pH'nın dengede tutulması bu sonuçlarla direkt ilişkili olmamıştır. Diğer çalışmalarındaki protein ekspresyonu üzerindeki pozitif etkilerinden dolayı bir optimizasyon parametresi olarak korunmuştur.

Deney serisi 2'den sonuç alınamaması ve bu durumun kullanılan yüksek konsantrasyondaki tampona bağlanması dolayısıyla bu durumu teyit etmek için 3.

deney dizayn edilmiş ve bu deneyde bu sefer 100 mM'lik fosfat ve asetat tamponları pH 4, 5 ve 6'yi elde etmek için kullanılmıştır. Daha önce düzenli olarak kullanılan erlen türünde değiştirilerek kenarlarında tümsek bulunan erlen türleri kullanılmaya başlanarak havalandırmanın arttırılması da amaçlanmıştır. Krabrolin aktivitesi için alınan bu kararlara rağmen deney 1'de elde edilen temel seviyedeki aktivite bile elde edilemezken hücre yoğunlığında ufak bir artış gözlemlenmiştir. Bununla beraber bu durum için bir açıklama bulunamamıştır ve tüm bu deneylerde krabrolin aktivitesini etkileyebilecek proteazlar gibi başka faktörlerin aktiviteyi etkiliyor olabileceği düşünülmektedir.

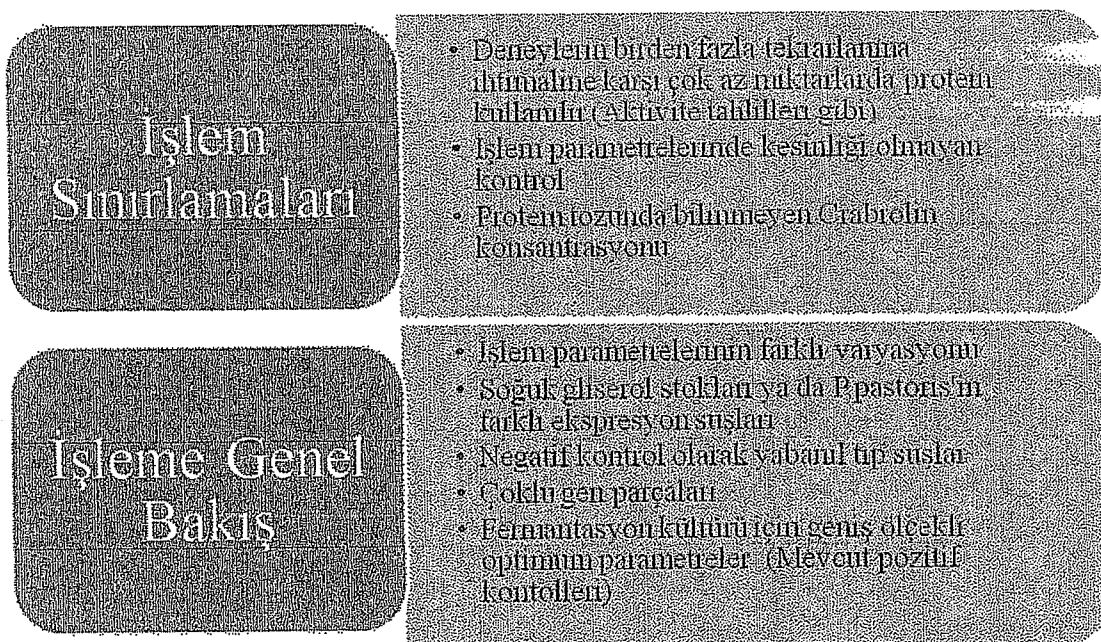
Proteaz aktivitesini kontrol etmek için kültüre deney 4'ten itibaren 10 mM EDTA, deney 5'ten itibaren de %1 BSA kullanılmaya başlanmıştır. Proteazların inhibisyonunun krabrolinin kararlılığını artıracığı düşünülmüştür. Tüm deneyler boyunca kullanılan parametreler hücre büyümesi üzerinde hiç kayda değer bir etki yapmamış fakat deney 4 ve 5'de krabrolin aktivitesini büyük oranda artırdığı bulunmuştur. 10 mM EDTA ile yapılan deneyler ayrıca kullanılmayan deneylere göre hücre yoğunluğu açısından daha yüksekti. Krabrolin aktivitesi üzerindeki etki görünmüştür ve deney 4'de elde edilen inhibisyon zonları tüm deneylerle karşılaştırılmıştır.

Deney 4'deki krabrolin aktivitesinin pozitif sonuçlardan dolayı deney 5'te de uzatılmış, yeni bir değişiklik bu deney için denenerek metanol induksiyon zamanları homojonize edilmiştir. Bu uygulamanın krabrolin aktivitesi ve hücre yoğunluğu üzerine güçlü bir etkisi bulunmuştur. EDTA ve BSA'nın etkisini karşılaştırmak için 3 erlen EDTA için 2 erlen BSA için kültüre alınmıştır. BSA ile yapılan kültürlerde krabrolin aktivitesi biraz daha düşük çıkmıştır.

Deney 6 serisinde deney 5'deki sonuçların devamında teyit için parametrelerde değişiklik yapılmamış fakat gaz değişimini artıracığı düşüncesi ile alüminyum folyo kullanılmıştır. Bu kullanım hücre yoğunluğu üzerinde güçlü bir etki oluşturmuştur. Bununla beraber şimdiye kadar kültürlerden alınan aktiviteler içinde pH 4 ve 5 için bu deneyde yüksek pH 6 için en yüksek değere ulaşılmıştır. pH'nın bu varyasyonları göstermektedir ki pH'nın tek başına krabrolin aktivitesi

üzerinde görülen önemli bir etkisi bulunmamaktadır. Fakat EDTA'nın kullanımı ile proteazların inhibisyonu (farz edilmekte) [103] ile beraber aktivitenin etkisini artırmaktadır. Aşağıdaki şekilde daha sonradan yapılabilecek optimizasyon çalışmaları verilmeye çalışılmıştır.

Bununla beraber unutulmamalıdır ki bir kültür sisteminden elde edilen sonuçlar, optimizasyon koşulları bir üst seviyedeki kültür sistemleri için kullanımı



Şekil 4.2 Sürecin kısıtlamaları ve dizayn ile bağlantılı perspektifler ile genel laboratuvar prosedürleri

mümkin olmamakda, yeniden optimizasyonunun yapılması gerekmektedir. Bu çalışmada amaçlanan sadece geniş çaplı kültür çalışmalarında kullanabilecek parametrelerin tespiti ve etkileri üzerinden ufak bir bilgi sahibi olmak ve incelenen krabrolin proteininin mevcut potansiyelini, biraz olsun göz önüne serебilmektir.

## 5. KAYNAKLAR

- [1] Lohner, K., "Development of Novel Antimicrobial Agents: Emerging Strategies", *Horizon Scientific Press*: (2001).
- [2] Blondelle, S.E. ve Lohner, K., "Combinatorial Libraries: A Tool to Design Antimicrobial and Antifungal Peptide Analogues Having Lytic Specificities for Structure-Activity Relationship Studies", *Peptide Science*, 55(1): 74-87 (2000).
- [3] Breithaupt, H., "The New Antibiotics", *Nat Biotech*, 17(12): 1165-1169 (1999).
- [4] Orsolya, T., "Antimicrobial Peptides: New Candidates in the Fight against Bacterial Infections", *Peptide Science*, 80(6): 717-735 (2005).
- [5] Gudmundsson, G.H. ve Agerberth, B., Neutrophil antibacterial peptides, multifunctional effector molecules in the mammalian immune system. *Journal of Immunological Methods*, 232: 45-54 (1999)
- [6] Hancock, R.E.W., "Cationic Peptides: Effectors in Innate Immunity and Novel Antimicrobials", *The Lancet Infectious Diseases*, 1(3): 156-164 (2001).

- [7] Peschel, A. ve Sahl, H.-G., "The Co-Evolution of Host Cationic Antimicrobial Peptides and Microbial Resistance", *Nat Rev Micro*, 4(7): 529-536 (2006).
- [8] Shai, Y., "Mechanism of the Binding, Insertion and Destabilization of Phospholipid Bilayer Membranes by Alfa-Helical Antimicrobial and Cell Non-Selective Membrane-Lytic Peptides.", *(BBA) - Biomembranes*, 1462: 55-70 (1999).
- [9] Dathe, M.a.T.W., "Structural Features of Helical Antimicrobial Peptides: Their Potential to Modulate Activity on Model Membranes and Biological Cells.", *Biochimica Et Biophysica Acta-Biomembranes*, 1462(1-2): 71-87 (1999).
- [10] Shai, Y., "Mode of Action of Membrane Active Antimicrobial Peptides", *Biopolymers*, 66(4): 236-248 (2002).
- [11] Gregg, J.M., "Recombinant Protein Expression in Pichia Pastoris", *Molecular Biotechnology*, 16: 23-40 (2000).
- [12] Wilcox, S., "The New Antimicrobials:Cationic Peptides", *Bio Teach J*, 2: (2004).
- [13] Sarmaşık, A., "Antimicrobial Peptides: A Potential Therapeutic Alternative for the Treatment of Fish Diseases", *Turk J Biol.*, 26(4): 201-207 (2002).
- [14] Izadpanah, A. and Gallo, R.L., "Antimicrobial Peptides", *Journal of the American Academy of Dermatology*, 52(3): 381-390 (2005).
- [15] Miyakawa, Y., Ratnakar, P., Rao, A.G., Costello, M.L., Mathieu-Costello, O., Lehrer, R.I. ve Catanzaro, A., "In Vitro Activity of the Antimicrobial

- Peptides Human and Rabbit Defensins and Porcine Leukocyte Protegrin against Mycobacterium Tuberculosis", *Infect. Immun.*, 64(3): 926-932 (1996).
- [16] Wilcox, S., "Cationic Peptides: A New Hope", *The Science Creative Quarterly*.: (2004).
- [17] Zasloff, M., "Antimicrobial Peptides of Multicellular Organisms", *Nature*, 415(6870): 389-395 (2002).
- [18] Hancock, R.E.W. ve Sahl, H.-G., "Antimicrobial and Host-Defense Peptides as New Anti-Infective Therapeutic Strategies", *Nat Biotech*, 24(12): 1551-1557 (2006).
- [19] Aboudy, Y., Mendelson, E., Shalit, I., Bessalle, R., and Fridkin, M "Activity of Two Synthetic Amphiphilic Peptides and Magainin-2 against Herpes Simplex Virus Types 1 and 2", *International Journal of Peptide and Protein Research*, 43(6): 573-582 (1994).
- [20] Vanesa, C.A.M. ve Viviana, C., "Antiviral Activity of Antimicrobial Cationic Peptides against Junin Virus and Herpes Simplex Virus", *International journal of antimicrobial agents*, 23(4): 382-389 (2004).
- [21] Wachinger, M., Kleinschmidt, A., Winder, D., von Pechmann, N., Ludvigsen, A., Neumann, M., Holle, R., Salmons, B., Erfle, V., ve Brack-Werner, R., "Antimicrobial Peptides Melittin and Cecropin Inhibit Replication of Human Immunodeficiency Virus 1 by Suppressing Viral Gene Expression", *J Gen Virol*, 79(4): 731-740 (1998).
- [22] Yasin, B., Pang, M., Turner, J. S., Cho, Y., Dinh, N-N., Waring, A. J., Lehrer, R. I., ve Wagar, E. A. "Evaluation of the Inactivation of Infectious Herpes Simplex Virus by Host-Defense Peptides ", *European Journal of Clinical Microbiology & Infectious Diseases*, 19: 187-194 (2000).

- [23] Cole, A.M., Hong, T., Bao, L.M., Nguyen, T., Zhao, C., Bristol, G., Zack, J.A., Waring, A.J., Yang, O.O., ve Lehrer, R.I., "Retrocyclin: A Primate Peptide That Protects Cells from Infection by T- and M-Tropic Strains of Hiv-1", *Proceedings of the National Academy of Sciences of the United States of America*, 99(4): 1813-1818 (2002).
- [24] Yasin, B., Wang, W., Pang, M., Cheshenko, N., Hong, T., Waring, A.J., Herold, B.C., Wagar, E.A., ve Lehrer, R.I., "{Theta} Defensins Protect Cells from Infection by Herpes Simplex Virus by Inhibiting Viral Adhesion and Entry", *J. Virol.*, 78(10): 5147-5156 (2004).
- [25] Bastian, A., ve H. Schafer, "Human Alpha-Defensin 1 (Hnp-1) Inhibits Adenoviral Infection in Vitro", *Regul. Pept.*, 101: 157-161 (2001).
- [26] Daher, K.A., Selsted, M.E., ve Lehrer, R.I., "Direct Inactivation of Viruses by Human Granulocyte Defensins", *J. Virol.*, 60(3): 1068-1074 (1986).
- [27] Gropp, R., Frye, M., Wagner, T.O.F., ve Bargoni, J., "Epithelial Defensins Impair Adenoviral Infection: Implication for Adenovirus-Mediated Gene Therapy", *Human Gene Therapy*, 10(6): 957-964 (1999).
- [28] Nakashima H., Y.N., Masuda M., Fujii N., "Defensins Inhibit Hiv Replication in Vitro", *AIDS*, 7: 1128-1128 (1993).
- [29] Sinha, S., Cheshenko, N., Lehrer, R.I., ve Herold, B.C., "Np-1, a Rabbit {Alpha}-Defensin, Prevents the Entry and Intercellular Spread of Herpes Simplex Virus Type 2", *Antimicrob. Agents Chemother.*, 47(2): 494-500 (2003).
- [30] Belaid A., A.M., Khelifa R., Trabelsi A., Jemmali M., Hani K., "In Vitro Antiviral Activity of Dermaseptins against Herpes Simplex Virus Type 1", *Journal of medical virology*, 66: 229-234 (2002).

- [31] Clarisse Lorina, H.S., Afifa Belaidc, Amira Zairic, Françoise Baleuxd, Hakim Hocinib, Laurent Bélecb, Khaled Hanic ve Frédéric Tangy, "The Antimicrobial Peptide Dermaseptin S4 Inhibits Hiv-1 Infectivity in Vitro.", *Virology*, 334(2): 264-275 (2005).
- [32] Murakami, a.S.I., "Inhibitory Effect of Tachyplesin I on the Proliferation of Human Immunodeficiency Virus in Vitro.", *Chemotherapy (Basel)*, 37: 206-211 (1991).
- [33] Murakami T, N.M., Tokunaga F, Miyata T, Iwanaga S., "Direct Virus Inactivation of Tachyplesin I and Its Isopeptides from Horseshoe Crab Hemocytes.", *chemotherapy*, 37(5): 327-334 (1991).
- [34] Steinstraesser, L., Tippler, B., Mertens, J., Lamme, E., Homann, H.-H., Lehnhardt, M., Wildner, O., Steinau, H.-U., ve Uberla, K., "Inhibition of Early Steps in the Lentiviral Replication Cycle by Cathelicidin Host Defense Peptides", *Retrovirology*, 2(1): 2 (2005).
- [35] Nakashima, H., Masuda, M., Murakami, T., Koyanagi, Y., Matsumoto, A., Fujii, N., ve Yamamoto, N., "Anti-Human Immunodeficiency Virus Activity of a Novel Synthetic Peptide, T22 ([Tyr-5,12, Lys-7]Polyphemusin II): A Possible Inhibitor of Virus-Cell Fusion", *Antimicrob. Agents Chemother.*, 36(6): 1249-1255 (1992).
- [36] Tamamura, H., A. Otaka, T. Murakami, T. Ishihara, T. Ibuka, M. Waki, A. and Matsumoto, N.Y., ve N. Fujii, "Interaction of an Anti-Hiv Peptide, T22, with Gp120 and Cd4.", *Biochem. Biophys.Res. Commun.*, 219(2): 555-559 (1996).
- [37] Andersen, J.H., H. Jenssen, ve T. J. Gutteberg, "Lactoferrin and Lactoferricin Inhibit Herpes Simplex 1 and 2 Infection and Exhibit Synergy When Combined with Acyclovir", *Antiviral Res.*, 58: 209-215 (2003).

- [38] Andersen, J.H., S. A. Osbakk, L. H. Vorland, T. Traavik, ve T.. J. Gutteberg, "Lactoferrin and Cyclic Lactoferricin Inhibit the Entry of Human Cytomegalovirus into Human Fibroblasts", *Antiviral Res.*, 51: 141-149 (2001).
- [39] Drobni, P., "Papillomavirus Binding and Entry. The Heparan Sulfate Receptor and Inhibition by Lactoferrin", Published PhD Thesis, Umea, Sweden. (2005).
- [40] Jenssen, H., J. H. Andersen, L. Uhlin-Hansen, T. J. Gutteberg, ve O. ve Rekdal, "Anti-Hsv Activity of Lactoferricin Analogues Is Only Partly Related to Their Affinity for Heparan Sulfate", *Antiviral Res.*, 61: (2004).
- [41] Krajewski, K., C. Marchand, Y. Q. Long, Y. Pommier, ve P. P. Roller, "Synthesis and Hiv-1 Integrase Inhibitory Activity of Dimeric and Tetrameric Analogs of Indolicidin", *Bioorg. Med. Chem. Lett.*, 14: 5595-5598 (2004).
- [42] Robinson, WE., McDougall, B., Tran, D., ve Selsted, ME. "Anti-Hiv-1 Activity of Indolicidin, an Antimicrobial Peptide from Neutrophils.", *J. Leukoc. Biol.*, 63: 94-100 (1998).
- [43] Lee, D.G., D. H. Kim, Y. Park, H. K. Kim, H. N. Kim, Y. K. Shin, C. H. ve Choi, a.K.S.H., "Fungicidal Effect of Antimicrobial Peptide, Pmap-23, Isolated from Porcine Myeloid against Candida Albicans. Biochem", *Biophys. Res. Commun.*, 282: 305-310 (2001).
- [44] Tytler, E.M., Anantharamaiah, G.M., Walker, D.E., Mishra, V.K., Palgunachari, M.N., ve Segrest, J.P., "Molecular Basis for Prokaryotic Specificity of Magainin-Induced Lysis", *Biochemistry*, 34(13): 4393-4401 (2002).

- [45] Zasloff, M., "Magainins, a Class of Antimicrobial Peptides from *Xenopus* Skin: Isolation, Characterization of Two Active Forms, and Partial Cdna Sequence of a Precursor", *Proceedings of the National Academy of Sciences of the United States of America*, 84(15): 5449-5453 (1987).
- [46] De Lucca, A.J., J. M. Bland, T. J. Jacks, C. Grimm, ve T. J. Walsh, "Fungicidal and Binding Properties of the Natural Peptides Cecropin B and Dermaseptin.", *Med. Mycol.*, 36: 291-298 (1998).
- [47] De Lucca, A.J. ve Walsh, T.J., "Antifungal Peptides: Novel Therapeutic Compounds against Emerging Pathogens", *Antimicrob. Agents Chemother.*, 43(1): 1-11 (1999).
- [48] Kyoungsoo Parka, D.O., Song Yub Shinb, Kyung-Soo Hahmc and Yangmee Kima, "Structural Studies of Porcine Myeloid Antibacterial Peptide Pmap-23 and Its Analogues in Dpc Micelles by Nmr Spectroscopy. Biochem.", *Biochem. Biophys. Res. Commun.*, 260(1): 204-212 (2002).
- [49] Rollins-Smith, L.A., Carey, C., Conlon, J.M., Reinert, L.K., Doersam, J.K., Bergman, T., Silberring, J., Lankinen, H., ve Wade, D., "Activities of Temporin Family Peptides against the Chytrid Fungus (*Batrachochytrium Dendrobatidis*) Associated with Global Amphibian Declines", *Antimicrob. Agents Chemother.*, 47(3): 1157-1160 (2003).
- [50] Lehrer, R.I., Szklarek, D., Ganz, T., ve Selsted, M.E., "Correlation of Binding of Rabbit Granulocyte Peptides to *Candida Albicans* with Candidacidal Activity", *Infect. Immun.*, 49(1): 207-211 (1985).
- [51] Patterson-Delafield, J., Martinez, R.J., ve Lehrer, R.I., "Microbicidal Cationic Proteins in Rabbit Alveolar Macrophages: A Potential Host Defense Mechanism", *Infect. Immun.*, 30(1): 180-192 (1980).

- [52] Ha, S.C., Min, K., Koo, J.C., Kim, Y., Yun, D.J., Cho, M.J., ve Kim, K.K., "Crystallization and Preliminary Crystallographic Studies of an Antimicrobial Protein from Pharbitis Nil", *Acta Crystallographica Section D*, 57(2): 263-265 (2001).
- [53] Koo, J.C., Lee, B., Young, M.E., Koo, S.C., Cooper, J.A., Baek, D., Lim, C.O., Lee, S.Y., Yun, D.-J., ve Cho, M.J., "Pn-Amp1, a Plant Defense Protein, Induces Actin Depolarization in Yeasts", *Plant Cell Physiol.*, 45(11): 1669-1680 (2004).
- [54] Helmerhorst, E.J., Breeuwer, P., van 't Hof, W., Walgreen-Weterings, E., Oomen, L.C.J.M., Veerman, E.C.I., Amerongen, A.V.N., ve Abbe, T., "The Cellular Target of Histatin 5 on Candida Albicans Is the Energized Mitochondrion", *J. Biol. Chem.*, 274(11): 7286-7291 (1999).
- [55] Kavanagh, K., ve S. Dowd., "Histatins: Antimicrobial Peptides with Therapeutic Potential", *J. Pharm. Pharmacol.*, 56: 285-289 (2004).
- [56] Kim, D.H., D. G. Lee, K. L. Kim, ve Y. Lee., "Internalization of Tenecin 3 by a Fungal Cellular Process Is Essential for Its Fungicidal Effect on Candida Albicans", *Eur. J. Biochem.*, 268: 4449-4458 (2001).
- [57] Young-Tae, L., Dae-Hee, K., Jeong-Yong, S., Jae Hoon, C., Bok Leul, L., Younghoon, L., ve Byóng-Seok, C., "Structural Characteristics of Tenecin 3, an Insect Antifungal Protein", *IUBMB Life*, 47(3): 369-376 (1999).
- [58] Lee, D.G., H. K. Kim, S. A. Kim, Y. Park, S. C. Park, S. H. Jang, ve K. S. and Hahn, "Fungicidal Effect of Indolicidin and Its Interaction with Phospholipid Membranes", *Biophys. Res. Commun.*, 305: 305-310 (2003).
- [59] Spitznagel, J.K., "Origins and Development of Peptide Antibiotic Research", 1-14 (1997).

- [60] Carpenter, P.L., "Early Development of Microbiology", *Microbiology*: 24-39 (1977).
- [61] Boman, H.G., "Antibacterial Peptides from Insects and Pigs", *Phylogenetic Perspectives in Immunity*: 3-17 (1994.).
- [62] Zeya, H.I. ve Spitznagel, J.K., "Cationic Protein-Bearing Granules of Polymorphonuclear Leukocytes: Separation from Enzyme-Rich Granules", *Science*, **163**(3871): 1069-1071 (1969).
- [63] Fernandez de Caleya R, G.-P.B., Garcia-Olmedo F, Carbonero P., "Susceptibility of Phytopathogenic Bacteria to Wheat Purothionins in Vitro", *Microbiol*, **23**: 998-1000 (1972).
- [64] Weiss, J., Elsbach, P., Olsson, I., ve Odeberg, H., "Purification and Characterization of a Potent Bactericidal and Membrane Active Protein from the Granules of Human Polymorphonuclear Leukocytes", *J. Biol. Chem.*, **253**(8): 2664-2672 (1978).
- [65] Steiner, H., Hultmark, D., Engström, Å., Bennich, H., Boman, H.G., "Sequence and Specificity of Two Antibacterial Proteins Involved in Insect Immunity", *Nature*, **292**: 246-248 (1981).
- [66] Boman, H.G., "Gene-Encoded Peptide Antibiotics and the Concept of Innate Immunity: An Update Review", *Scand J Immunol*, **48**: 15-25 (1998)...
- [67] Boman, H.G., "Peptide Antibiotics and Their Role in Innate Immunity", *Annual Review of Immunology*, **13**(1): 61-92 (1995).
- [68] Hultmark, D., Engström, A., Andersson, K., Steiner, H., Bennich, H., and Boman, H. G "Insect Immunity: Attacins, a Family of Antibacterial Proteins from *Hyalophora Cecropia*", *EMBO J*, **2**(4): 571-576 (1983).

- [69] Matsuzaki, K., "Why and How Are Peptide±Lipid Interactions Utilized for Self-Defense? Magainins and Tachyplesins as Archetypes", *Biochim. Biophys. Acta*, 1462: 1-10 (1999).
- [70] Yeaman, M., "Mechanisms of Antimicrobial Peptide Action ve Resistance.", *Pharmacological Reviews*, 55(1): 27-55 (2003).
- [71] <Http://Cmdr.Ubc.Ca/Bobh/Uptake.Html>. 2009.
- [72] Brogden, K.A., "Antimicrobial Peptides: Pore Formers or Metabolic Inhibitors in Bacteria?", *Nat Rev Micro*, 3(3): 238-250 (2005).
- [73] Powers, J.P.S.a., Hancock, R. E.W., "The Relationship between Peptide Structure and Antibacterial Activity", *Peptides*, 24(11): 1681-1691 (2003).
- [74] Ziv Oren, Y.S., "Mode of Action of Linear Amphipathic Alpha-Helical Antimicrobial Peptides", *Biopolymers*, 47(6): 451-463 (1998).
- [75] Shai, Y., Oren Z., "From“Carpet”Mechanismto De-Novo Designed Diastereometric Cell-Selective Antimicrobial Peptides", *Peptides*, 22(10): 1629-41 (2001).
- [76] Yeaman, M.R. ve Yount, N.Y., "Mechanisms of Antimicrobial Peptide Action and Resistance", *Pharmacol Rev*, 55(1): 27-55 (2003).
- [77] Hancock, R.E.W. ve Scott, M.G., "The Role of Antimicrobial Peptides in Animal Defenses", *Proceedings of the National Academy of Sciences of the United States of America*, 97(16): 8856-8861 (2000).
- [78] Gordon,J.Y., Romanowski E.G., McDermott A.M., "A Review of Antimicrobial Peptides and Their Therapeutic Potential as Anti-Infective Drugs", *Current Eye Research*, 30(7): 505-515 (2005).

- [79] Hancock, R.E.W., "Cationic Peptides: A New Source of Antibiotics", *Tibtech.*, 16: 82-87 (1998).
- [80] Hancock, R.E.W., "Peptide Antibiotics", *Lancet*, 349: 418-422 (1997).
- [81] Hancock, R.E.W., "Therapeutic Potential of Cationic Peptides", *Expert Opin. Investig. Dis*, 7: 167-174 (1998).
- [82] Döşler, S Gerçeker,A.A., "GeleceğIn Antİlbİyotİklerİ: Antİmİkrobİk Etkİİİ KatyonİK Peptİtler", *ANKEM*, 20(1): 44-54 (2006).
- [83] Papo, N., Shahar, M., Eisenbach, L., ve Shai, Y., "A Novel Lytic Peptide Composed of Dl-Amino Acids Selectively Kills Cancer Cells in Culture and in Mice", *J. Biol. Chem.*, 278(23): 21018-21023 (2003).
- [84] Krishnakumari, V., "Antimicrobial and Hemolytic Activities of Crabrolin, a 13- Residue Peptide from the Venom of the European Hornet, Vespa Crabro, and Its Analogs", *Journal of Peptide Research*, 50(2): 88-93 (1997).
- [85] <http://www.eurospiders.com/> (2009).
- [86] Argiolas, A. ve Pisano, J.J., "Isolation and Characterization of Two New Peptides, Mastoparan C and Crabrolin, from the Venom of the European Hornet, Vespa Crabro", *J. Biol. Chem.*, 259(16): 10106-10111 (1984).
- [87] Geoff, P., Cereghino, L., Ilgenb, C., ve James M., "Production of Recombinant Proteins in Fermenter Cultures of the Yeast *Pichia Pastoris*", *Current Opinion in Biotechnology*, 13(4): 329-332 (2002).

- [88] Daly, R., and Hearn, M. T. W., "Expression of Heterologous Proteins in *Pichia Pastoris*: A Useful Experimental Tool in Protein Engineering and Production", *J. Mol. Recognit.*, **18**: 119-138 (2004).
- [89] Fischer, R., Drossard, J., Emans, N., Commandeur, U., ve Hellwig, S., "Towards Molecular Farming in the Future: *Pichia Pastoris*-Based Production of Single-Chain Antibody Fragments", **30** ( Pt 2): 117-120 (1999).
- [90] Egli, T., Dijken, J.P., Veenhuis, M., Harder, W., ve Fiechter, A., "Methanol Metabolism in Yeasts: Regulation of the Synthesis of Catabolic Enzymes", *Archives of Microbiology*, **124**(2): 115-121 (1980).
- [91] Gellissen, G., "Heterologous Protein Production in Methylotrophic Yeasts ", *Applied Microbiology and Biotechnology*, **54**: 741-750 (2000).
- [92] Cereghino ,J.L., J.M.C., "Heterologous Protein Expression in the Methylotrophic Yeast *Pichia Pastoris*", *ELSEVIER FEMS Microbiology Reviews*, **24**: 45-66 (2000).
- [93] Daly, R., Hancock, R.E.W., "Expression of Heterologous Proteins in *Pichia Pastoris*: A Useful Experimental Tool in Protein Engineering and Production", *Journal of Molecular Recognition*, **18**(2): 119-138 (2005).
- [94] Cregg, J.M., Madden, K.R., Barringer, K.J., Thill, G.P., ve Stillman, C.A., "Functional Characterization of the Two Alcohol Oxidase Genes from the Yeast *Pichia Pastoris*", *Mol. Cell. Biol.*, **9**(3): 1316-1323 (1989).
- [95] Cereghino, J.L., J.M.C., "Heterologous Protein Expression in the Methylotrophic Yeast *Pichia Pastoris*", *Fems Microbiology Reviews*, **24**: 45-66 (2000).
- [96] Gellissen, G., "New Yeast Expression Platforms Based on Methylotropic Hansenula

- Polymorpha and *Pichia Pastoris* and on Dimorphic *Arxula Adeninivorans* and *Yarrowia Lipolytica* - a Comparison", *FEMS Yeast Research*, 5: 1079-1096. (2005).
- [97] Burrowes, O.J., "Recombinant Expression of Pleurocidin Cdna Using the *Pichia pastoris* Expression System", *Journal of Biomedicine and Biotechnology*, 4: 374-384 (2005).
- [98] Invitrogen, "A Manual of Methods for Expression of Recombinant Proteins in *Pichia Pastoris*(Version M)", <http://www.invitrogen.com>.: (2009).
- [99] Sreekrishna, K., "Strategies for Optimal Synthesis and Secretion of Heterologous Proteins in the Methylotrophic Yeast *Pichia Pastoris*", *Gene*, 190(1): 52-62 (1997).
- [100] <Http://Www.Roche-Applied-Science.Com/Labfaqs/>. 2009, Roche. p. 1-372.
- [101] Inan, M., Chiruvolu, V., Eskridge, K.M., Vlasuk, G.P., Dickerson, K., Brown, S., and Meagher, M.M., "Optimization of Temperature-Glycerol-Ph Conditions for a Fed-Batch Fermentation Process for Recombinant Hookworm (*Ancylostoma Caninum*) Anticoagulant Peptide (Acap-5) Production by *Pichia Pastoris*", *Enzyme and Microbial Technology*, 24(7): 438-445 (1999).
- [102] McDaniel, L.E. and Bailey, E.G., "Effect of Shaking Speed and Type of Closure on Shake Flask Cultures", *Appl. Environ. Microbiol.*, 17(2): 286-290 (1969).
- [103] Sreekrishna, K., Brankamp, R.G., Kropp, K.E., Blankenship, D.T., Tsay, J.-T., Smith, P.L., Wierschke, J.D., Subramaniam, A., and Birkenberger, L.A.,

"Strategies for Optimal Synthesis and Secretion of Heterologous Proteins in  
the Methylotrophic Yeast Pichia Pastoris", *Gene*, 190(1): 55-62 (1997).